Ne 1759



Н.А. Белов А.А. Аксенов

Металловедение цветных металлов

Алюминиевые, магниевые и титановые сплавы

Лабораторный практикум

ФЕДЕРАЛЬНОЕ АГЕНТСТВО ПО ОБРАЗОВАНИЮ

Nº 1759

московский государственный институт стали и сплавов Технологический университет МИСьс

Кафедра метапловедения цветных метаплов

Н.А. Белов А.А. Аксенов

Металловедение цветных металлов

Алюминиевые, магниевые и титановь_{1е} сплавы

Лабораторный практикум

Допущено учебно-методическим объединением по образованию в области металлургии в качестве учебного пособия для студентов высших учебных заведений, обучающихся по специальности 150105 Металловедение и термическая обработка металлов

Рецензент д-р техн. наук, проф. В.И. Москвитин

Белов Н.А., Аксенов А.А.

Б43 Металловедение цветных металлов. Алюминиевые, магниевые и титановые сплавы: Лаб. практикум. – М.: МИСиС, 2005. – 149 с.

Практикум содержит описание четырех лабораторных работ для студентов специальностей 150105, 150102 и 150108 при изучении разделов «Алюминиевые сплавы», «Магниевые сплавы» и «Титановые сплавы» курсов «Технология конструкционных материалов», «Физическое металловедение» и спецкурса «Металловедение цветных металлов».

При проведении лабораторных работ студенты получают навыки металлографического анализа легких сплавов с использованием электронных атласов микроструктур и диаграмм состояния. В приложениях к практикуму указаны составы и марки промышленных литейных и деформируемых алюминиевых, магниевых и титановых сплавов по современным стандартам России и США.

© Московский государственный институт стали и сплавов (Технологический университет) (МИСиС), 2005

СОДЕРЖАНИЕ

Табораторная работа 1. Микроструктура литейных	
тноминиевых сплавов	4
Табораторная работа 2. Микроструктура	
сформируемых алюминиевых сплавов	27
Пабораторная работа 3. Микроструктура магниевых	
сплавов	46
Пабораторная работа 4. Микроструктура титановых	
силавов	69
Приложения	88

Лабораторная работа 1

МИКРОСТРУКТУРА ЛИТЕЙНЫХ АЛЮМИНИЕВЫХ СПЛАВОВ

(4 yaca)

1.1. Цель работы

Закрепление навыков металлографического анализа промышлен ных литейных алюминиевых сплавов с использованием диаграми состояния и знакомство со стандартами на их составы.

1.2. Теоретическое введение

Алюминий имеет гранецентрированную кубическую решетку (периодом a=0,40496 нм при $20\,^{\circ}\text{C}$), его температура плавления со ставляет $660,37\,^{\circ}\text{C}$, а плотность $-2,699\,\text{г/см}^3$ (при $20\,^{\circ}\text{C}$). Значени теплопроводности и электросопротивления составляют примерно 2/ от соответствующих значений для меди. Алюминий отличается вы сокой коррозионной стойкостью на воздухе и во многих средах. Побъему производства и потребления (> $20\,^{\circ}$ млн. т. в год) он являетс бесспорным лидером среди всех цветных металлов.

Алюминиевые сплавы, как правило, содержат в своем составе не сколько элементов и примесей, их влияние на различные параметри структуры отражено в табл. 1.1. По назначению промышленные сплави подразделяют на две группы: литейные и деформируемые, составы ко торых приведены Приложениях 1 и 2 соответственно. Сплавы перво группы предназначены для получения фасонных отливок, область и составов схематически показана на рис. 1.1,а. Они должны обладат хорошими литейными свойствами: высокой жидкотекучестью, мало склонностью к образованию рассеянных усадочных пустот и кристал лизационных трещин. Основными легирующими элементами в прс мышленных литейных алюминиевых сплавах являются: кремний, маг ний и медь, реже цинк и никель. Поскольку все они образуют с алюми нием диаграммы состояния эвтектического типа (см. рис. 1.1), промыш ленные сплавы (это относится также и к деформируемым) целесообрано классифицировать по структуре на 4 группы:

1) сплавы типа твердых растворов (подавляющее большинство де формируемых сплавов, а также литейные на базе систем Al-Cu и Al-Mg)

- 2) доэвтектические сплавы (большинство силуминов, например ша АК7 и АК8М3, а также некоторые деформируемые сплавы, в истности типа АК4-1);
 - 3) эвтектические сплавы (силумины типа АК12 и АК12М2);
 - 4) заэвтектические сплавы (заэвтектические силумины).

Это деление достаточно хорошо применимо к традиционным сплам, но при рассмотрении многочисленных экспериментальных, а также екоторых промышленных сплавов, к нему следует относиться остоожно. Например, при содержании примеси железа на верхнем пределе структуре некоторых сплавов первых трех групп могут присутствоать первичные кристаллы Fe-содержащих фаз, т.е. имеется основание гнести эти сплавы к четвертой группе. Характерные сплавы выделеных групп показаны на рис. 1.1,6, а их типичные микроструктуры в лиом состоянии схематически изображены на рис. 1.2.

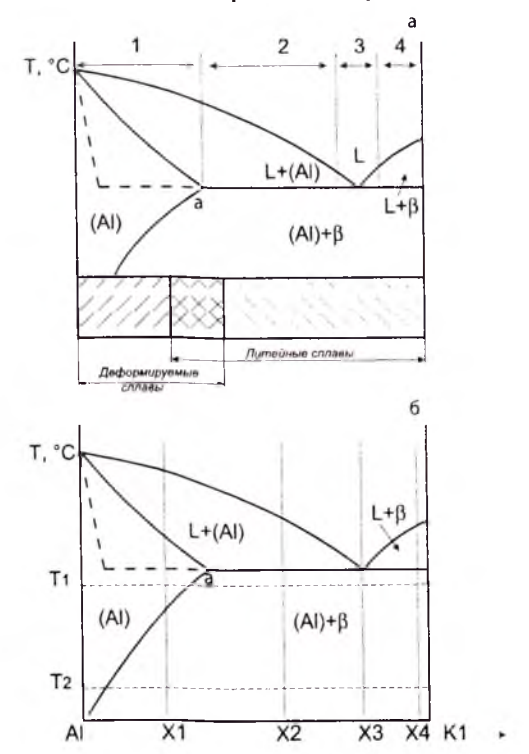


Рис. 1.1. Схема диаграммы состояния A1–K1: a – области составов промышленных алюминиевых сплавов и их классификация по четырем группам; δ – фигуративные прямые типичных сплавов и температуры их термообработки

Классификация легирующих элементов и примесей в промышленных алюминиевых сплавах по их влиянию на различные элементы структуры

Легирующие элементы и примеси*		
Cu, Mg, Si, Zn, Li, Mn		
Fe, Ni, Mn, Mg, Si, Cu, Be		
Fe, Ni, Mn, Si, Zr, Cr, Ti		
Mn, Zr, Cr, Ti, Sc, (Si, Cu)		
Be, Cd, Sr, Na, Ti, B		

Один и тот же элемент может быть классифицирован по-разному в зависимости от его количества и состава сплава.

Наиболее традиционным способом выявления микроструктуры алюминиевых сплавов в световом микроскопе (СМ) является травление механически полированных шлифов в 1 %-ном растворе плавиковой кислоты в воде. Чтобы избежать артефактов (в частности, связанных с грязью и царапинами, а также оксидными пленами) необходимо получать качественные шлифы, например, используя алмазную пасту разной зернистости. Наилучшее качество шлифов достигается после электролитической полировки, которую рекомендуется проводить в электролите следующего состава: 6 частей спирта C₂H₅OH, 1 часть хлорной кислоты HClO₄, 1 часть глицерина, при напряжении 10...12 В и температуре ≤ 15 °C. На электрополированных шлифах большинство фаз выявляется без травления. Следует иметь в виду, что ограниченная разрешающая способность светового микроскопе не позволяет выявлять элементы структуры размером менее ≈ 0,5 мкм. В этом случае целесообразно проводить анализ шлифов в сканирующем электронном микроскопа (СЭМ). Это дает возможность не только наблюдать мелкие детали (как минимум до 50 нм), но и проводить идентификацию фаз по контрасту (чем больше тяжелых элементов в фазе, тем она светлее). Что касается субструктуры (вторичные выделения, дефекты кристаллического строения), то здесь объектом исследования являются тонкие фольги, которые смотрят в просвечивающем электронном микроскопе (ПЭМ). Это весьма трудоемкая и дорогостоящая процедура, поэтому на практике объем исследований методами ПЭМ намного уступает первым двум (СМ и СЭМ).

Чтобы облегчить металлографический анализ реальных шлифов основные элементы структуры литейных алюминиевых сплавов всех четырех групп рассматриваются на схемах, показанных на рис. 1.2-1.5.

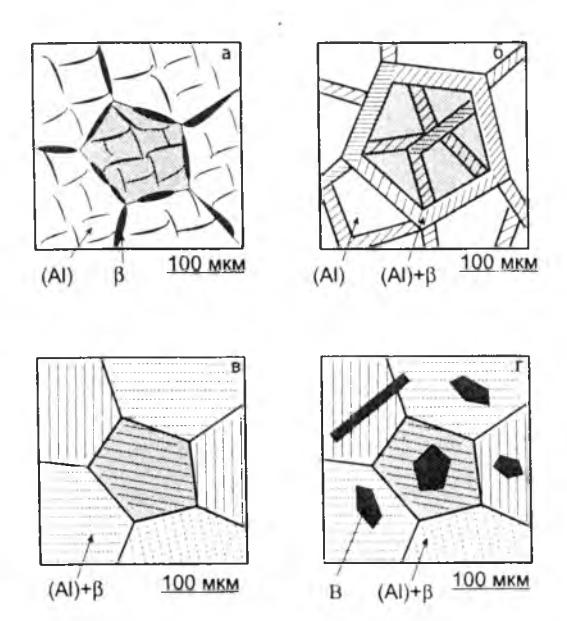


Рис. 1.2. Схемы типичных микроструктур алюминиевых сплавов с низкой (< 0,05 %) концентрацией железа в литом состоянии: a-X1; b-X2; b-X3; c-X4; сплавы указаны на рис. 1.1,b-X20

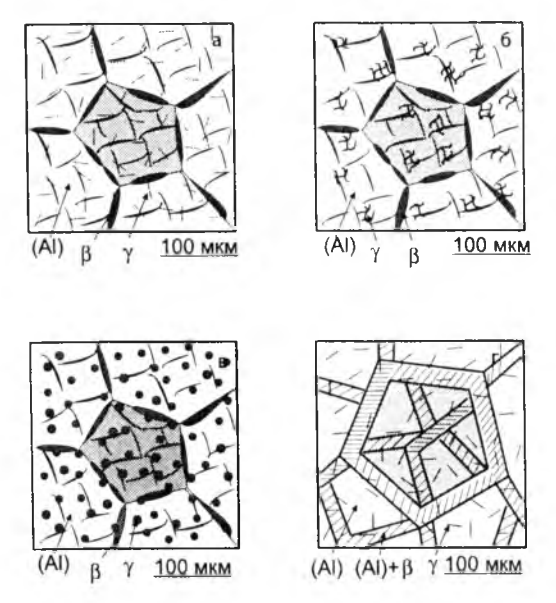


Рис. 1.3. Схемы типичных микроструктур алюминиевых сплавов с высокой (1...2%) концентрацией железа в литом состоянии: a -g - X1; z - X2; сплавы указаны на рис. 1.1, δ , γ -железистые фазы

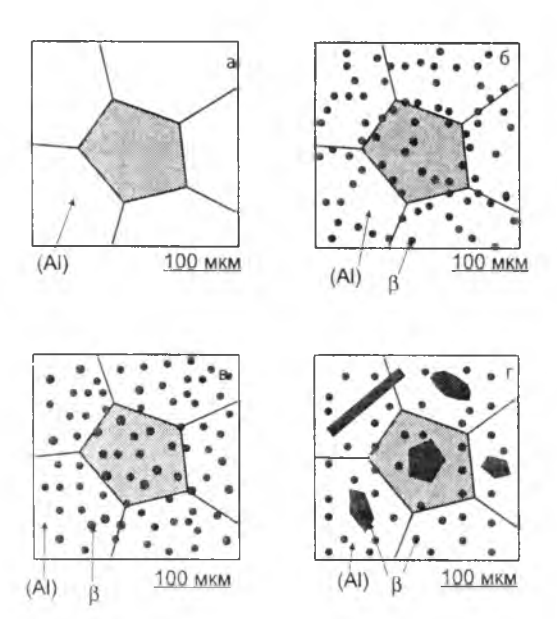


Рис. 1.4. Схемы типичных микроструктур литейных алюминиевых сплавов с низкой (< 0,05 %) концентрацией железа в закаленном состоянии (Т4): a - X1; $\delta - X2$; s - X3; z - X4; сплавы указаны на рис. 1.1, δ

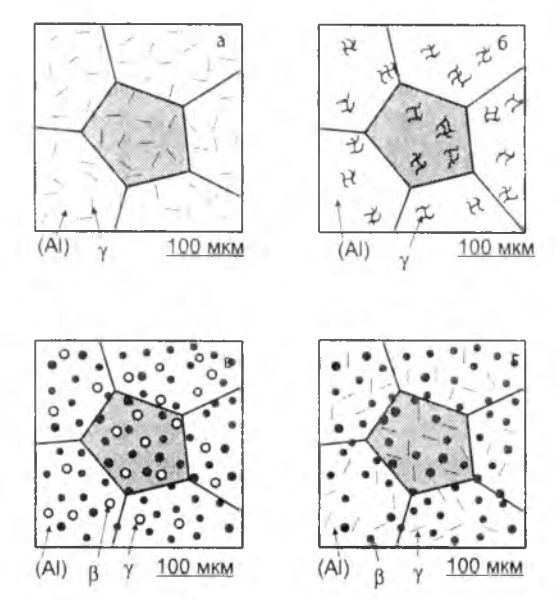


Рис. 1.5. Схемы типичных микроструктур литейных алюминиевых сплавов с высокой (1...2 %) концентрацией железа в закаленном состоянии (Т4): $a, \delta - X1; s, \epsilon - X3;$ сплавы указаны на рис. 1.1, δ , γ -железистые фазы

В литом состоянии основной структурной составляющей в сплапах 1-й группы с низкой концентрацией примесей, в частности желеы является первично кристаллизующийся из жидкости твердый раствор на основе алюминия - (Al). Его объемная доля в структуре орычно больше 90 %. Выявления зерен (А1) в световом микроскопе гребует, как правило, специальной технологии приготовления шлифов, включающей оксидирование, например, в 2...10 % -ном растворе борфтористоводородной кислоты в воде при напряжении № 30 В в течение ~ 2 мин. При просмотре таких шлифов в поляривованном свете можно добиться разной цветовой окраски зерен, по разному ориентированных по отношению к поверхности. На рис. 1.2,а центральное зерно выделено серым фоном. Внутри зерен (АІ) в световом микроскопе обычно хорошо видны дендритные ячейки, являющиеся сечениями отдельных ветвей дендритов, по размеру которых можно оценить скорость охлаждения отливки (или слитка ия деформируемых сплавов). В сплавах 1-й группы дендритные ччейки обычно окружены прожилками избыточных фаз – вырожденной эвтектики (см. рис. 1.2,а), которые образуются в результате неравновесной кристаллизации. К избыточным фазам, образованными основными легирующими элементами и наиболее часто встречающимися в структуре отливок, относятся: CuAl₂, Al₈Mg₅, (Si) и Mg₂Si, 113-за широкого интервала кристаллизации сплавы 1-й группы облаглот низкими литейными свойствами.

В сплавах 2-й группы значительную часть шлифа занимают колонии эвтектики (Al)+ β_1 , которые располагаются по границам дендритных ячеек (см. рис. 1.2, δ). Двухфазное строение эвтектики часто может выявляться только при достаточно большом увеличении (не менее ×500). Микроструктура такого типа характерна для большинства промышленных силуминов, поскольку она обеспечивает наилучшее сочетание различных свойств.

В сплавах 3-й группы основным элементом структуры являются втектические колонии (A1)+ β (см. рис. 1.2, β), которые в отличие от верен первичных кристаллов (AI) могут выявляться на электрополированных шлифах, без использования оксидирования и поляризованного света. Как известно, двойные эвтектические сплавы, имея нулевой интервал кристаллизации, обладают наилучшими литейными свойствами, однако для многокомпонентных алюминиевых сплавов к этому общему положению надо относиться осторожно, поскольку интервал кристаллизации в них (как полный, так и эффективный)

может быть достаточно широким. Эвтектические колонии, образовавшиеся в интервале температур, имеют более грубое строение по сравнению с теми, которые сформировались при постоянной температуре. В частности, алюминиево — кремниевая эвтектика в двойных силуминах дисперснее, чем в многокомпонентных.

Микроструктура сплавов 4-й группы отличается от предыдущих наличием первичных кристаллов избыточных фаз (см. рис. 1.2,2). Они, как правило, имеют граненую форму (для разных фаз имеются специфические особенности) и большие размеры, поэтому их легко идентифицировать уже при малых увеличениях.

Основная примесь практически во всех литейных алюминиевых сплавах – железо. Этот элемент образует фазы кристаллизационного происхождения различной морфологии: иглообразной (см. рис. $1.3,a, \varepsilon$), скелетной (см. рис. 1.3,6) и глобулярной (рис. 1.3,e). С точки зрения механических свойств наиболее вредными являются иглообразные частицы. В случае глобулярной формы частиц отрицательное влияние железа может быть минимизировано, однако это требует введения специальных добавок. Наиболее эффективной из них является бериллий, который входит в состав некоторых промышленных сплавов (АК8л, АК8М3ч). Однако из-за чрезвычайной токсичности соединений бериллия, такие сплавы имеют ограниченное применение. Схемы типичных микроструктур алюминиевых сплавов со значительной концентрацией примеси железа в литом состоянии, приведенные на рис. 1.3, соответствуют такому случаю. когда все железистые фазы кристаллизуются по эвтектическим реакциям, поэтому их длина не превышает размера дендритных ячеек. При большей концентрации этого элемента (т.е. заэвтектической), в структуре следует ожидать грубых первичных кристаллов, как это показано на рис. 1.2,г.

Для повышения пластичности литейные алюминиевые сплавы подвергают закалке, а для повышения прочности, кроме того, и старению. Эти состояния обозначают по ГОСТ 1583–93 как Т4 и Т6 (Т5, Т7) соответственно. В США (по спецификации Алюминиевой Ассоциации), используется похожая система обозначений, но с некоторыми отличиями (табл. 1.2). Термообработка литейных алюминиевых сплавов может приводить к существенным изменениям микроструктуры, что иллюстрируют схемы, показанные на рис. 1.4 – 1.5.

Вид термообработки	Обозначение в РФ (ГОСТ1583 93)	Обозначение в США	
Без термообработки		F	
Искусственное старение после литья	T1	T5	
Закалка (плюс естественное старение)	T4	T4	
акалка и неполное искусственное старение	T5	T6	
Закалка и старение на максимальную прочность	Т6	Т6	
Закалка и перестаривание	T7	Т7	

При нагреве под закалку происходит частичное или полное растворение неравновесной эвтектики, а при последующем ускоренпом охлаждении фиксируется пересыщенный твердый раствор летирующих элементов в алюминии, обозначаемый далее как (Al)s. Таким образом, сплавы 1-й группы с низкой концентрацией железа имеют в закаленном состоянии (на рис. 1.1.6 с T_1) однофазную структуру (см. рис. 1.4,а). При этом дендритные ячейки как наблюпаемый элемент микроструктуры исчезают. В сплавах 2-4-го типа растворение неравновесной части эвтектики в большинстве случаев не сильно сказывается на ее общем количестве. Больше сказывается на микроструктуре изменение морфологии оставшихся эвтектических частиц. Поскольку наилучшей для механических свойств является глобулярная морфология, надо стремится к максимальной сфероидизации всех частиц, как это показано на рис. 1.4.6-г. Очевилно, что для этого надо проводить нагрев под закалку при максимально допустимой температуре, т.е. вблизи равновесного солидуса. Однако при грубой исходной морфологии эвтектики трудно добиться заметной сфероидизации даже при длительной выдержке. Лля повышения дисперсности эвтектики можно применять слетующие способы: увеличение скорости охлаждения при затвердевании (использование при литье металлических форм вместо песчаных), введение модификатора эвтектики (микродобавки натрия и кремния в силуминах), оптимизация состава сплава (в частности, с нелью кристаллизации тройных эвтектик вместо двойных). Форма первичных кристаллов избыточных фаз практически не меняется нз-за их крупных размеров (см. рис. 1.4,2). В случае полной сфероидизации избыточных фаз наилучшая структура среди 2-4-х групп достигается у эвтектических сплавов, так как включения в них распределены наиболее равномерно (сравните рис. 1.4.в и 1.4,6). Такая структура (типичная для многих композиционных материалов) в большинстве случаев обеспечивает оптимальный комплекс различных свойств.

Железистые фазы (γ) из-за малой диффузии Fe в (AI) незначительно меняют свою морфологию в процессе нагрева под закалку что отражено на рис. 1.5. В сплавах 1-й группы именно железистые фазы в первую очередь выявляются при металлографическом анализе (см. рис. 1.5,a, δ). Вследствие этого их морфология становится особенно важной, в частности, негативное влияние иглообразных частиц в состоянии T6 проявляется сильнее по сравнению с литым. При глобулярной морфологии частиц γ вредное влияние железа существенно снижается, что особенно очевидно для сплавов 2–4-й групп, когда наличие железистых частиц практически не сказывается на общем характере микроструктуры (сравните рис. 1.4, θ и 1.5, θ).

При старении закаленного сплава происходит образование и: (AI)_S вторичных выделений, как правило, метастабильных фаз (В и в в нто и приводит к упрочнению. По составу метастабильные фазы мало отличаются от стабильных (В), но имеют отличную от них кристаллическую решетку. Как правило, сначала образуются зоны Гинье - Престона (GP), а затем фазы, когерентные алюми ниевой матрице (β''). Далее формируются полукогерентные (β') г некогерентные фазы. Стабильные фазы (в), как правило, некоге рентны. Наиболее общим случаем является следующая последова гельность стадий распада пересыщенного твердого раствора $(A1)_s \rightarrow (A1) + GP \rightarrow (A1) + \beta'' \rightarrow (A1) + \beta' \rightarrow (A1) + \beta$. При этом размерь частиц увеличиваются, а на границах зерен процессы протекаюбыстрее, что отражено на рис. 1.6,а-в. Вид кинетических кривых твердости и прочностных свойств зависит от температуры старе ния (рис. 1.7). При низких температурах (< 140 °C), при которы: обычно проводят неполное старение (Т5), наблюдается монотон ное упрочнение, при комнатной температуре (Т4) оно может идті годами. Наиболее часто используемый диапазон температуг (160...190 °C) позволяет за сравнительно небольшое врем: (5...10 ч) получить максимальное упрочнение (Тб). При более вы соких температурах происходит перестаривание, которое характе ризуется меньшим упрочнением, однако структура в таком со стоянии (Т7) наиболее стабильна при нагревах, что особенно важ но для жаропрочных сплавов.

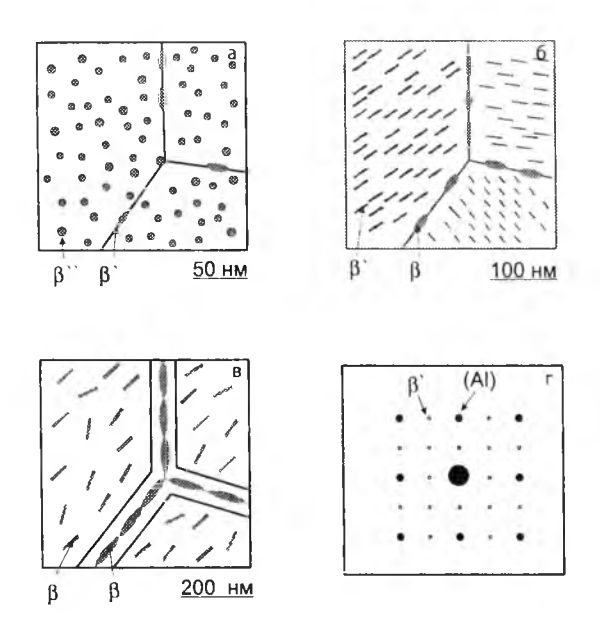


Рис. 1.6. Схемы типичных вторичных выделений в алюминиевых сплавах, образуемых при старении (ПЭМ): a - T4, T5; 6 - T6; e - T7; e - микродифракция, плоскость (100)

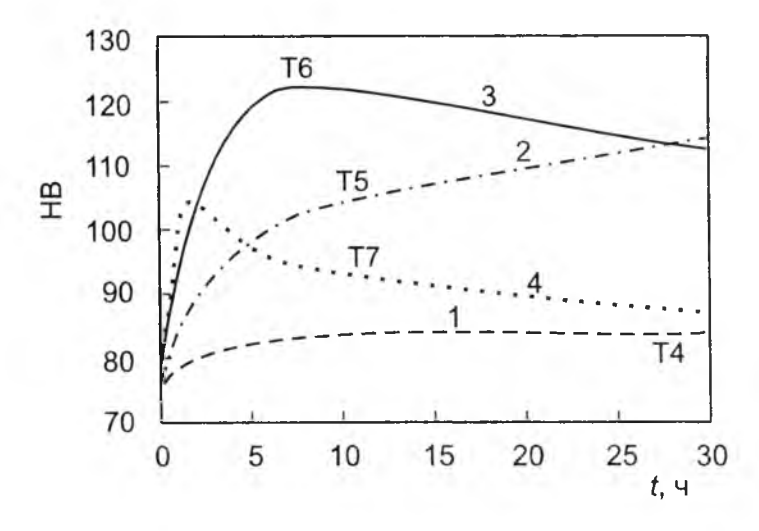


Рис. 1.7. Типичные кинетические кривые твердости для термически упрочняемых алюминиевых сплавов при разных температурах старения (1–4): $T_1 \le T_2 \le T_3 \le T_4$, 1—комнатная температура

Для выявления субструктуры необходимо использовать ПЭМ, причем для выявления зон GP разрешение микроскопа должно быть достаточно высоким, поскольку их размеры, как правило, составляют несколько нанометров. Зоны выявляются в первую очередь благодаря деформационному контрасту (возникновение полей упругих напряжение в матрице вокруг зон), а также абсорбционному контрасту (микроучастки разного состава обладают разной рассеивающей способностью). Когерентные выделения обнаруживаются в первую очередь благодаря деформационному контрасту, полукогерентные — абсорбционному. В том случае, когда имеется ориентационное соотношение между вторичными выделениями и алюминиевой матрицей идентификацию фаз проводят методом микродифракции. Для этого анализируют расположение рефлексов (матричных и от выделений), что иллюстрирует схема, показанная на рис. 1.6,2.

Следует отметить, что фазовый состав лишь наиболее простых промышленных сплавов можно анализировать по двойным диаграммам, в частности Al-Si, Al Cu и Al-Mg (рис. 1.8 – 1.10). В большинстве случаев необходимо использовать многокомпонентные диаграммы, как минимум тройные, поскольку многие легирующие элементы и примеси (табл. 1.3) могут входить в состав различных фаз в зависимости от состава сплава. На рис. 1.11 – 1.13. приведены тройные диаграммы состояния наиболее важных для литейных сплавов систем: Al-Si-Fe, Al-Si-Mg и Al-Si-Cu.

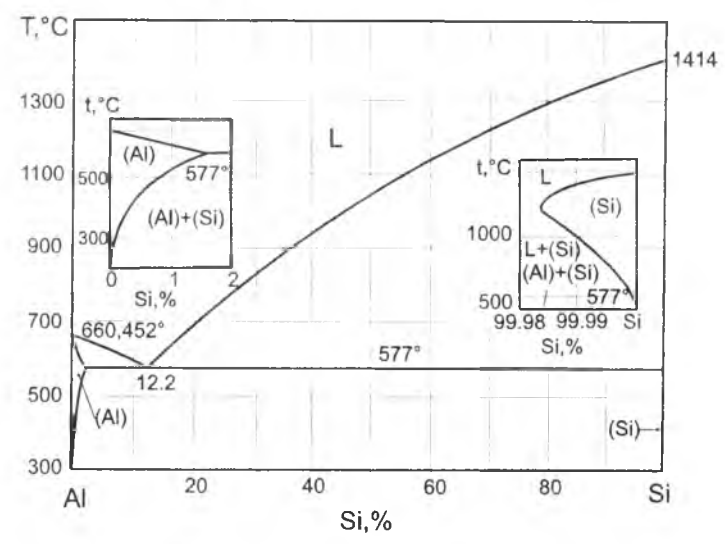


Рис. 1.8. Диаграмма состояния системы Al-Si

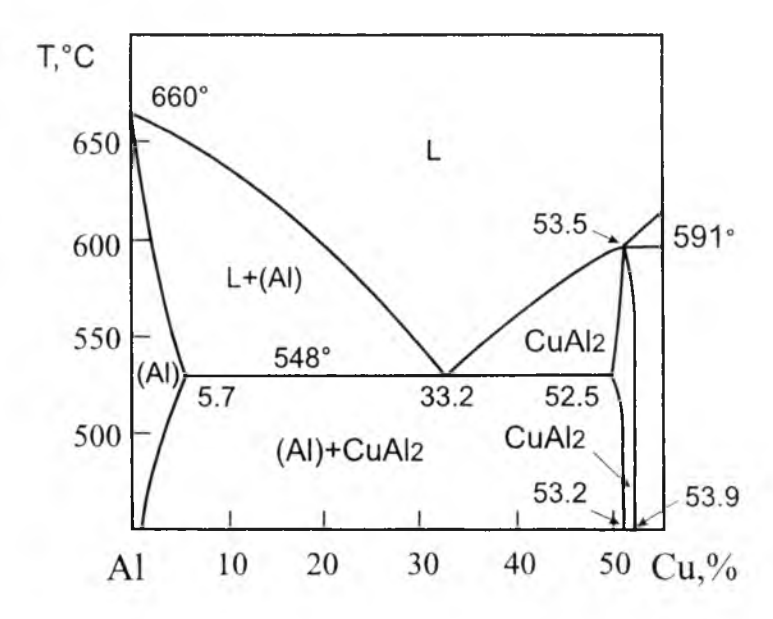


Рис. 1.9. Диаграмма состояния системы Al-Cu

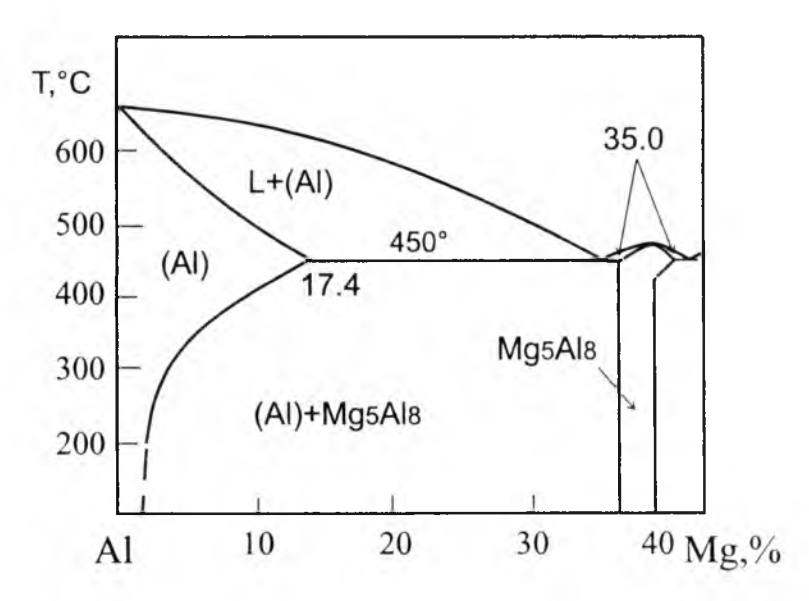
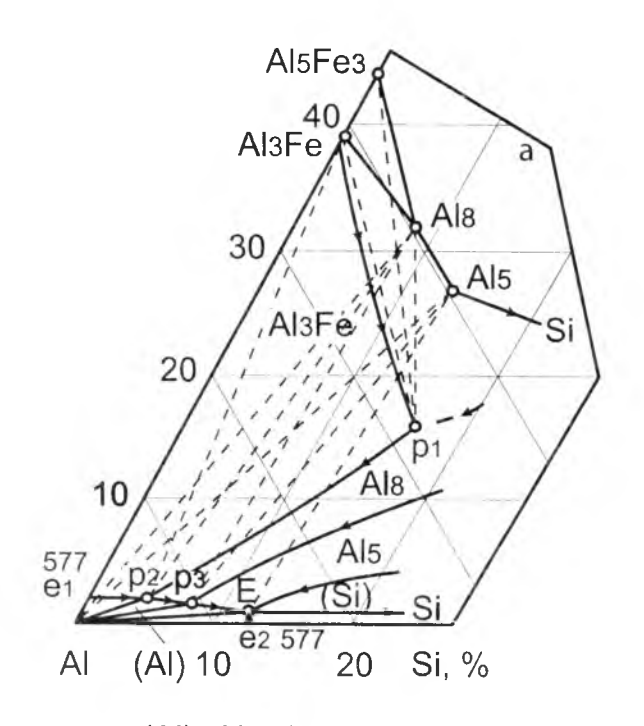


Рис. 1.10. Диаграмма состояния системы Al-Mg



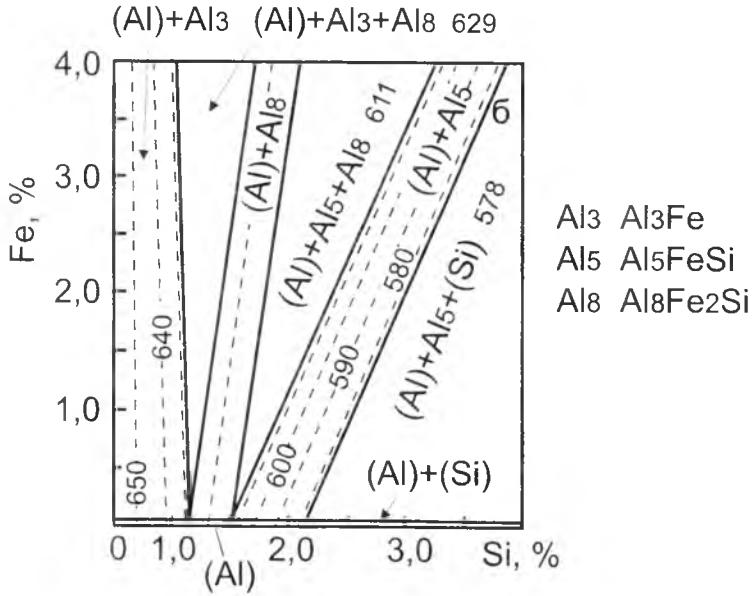


Рис. 1.11. Диаграмма состояния Al-Fe-Si: a ликвидус; δ - солидус

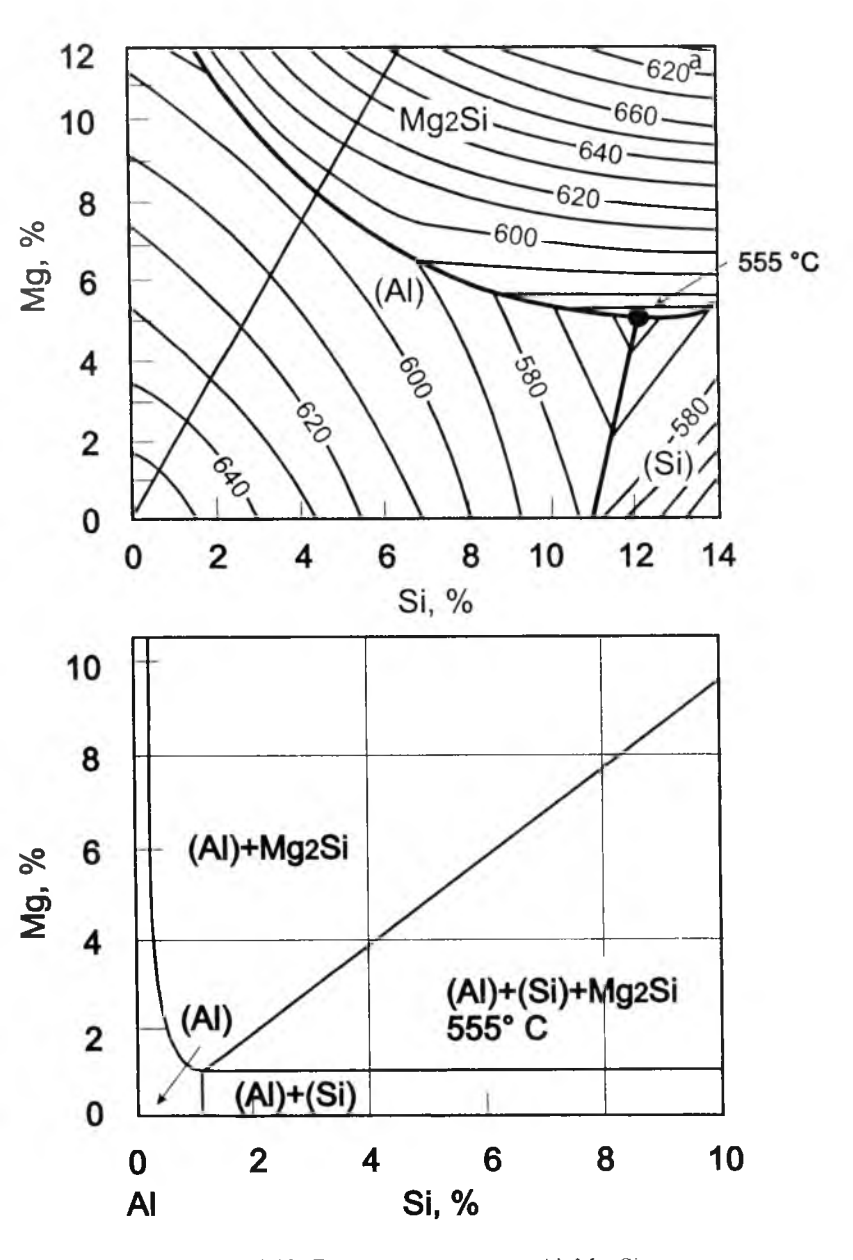
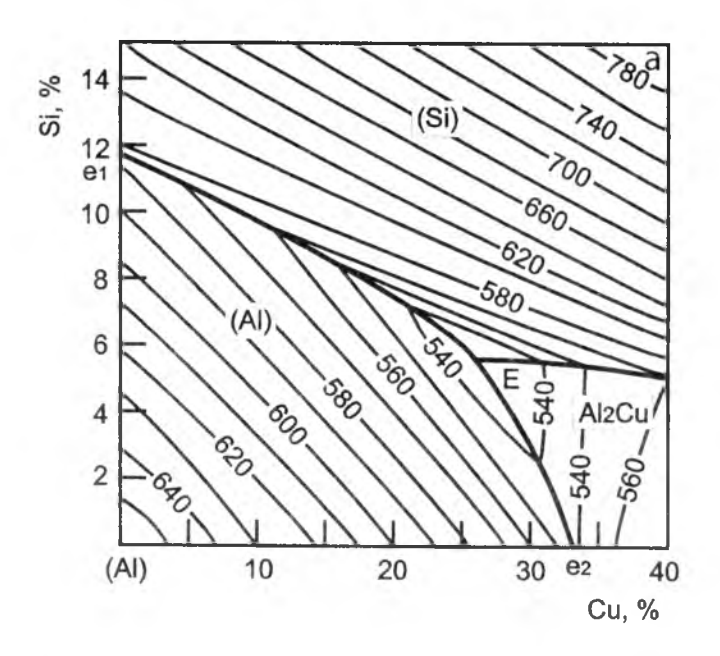


Рис. 1.12. Диаграмма состояния Al–Mg–Si: a – ликвидус; δ – солидус



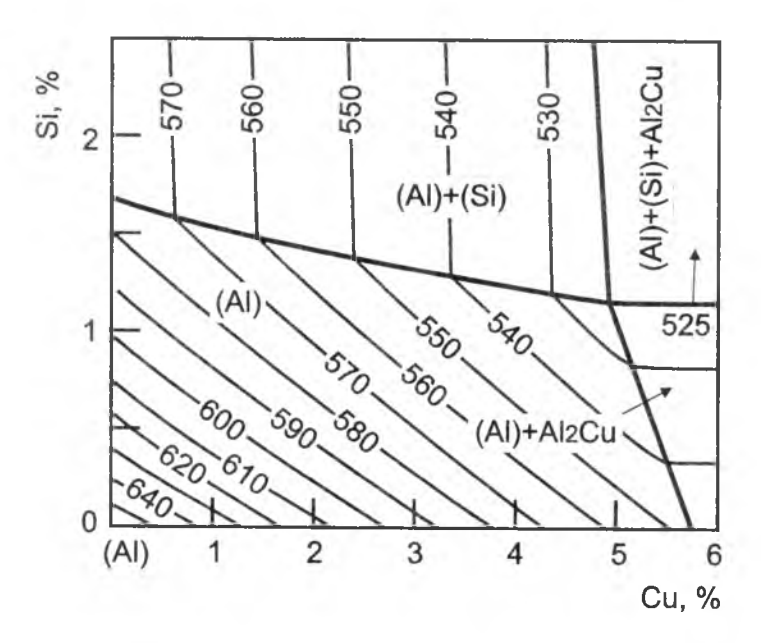


Рис. 1.13. Диаграмма состояния системы Al-Si-Cu: a - ликвидус; δ - солидус

Содержание легирующих элементов и примесей (%) в некоторых
литейных алюминиевых сплавах (ГОСТ1583-93)

Марка	Si	Mg	Cu	Mn	Другие	Fe
AK12	10-13			-	_	_(кокиль <1
\E94	8-10,5	0,17-0,3	11-2	0,2-0,5	_	=0.9
\ F 7 u	6-8	0,2-0,4	1-		_	<1
VI 5M2	4-6	0,2-0,8	1,5–3,5	0,2 0,8	Ti	<1.3
\\8M34	7-8,5	0,2-0,45	2,5-3,5		Zn, Ti, Be, B	<0.4
NC1M2,5H2,5	20-22	0,2-0,5	2,2-3,0	0,2 0,4	Ni, Ti, Cr	<0.9
VM5	<0,3		4,5-5,3	0,6-1	Ti	< 0,3
\ \1г6л	<0,2	6-7	12		Ti, Zr, Be	<0.2
\Мг6лпч	<0,05	6-7	-	-	Ti, Zr, Be	0,05
\Mr10	<0,3	9,5-10,5	-	100	Ti,Zr,Be	<0,2

Промышленные литейные алюминиевые сплавы согласно гос T 1583-93 (см. табл. 1.3 и Приложение 1), маркируют буквой A, за которой следуют буквы, обозначающие легирующий элемент: К – Si, 11 Cu, Mr – Mg, Ц – Zn, H – Ni, Кд – Cd. Цифры после обозначения немента указывают среднее его содержание. Если концентрация пемента не превышает 1,5 %, то после его обозначения цифры не проставляют. Буквы «ч» или «пч» в конце марки (чистый, повышенной чистоты) указывают на пониженное содержание примесей. В пругих странах своя система обозначения, например в США для лигейных алюминиевых сплавов принята трехзначная цифровая маркировка. Поскольку в настоящее время зарубежные сплавы широко используются в отечественном производстве, умение работать с национальными стандартами разных стран приобретает большое значение. В первую очередь это касается американских сплавов, многие из когорых производятся на крупнейших российских заводах, в частности, принадлежащим компаниям РУСАЛ и СУАЛ. Используя Приложепия 1 и 2, в которых приведены составы литейных и деформируемых сплавов по стандартам РФ и США, можно найти отечественный анатог тому или иному зарубежному сплаву.

Силумины (сплавы на базе системы Al–Si) являются наиболее широко используемыми литейными алюминиевыми сплавами. Они принадлежат согласно выше рассмотренной классификации к группам 2–4 (см. рис. 1.1). Характерной структурной составляющей силуминов является эвтектика (Al)+(Si), которая относится к аномальным, что затрудняет выявление эвтектических колоний в световом микроскопе.

Структура доэвтектических силуминов (см. рис. 1.2,6) состоит из светлых первичных кристаллов (А1) в дендритной форме и пестрой эвтектики (см. рис. 1.8). Овальные участки первичных кристаллов являются сечениями ветвей дендритов плоскостью шлифа. В заэвтектических сплавах (см. рис. 1.2,г) серые первичные кристаллы кремния имеют форму многогранников. Для повышения механических свойств силумины (в первую очередь, предназначенные для литья в землю) модифицируют сотыми долями процента натрия или стронция. Под действием этих модификаторов кремний в эвтектике кристаллизуется в форме сильно разветвленного скелета с тонкими ветвями волокнистой формы, что можно наблюдать в СЭМ при просмотре сильно травленых шлифов. Сечения этих ветвей в плоскости шлифа имеют глобулярный или точечный вид. После нагрева под закалку происходит фрагментация этих разветвленных скелетов на отдельные глобулярные или вытянутые включения, что приводит в повышению пластичности.

Наиболее вредной примесью в силуминах является железо, так как оно образует хрупкое соединение Al_5FeSi , как это следует из диаграммы состояния Al-Si-Fe (см. рис. 1.11). Это соединение кристаллизуется в виде тонких пластин (на шлифе — игл) (см. рис. 1.3,г), которык действуют как концентраторы напряжений и тем самым резко снижают пластичность. Чем больше железа в силумине, тем длиннее эти пластины. Для повышения пластичности в силумины вводят марганег (0,2...0,6%), который связывает железо в фазу $(Fe,Mn)_3Si_2Al_{15}$, кристаллизующуюся в скелетообразной форме. Иногда эта скелетная фаза похожа на иероглифы, и такую структурную составляющую называют «китайский шрифт». Более компактные скелетные кристаллы меньше охрупчивают силумины, по сравнению с тонкими пластинами.

Сплав АК12 является единственным промышленным силумином, принадлежащим к двойной системе Al—Si (без добавок других элементов). Он содержит $10...13\,\%$ Si и в немодифицированном состоянии по структуре может быть доэвтектическим, чисто эвтектическим и заэвтектическим (см. рис. 1.8). Натрий смещает эвтектическую точку в сторону больших концентраций кремния так, что модифицированный силумин AK12 по структуре всегда является доэвтектическим сплавом и состоит из точечной эвтектики (Al)+(Si и небольшого количества первичных кристаллов (Al). По количеству иголок фазы Al₅FeSi можно в первом приближении оценить со держание железа в сплаве. Силумин AK12 после литья под давлением имеет $\sigma_b \ge 160$ МПа и $\delta \ge 1\,\%$. Упрочняющей термической об

работке сплав АК12 не подвергают, так как ее эффект незначитепен. Основной способ повышения его механических свойств (при штье в песчаные формы) — модифицирование.

Добавки меди и магния в силумины позволяют проводить упрочплощую термическую обработку, так как эти элементы образуют при старении фазы-упрочнители Mg₂Si и CuAl₂, что вытекает из диаграмм Al-Si-Mg (см. рис. 1.12) и Al-Si-Cu (см. рис. 1.13). Типичным представителем «безмедистых» термически упрочняемых силуминов являются промышленные сплавы типа АК7ч (АЛ9), которые примепопот для отливки крупных нагруженных деталей и деталей сложной конфигурации, подвергаемых сварке. Они содержат 6...8 % Si и 0,2...0,4 % Мg и до 1 % Fe. В литом состоянии структура модифицированного силумина АК7ч содержит две основные структурные составляющие - первичные кристаллы (Al) и эвтектику (Al)+(Si). Сишцид магния входит в состав тройной эвтектики (Al)+(Si)+Mg₂Si, количество которой мало из-за небольшого содержания магния в сплаве. Эту эвтектику можно идентифицировать по черным скелетным кристаллам Mg₂Si. При нагреве под закалку (530...540 °C) силишід магния полностью переходит в (Al), а кремний из эвтектики, частично растворяясь в алюминии, принимает глобулярную форму. В результате структура закаленного сплава АК7ч приобретает вид, который отражен на рис. 1.4,б. Если силумин загрязнен железом, то хорошо видны иглы Al₅FeSi, не переходящие в твердый раствор при нагреве под закалку (см. рис. 1.5,2). Упрочнение при старении доститается за счет образования фаз β' и β'' , которые являются метастабильными модификациями силицида магния. Отлитый в песчаную форму модифицированный, термически обработанный (Т6) сплав АК7ч имеет $\sigma_{\rm b} \ge 230 \, {\rm MHz}$ и $\delta \ge 1 \, \%$. При низком содержание железа (АК7пч) и нитье в кокиль механические свойства существенно повышаются $(\sigma_b \ge 300 \text{ M}\Pi \text{a и } \delta \ge 3 \%).$

Для анализа фазового состава Cu-содержащих силуминов следует воспользоваться диаграммой Al-Si-Cu (см. рис. 1.13), из которой вытекает отсутствие новых фаз кроме Al₂Cu и (Si) из двойных систем. Структура литых сплавов этой группы отличается от двойных силуминов наличием прожилок фазы Al₂Cu, которые располагаются по границам дендритных ячеек, а также в составе колоний тройной эвтектики (A)l+(Si)+Al₂Cu, при ≈ 525 °C. В большинство промышленных силуминов концентрация меди не превышает 4 %, т.е. при нагреве под закалку все ее количество

переходит в (AI) и структура приобретает вид, показанный на рис. $1.4,6,\, 6.$ Упрочнение при старении достигается за счет образования метастабильных модификаций фазы AI₂Cu (θ' и θ''). Многие «медистые» силумины (AK5M, AK8M3, AK9M2 и др.) содержат также добавку магния в количестве до 1 % (чаще до 0,6 %), что может привести к появления в структуре силицида магния, а также четверного соединения AI₄Cu₂Mg₈Si₅ (Q). В литом состоянии они присутствуют в виде неравновесной эвтектики, при нагреве под закалку в основном переходят в (AI), а при старении выделяются в виде фаз-упрочнителей.

Для более строгого анализа силуминов, содержащих добавки меди и магния, следует воспользоваться четверной диаграммой состояния, а именно соответствующими сечениями. В качестве примера на рис. 1.14 приведены изотермическое и политермическое сечения диаграммы Al-Si-Cu-Mg, по которым можно анализировать фазовый состав силуминов типа AK8M3ч (с низким содержанием железа, на рис. 1.14,а показано затемненным прямоугольником). В частности, сечение при 500 °C и 8 % Si (рис. 1.14,а) позволяет определить область концентраций меди магния, при которых эти элементы могут полностью перейти в (Al) при нагреве под закалку. Используя политермический разрез при 8 % Si и 3 % Cu, можно проследить влияние магния на температуру солидуса и фазовые границы в твердом состоянии, что позволяет правильно выбирать режим термообработки.

Отдельную группу представляют так называемые поршневые силумины, которые должны обладать высокой жаропрочностью и низким коэффициентом термического расширения. Как правило, это сильнолегированные сплавы, которые по микроструктуре соответствуют 4-й группе (см. рис. 1.2,2). В силуминах АК12М2МгН (АЛ25) и АК12ММгН (АЛ30) иногда первично кристаллизуется фаза Al₉FeNi, а в заэвтектическом силумине АК21М2,5H,5 всегда присутствует фаза (Si) в виде многогранников. Поршневые сплавы обычно используют в литом состоянии или T1, их пластичность мала (δ <0,5%).

Среди промышленных силуминов имеются сплавы с повышенным содержанием цинка, так называемые «цинковистые» силумины (АК9Ц6 и АК7Ц9). Кроме цинка и кремния в их состав входят обычные для силуминов элементы, которые и определяют их микроструктуру. Цинк самостоятельных фаз не образует и практически полностью входит в состав (Al).

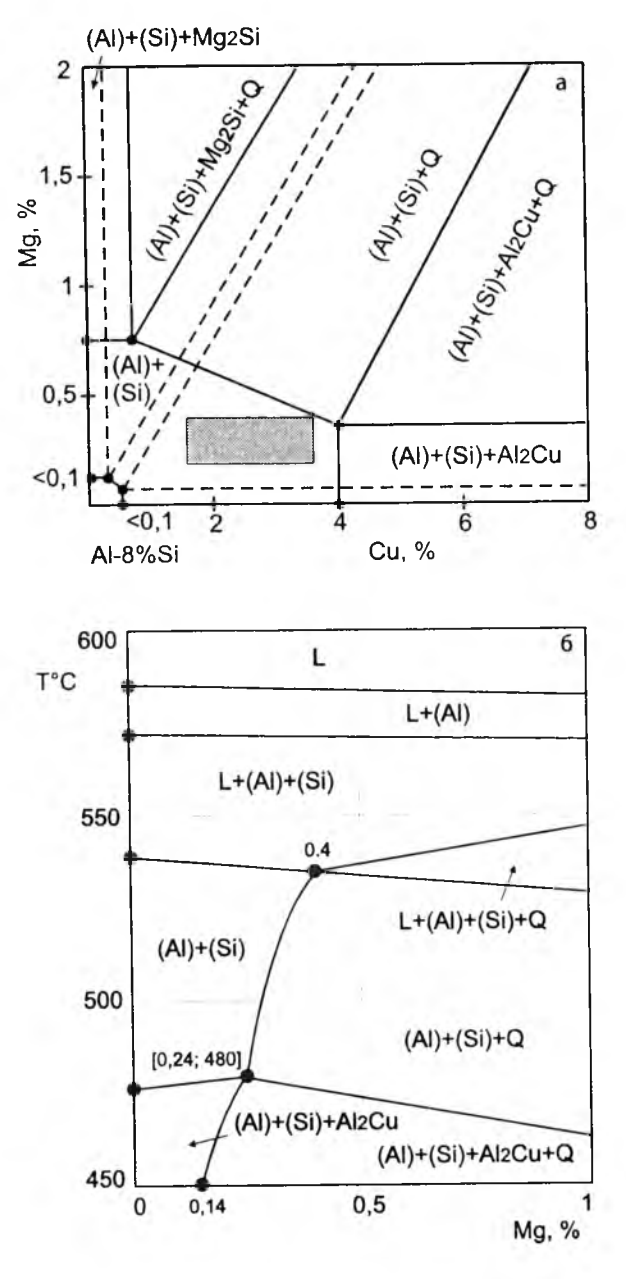


Рис. 1.14. Диаграмма состояния системы Al- Cu–Mg–Si: а изотермическое сечение при 8 % Si и 500 °C; δ — политермическое сечение при 8 % Si, и 3 % Cu

В высокопрочных литейных алюминиевых сплавах основной структурной составляющей является твердый раствор. В отличие от силуминов, эти сплавы по составу находятся около левой границь заштрихованной области литейных сплавов на рис. 1.1. Они расположены в области составов, типичных для деформируемых сплавов Именно здесь максимален эффект упрочнения при закалке и старении. Из-за малого количества эвтектики высокопрочные литейные алюминиевые сплавы значительно уступают по литейным свойствам силуминам. Из-за большого интервала кристаллизации эть сплавы склонны к образованию усадочной рыхлоты. Промышлен ные сплавы этой группы относятся к системам и Al-Cu (см рис. 1.9) и Al-Mg (см. рис. 1.10), часто с малыми добавками других элементов. Из-за высокой чувствительности механических и коррозионных свойств к примесям железа и кремния к этим сплавам, каг правило, предъявляются очень жесткие требования к чистоте (вплоть до 0,05 %, см табл. 1.3).

Сплав АМ5 содержит около 5 % Си и до 1 % Мп, это наиболеє классический пример сплавов 1-й группы, так как по концентрации меди он располагается вблизи точки предельной растворимости (см. рис. 1.9). Из-за хрупкости второй фазы (Al₂Cu) сплавы системь Al–Cu в литом состоянии не используют. После полной термообра ботки (Т6) в них достигается достаточно высокая прочность ($\sigma_{\rm B}$ до 400 МПа, а при наличии малых добавок до 500 МПа) при удовле творительной пластичности. Для работы при повышенных темпера турах (до 300 °C) сплавы типа АМ5 подвергают термообработке порежиму Т7. Из-за низких литейных свойств, сплавы системы Al–Ct имеют ограниченное применение.

Сплавы типа АМг10 содержат около 10 % Mg и малые добавкі титана (0,1 %), циркония (0,1 %) и бериллия (0,1 %). По составу ог находится левее точки предельной растворимости магния в алю минии (17,4 %) (см. рис. 1.10). В литом состоянии структура спла ва состоит из первичных зерен (Al) и неравновесной эвтектики которая вырождена в фазу $\beta(Al_8Mg_5)$ (рис. 1.2,a). Светлые, хорошко очерченные кристаллы β -фазы из эвтектики расположены по границам дендритных ячеек (Al). Из-за хрупкости β -фазы литысплавы с такой структурой малопластичны. При нагреве под за калку β -фаза полностью переходит в твердый раствор, поэтом закаленные сплавы отличаются высокой пластичностью. Спла АМг10 после закалки (режим T4) имеет $\sigma_b \ge 320$ МПа и $\delta \ge 12$ %

1 го литейные свойства несколько лучше, чем у Al–Cu сплавов, отнако существенно хуже, чем у силуминов. Сплав АМгбл отлитется от предыдущего меньшим содержанием магния (около 6 га), он пластичнее и имеет более высокую коррозионную стойность. Этот сплав в отличие от АМг10 может использоваться не то тько в закаленном (Т4), но и в литом состоянии.

1.2. Порядок проведения работы

- 1.2.1. Просмотреть набор приготовленных шлифов литейных поминиевых сплавов и определить фазы и структурные составвпощие.
- 1.2.2. Используя атласы микроструктур и диаграмм состояния (в виде альбома или в электронной форме на компьютере), схематично присовать изученные структуры сплавов с указанием фаз и структурных составляющих.
- 1.2.3. По указанию преподавателя схематически изобразить изменение микроструктуры сплавов на различных технологических напах.

1.3. Требования к отчету по работе

Отчет должен содержать:

- зарисовки всех изученных микроструктур литейных алюминиевых сплавов с указанием увеличения (в виде маркера);
- указание под каждой микроструктурой марки сплава, среднего чимического состава, состояния, показанные стрелками фазы и структурные составляющие;
- зарисовки соответствующих микроструктурам диаграмм состояния, необходимых для анализа структуры сплавов.

Литература

Золоторевский В.С., Белов Н.А. Металловедение цветных металлов. Раздел: Алюминиевые сплавы. Металловедение, применение, стандарты. М.: МИСиС, 2000.

Колачев Б.А., Ливанов В.А., Елагин В.И. Металловедение и термическая обработка цветных металлов и сплавов. М.: МИСиС, 1999. С. 7-12, 121-136.

Силумины. Атлас структур и фрактограмм промышленных сплавов: Справ./ А.Г. Пригунова, Н.А. Белов, Ю.Н. Таран и др. М.: МИСиС, 1996.

Контрольные вопросы

- 1. На какие основные группы подразделяют алюминиевые спла вы'?
- 2. В какой области диаграммы состояния алюминиевые сплавь обладают хорошими литейными свойствами?
- 3. Какая основная структурная составляющая в силумин AK12M2?
- 4. Какие процессы происходят при нагреве сплава АК7пч под за калку?
- 5. Какие процессы происходят при старении закаленного спла ва AM5?
- 6. Какая основная избыточная фаза в сплаве АМг10 в литом со стоянии?
 - 7. Какне примеси могут присутствовать в сплаве АК9ч?
- 8. Какие основные структурные составляющие наблюдаются в за эвтектических силуминах?
 - 9. Для чего и как модифицируют силумины?
- 10. Чем различаются структуры доэвтектического модифицирс ванного и немодифицированного силуминов?
 - 11. Почему железо является вредной примесью в силуминах?
- 12. Для чего и в каком количестве в силумины вводят марганец бериллий?
- 13. При какой температуре проводят нагрев под закалку сплаво типа АК7?
 - 14. Почему к магналиям не применяют термообработку Т6?
- 15. У какого сплава: AM5 или AK5M2 лучше литейные свойства Почему?
 - 16. Какие основные фазы-упрочнители в силумине АК8М3ч?
 - 17. Каким образом можно выявить зерно в алюминиевых сплавах
- 18. Как по микроструктуре оценить скорость охлаждения пр кристаллизации отливки?
 - 19. Какие стадии старения можно ожидать в силумине АК9ч?
- 20. Почему сплавы в состоянии Т4 нецелесообразно использоват для работы при повышенных температурах?

Лабораторная работа 2

МИКРОСТРУКТУРА ДЕФОРМИРУЕМЫХ АЛЮМИНИЕВЫХ СПЛАВОВ

(4 yaca)

2.1. Цель работы

Закрепление навыков металлографического анализа промышленимх деформируемых алюминиевых сплавов с использованием диаграмм состояния и знакомство со стандартами на их составы.

2.2. Теоретическое введение

113 деформируемых сплавов методом полунепрерывного литья получают круглые и плоские слитки, которые подвергают горячей и холодной обработке давлением (прокатке, прессованию, штамповте, ковке и др.), получая различные полуфабрикаты (плиты, листы, прутки, трубы и др.). Область составов большинства промышленных деформируемых сплавов простирается от алюминия до точки а (см. рис. 1.1,а), т.е. по классификации, рассмотренной в лабораторпой работе 1, они соответствуют 1-й группе. Основные легирующие нементы в них те же, что и в литейных сплавах, плюс литий. Наиоолее вредными примесями в деформируемых сплавах являются железо и кремний (за исключением тех случаев, когда эти элементы выступают в качестве компонентов). Общее количество избыточных фаз кристаллизационного происхождения в полуфабрикатах обусловлено, в первую очередь, концентрацией именно этих элементов. Далее общие особенности формирования структуры деформированных сплавов рассматриваются на примере сплава X1 $(см. рис. 1, \delta).$

В литых слитках структура при низком содержании примесей соответствует микроструктуре, представленной на рис. 1.2,a. Наиболее вероятно образование при неравновесной кристаллизации следующих избыточных фаз: Al_2Cu (θ), Al_8Mg_5 (β), (Si), Mg_2Si M_2CuMg (S), $Al_2Mg_3Zn_3$ (I), $MgZn_2$ (I). На нетравленых шлифах их трудно отличить друг от друга в световом микроскопе. Первичную идентификацию лучше всего проводить в сканирующем олектронном микроскопе, ориентируясь на контраст между ними

(желательно в режиме отраженных электронов). В присутствин железа (>0,1%) на шлифах выявляются фазы, которые имеют, кан правило, иглообразную (рис. 1.3, α) или скелетную (см. рис. 1.3, α) морфологию. К первым относятся соединения Al_3Fe и Al_5FeSi (α) ко вторым — Al_8Fe_2Si (α) и $Al_{15}(Fe,Mn)_3Si_2$ (α). При наличии мар ганца, что характерно для многих промышленных сплавов (см Приложение 2), наиболее вероятно образование последнего со единения. В некоторых сплавах (например, типа AMu) иногда возможно образование первичных кристаллов фазы $Al_6(Fe,Mn)$ в виде граненых кристаллов неправильной формы. В целом, появле ние в слитках деформируемых сплавов первичных кристаллов из быточных фаз скорее исключение, чем правило.

Слитки большинства промышленных сплавов подвергают гомоге низационному отжигу, задачей которого является устранение по следствий неравновесной кристаллизации, улучшение технологиче ской пластичности слитков при обработке давлением и повышени конечных свойств деформированных полуфабрикатов. Для сплавог типа X1, температуру отжига выбирают в однофазной области, а дл: сплавов типа X2 (например, Д20) — вблизи температуры эвтектики (см. рис. 1.1,6). В отличие от отливок, которые после гомогенизации закаливают для получения пересыщенного (A1), слитки деформируе мых сплавов охлаждают сравнительно медленно, чтобы получит малолегированный (A1) и равномерно распределенные вторичны выделения избыточных фаз.

Многие деформируемые сплавы содержат малые добавки пере ходных металлов (Мп, Zr, Cr, Ti, Sc), которые при литье в основном переходят в (А1), распределясь по сечениям дендритных ячеек со гласно соответствующим диаграммам состояния. При нагреве (каправило, начиная с 300...400 °C) они выделяются в виде вторичных алюминидов, так называемых дисперсоидов. Образование последних можно объяснить различием двойных диаграмм состояния алюмини с основными легирующими элементами и переходными, указанными выше.

В качестве примера рассматривается сплав, который содержит 5 % Cu и 1 % Mn (рис. 2.1 и 2.2). В литом состоянии медь находитс как в первичных кристаллах (Al), так и в фазе Al_2Cu эвтектическог происхождения (рис. 2.2,a). При этом весь марганец входит в соста (Al), неравномерно распределяясь внутри дендритной ячейки. Нагре при 530...545 °C приводит к полному растворению эвтектически: частиц фазы Al_2Cu в (Al), однако из-за низкой растворимости мар

ганца происходит образование дисперсоидов (в случае рассматринатемого сплава — фазы $Al_{20}Mn_3Cu_2$). Они имеют субмикронные размеры, поэтому в световом микроскопе обычно не выявляются (рис. 2.2,6). Поскольку ликвация по марганцу не устраняется (из-за ето недостаточной диффузии в алюминии), дисперсоиды распределены неравномерно. Медленное охлаждение до комнатной температуры приводит к образованию вторичных выделений фазы Al_2Cu (рис. 2.2,6).

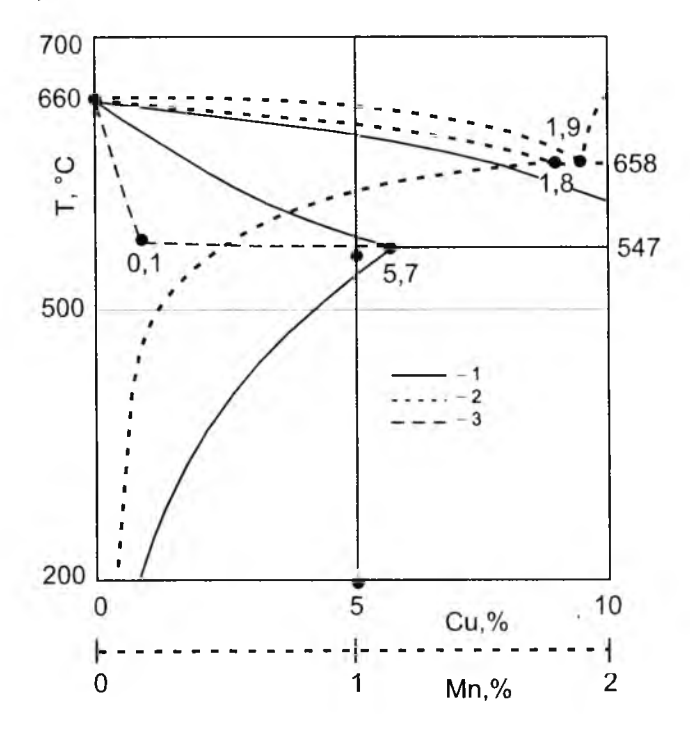


Рис. 2.1. Диаграмма состояния Al–Cu (1,3) и Al–Mn (2): 3 — неравновесный солидус

Таким образом, в структуре гомогенизированного слитка большинства деформируемых сплавов присутствуют два сорта вторичных выделений. Размеры дисперсоидов (β_2) составляют от 5 нм (Al_3Sc) до ~ 1 мкм (Al_6Mn), у вторичных выделений, содержащих основные легирующие элементы (β_1) – в пределах 0,1...1 мкм. Частицы β_1 и β_2 иногда можно наблюдать и в световом микроскопе, но в большинстве случаев требуется электронная микроскопия.

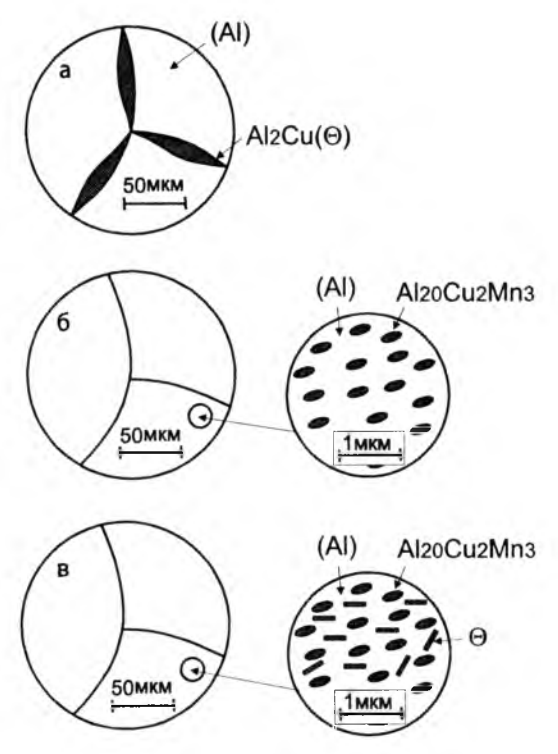


Рис. 2.2. Схема формирования структуры гомогонезированных слитков алюминиевых сплавов

Размер дисперсоидов зависит от состава фазы, ее кристалличест решетки и от температуры гомогенизации: чем выше температура, т грубее частицы. Размер и распределение выделений β_1 зависят в осн ном от режима охлаждения: самые грубые частицы образуются при лаждении с печью, самые дисперсные и равномерно распределенн частицы – при изотермической выдержке (обычно около 300 °C). С дует отметить, что дисперсоиды в отличие от частиц β_1 практически изменяются на последующих технологических этапах. Их неравном ное распределение, обусловленное внутрикристаллитной ликвациеі литом состоянии, в значительной мере сохраняется и в деформиров ных полуфабрикатах. Исключения составляют сплавы типа АМц, ко рые можно (но не всегда целесообразно) гомогенизировать при тем ратурах выше 600 °C, в этом случае возможно попадание в однофазн область (см. рис. 2.1). На электрополированных шлифах ликвация переходным металлам (особенно по титану) легко выявляется как в. тых, так и гомогенизированных слитках.

пем, целью которой является, с одной стороны, получение полуфабрикатов нужной формы, а с другой, повышение свойств (прежде всего механических) конечного продукта. Обработку давлением по температуре деформации (T_a) подразделяют на холодную (при комнатной температуре), теплую (между комнатной и $\leq 0,5...0,6$ T_s) и горячую (выше 0,5...0,6 T_s). Строго говоря, деформация алюминия и его спланов при комнатной температуре — это уже теплая деформация, так как чого для чистого алюминия соответствует 0,31 по гомологической шкале (для сплавов комнатная температура по гомологической шкале (для сплавов комнатная температура по гомологической шкале операвине). Первая деформация, которой подвергают литые или гомогонизированные слитки, обычно бывает горячей. Такие виды обработы давлением, как прессование и ковка всегда проводятся при высоких температурах, когда сопротивление деформации понизится, а планичность повысится в достаточной мере.

В процессе деформации происходят следующие основные изменеппя внутреннего строения: вытягивание зерен согласно схеме деформаини (рис. 2.3.a), образование строчек избыточных фаз (рис. 2.3.6), измепенне дислокационной структуры (рис. 2.4), образование текстуры. При отпосительно низких значениях T_d формируются дислокационные ячейки с максимальной плотностью ($\rho = 10^{11} ... 10^{12}$ см $^{-1}$) (рис. 2.4.*a*). Такое состояние соответствует максимальному деформационному упрочнешно (наклепу) и обозначается как Н. При более высоких температурах позможно образование полигонизованной структуры, для которой характерно наличие относительно совершенных субзерен размером 0.1...1 мкм (рис. 2.4,0). Величина наклепа (т.е. плотность дислокаций) в ном случае меньше, чем в холоднодеформированном состоянии. Дисюкационную структуру можно наблюдать только в ПЭМ. Деформированное состояние может быть окончательным, но чаще оно является промежуточным, после деформации обычно с той или целью проводят нагрев, который приводит к структурным изменениям.

Деформируемые алюминиевые сплавы подразделяют на: термически не упрочняемые и термически упрочняемые. В основе этой классификации лежит способность упрочняться при закалке и последующем старении. Первые (технический алюминий, сплавы типа АМц и магналии) подвергают только отжигу, а вторые (дуралюмины, авиали, сплавы типа В95 и др.) закалке и старению (искусственному или естепвенному). Как и в других сплавах, нагрев выше определенной температуры приводит к образованию равноосных зерен вместо деформированных. Сначала в результате первичной рекристаллизации формированных.

мируется относительно мелкозернистая структура (см. рис. 2.3,в), а затем собирательная рекристаллизация приводит к росту одних зерен за счет других (см. рис. 2.3,г). Если рекристаллизация прошла полно стью, то наклеп снимается. В зависимости от степени наклепа и дис персионного упрочнения формируется окончательное состояние, со ответствующие обозначения, принятые в РФ и США (по специфика ции Алюминиевой Ассоциации), приведены в табл. 2.1.

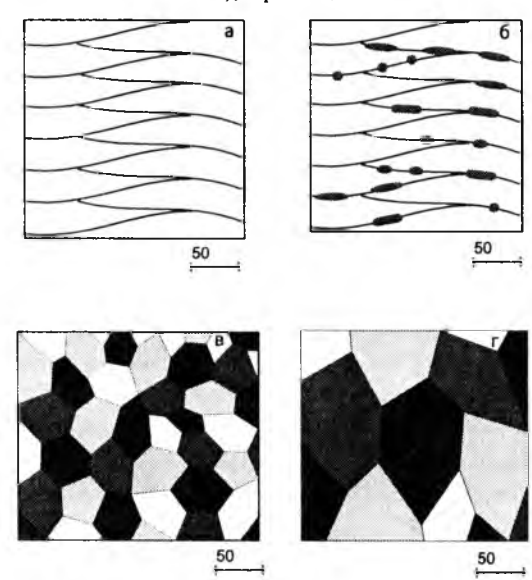


Рис. 2.3. Схема зеренной структуры деформированных полуфабрикатов алюминиевых сплавов: $a, \, \delta$ — деформированные зерна; $a, \, \varepsilon$ — рекристаллизованные зерна

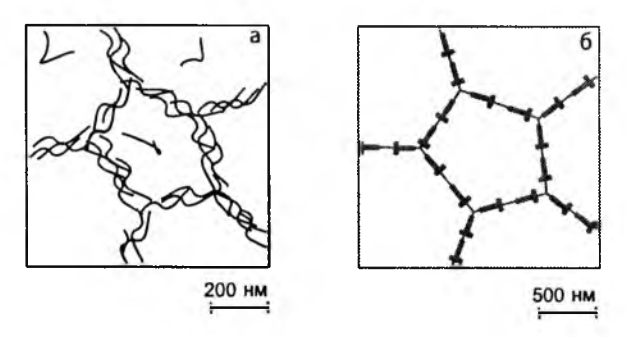


Рис. 2.4. Схема дислокационной структуры деформированных полуфабрикатов алюминиевых сплавов: a – ячеистая; δ – субзеренная (полигонизованная)

Обозначение некоторых состояний для деформируемых алюминиевых сплавов

D	Обозначение		
Вид термообработки	РФ	США	
ьез термообработки, без контроля наклепа		F	
Отжиг для полного снятия наклепа	M	0	
Нагартованное состояние без термообработки	Н	Hl	
Пагартованное и частично отожженное состояние	H1, H2, H3	H2	
Нагартованное и стабилизированное состояние		Н3	
Закалка после деформации плюс естественное старение	T	T4	
Закалка после деформации плюс старение на макси-	T1	Т6	
мальную прочность			
Закалка после деформации плюс перестаривание	T2, T3	T7	
Закалка после деформации, холодная деформация, искусственное старение (HTMO)	TIH	Т8	

Поскольку для алюминиевых сплавов обработка давлением в большинстве случаев проводится при значительных степенях деформации (є), анализ зеренной структуры полуфабрикатов после термической обработки удобно проводить с помощью качественных диаграмм структурных состояний. На рис. 2.5 показана качественная диаграмма структурных состояний термически обработанного сплава АК8. Правее кривой СС в области 3 рекристаллизация начинается, а правее С'С' (т.е при сочетании высоких $d\varepsilon/dt$ и T_d) – она успевает пройти полностью после деформации без нагрева под закалку,. В процессе этого нагрева полная рекристаллизация проходит в области 2 ниже линии ВВ при больших скоростях деформации ($d\varepsilon/dt$) и относительно низких T_d . Если же деформация проводится при малых $d\varepsilon/dt$ и высоких T_d (в области 1 выше кривой АА), то рекристаллизация при последующем нагреве под закалку совсем не идет. В области 4 формируется смешанная структура. Существенно препятствуют формированию рекристаллизованных зерен и их росту дисперсоиды, поэтому соответствующие переходные металлы часто называют антирекристаллизаторами.

Время нагрева деформированных полуфабрикатов под закалку, в отличие от литейных сплавов, как правило, не превышает 1 ч, поскольку вторичные выделения β₁ растворяются достаточно быстро. Более того, если требуется сохранить нерекристаллизованную структуру целесообразно ограничить это время несколькими минутами, используя селитровые ванны. Основные стадии старения протекают примерно так же, как и в литейных сплавах (см. рис. 1.6). Однако следует иметь ввиду, что большое количество дислокаций, и это характерно для нерекристаллизованной структуры, сильно затрудняет выявление вторичных выделений.

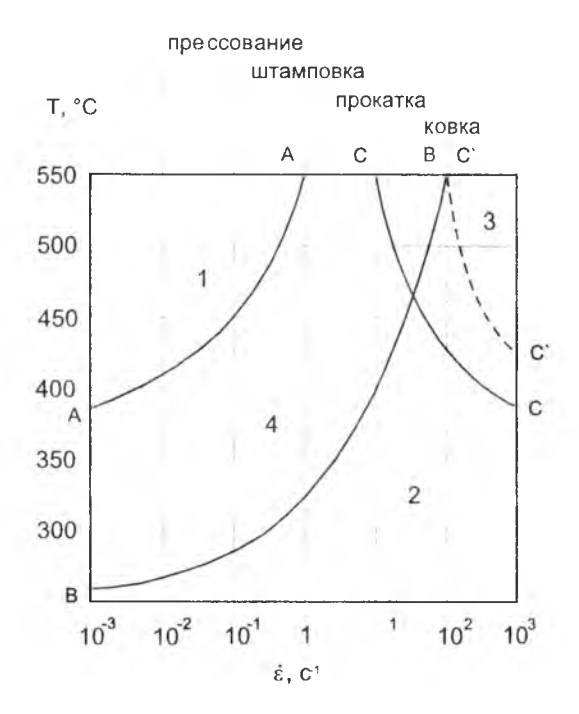


Рис. 2.5. Диаграмма структурных состояний закаленного сплава AK8 в зависимости от температуры и скорости деформации

Для обозначения промышленных деформируемых сплавов (Приложение 2) широко используют исторически сложившуюся буквенно-цифровую и буквенную маркировку, в которой цифры чаще всего являются условным номером сплава и не обозначают содержание легирующего элемента. Позднее (согласно ГОСТ 4784-74) была введена, параллельная традиционной, чисто цифровая маркировка деформируемых алюминиевых сплавов. Марка состоит из четырех цифр. Первая цифра во всех марках (1) обозначает основу сплава алюминий. Вторая цифра в марке несет главную смысловую нагрузку, указывая систему, являющуюся основой данного сплава: 0 - технический алюминий, I - система Al-Cu-Mg, 2 - системы Al-Cu-Mn и Al Li, 3 - системы Al-Mg-Si и Al-Mg-Si-Cu, 4 - система Al-Mn. 5 - система Al-Mg, 9 - система Al-Zn-Mg и Al-Zn-Mg-Cu. Последние две цифры в марке указывают порядковый номер сплава. Эта чисто цифровая маркировка пока не нашла широкого использования. исключение составляют сплавы, которые не имеют буквенного обозначения (1915, 1201, 1420 и др.). Состав некоторых наиболее характерных деформируемых сплавов приведен в табл. 2.2. В США используют четырехзначную цифровую маркировку, в которой первая инфра определяет базовую систему: 1 — технический алюминий; 1—Al—Cu—(Mg, Mn); 3—Al—Mn; 4—Al—Si; 5—Al—Mg; 6—Al—Mg—Si; 1—Zn—Mg—(Cu); 8—остальные.

В микроструктуре сплавов **типа АМц**, обладающих несколько по тее высокой прочностью (σ_b до 200 МПа), следует ожидать налития фаз Al_{15} (Fe,Mn) $_3Si_2$ и Al_6 (Fe,Mn). Их количество должно быть сравнительно небольшим, так как иное означает низкую концентрашию марганца в алюминиевой матрице и, следовательно, пониженные прочностные свойства.

Таблица 2.2 Содержание легирующих элементов и примесей (%) в некоторых деформируемых алюминиевых силавах (ГОСТ 4784—74)

\lapкa	Cu	Mg	Zn	Mn	Sı	Fe	Другне
\Д00	< 0,015	<0.02	<0,07	-0,02	<0,16	-0,16	-
ΛД	<0,1	<0,1	<(),1	<0,1	<0,5	<0,5	
АМц	<0.1	<0,2	<0,1	1,0 1,6	<0,6	< 0,7	
∆Мг2	<0,1	1,8 2,6	<0,2	0,2 0,6	<0,4	<0,4	
1:Mr6	<0,1	5,8-6,9	< 0.2	0,5=0,8	<().4	<0.4	Ti, Be
АД31	< 0,1	0,40,9	<0,2	<0,1	0,3 0,7	<0,4	
AB	0,1-0,5	0,45-0,9	<0,2	0,15 0,35	0,5 1,2	<0,5	
Д16	3,8 4,9	1,2 1,8	<0,3	0,3 0,9	<0,5	<0,5	
Д20	6,0 7,0	<0,05	<(),1	0,4 0,8	<0,3	<(),3	Ti
AK8	3,9-4,8	0,4-0,8	< 0,3	0,4 1,0	0,6 1,2	<0,3	
AK4-1	1,9-2,7	1,2-1,8	<0,3	<0,2	<0.35	0.8 1.4	0,8 1,4 Ni
B95	1,4-2,0	1,8-2,8	5,0 7,0	0.2 0,6	<0,5	<0,5	Ti, Cr

Самым прочным из термически не упрочняемых сплавов является сплав АМг6. Он относится к группе **магналиев** — сплавов на основе системы Al-Mg и содержит \sim 6,3 % Mg, 0,6 % Mn, 0,06 % Ti, 0,001 % Ве и не более 0,4 % примеси железа и 0,4 % примеси крем-

ния. Сплав выпускается в виде разнообразных деформированны полуфабрикатов – листов, плит, прутков, профилей, штамповок т.д. Широкое использование этого сплава объясняется высоко стойкостью против атмосферной коррозии и хорошей свариваемс стью. В микроструктуре полуфабрикатов сплава АМг6 могут при сутствовать следующие фазы кристаллизационного происхождения Al₁₅(Fe,Mn)₃Si₂ Al₆(Fe,Mn) и Mg₂Si. Большая часть марганца вхс дит в состав дисперсоидов Al₆Mn. Магний входит в состав (Al), также присутствует в виде вторичных выделений фазы Al₈Mg₅. По следние в основном располагаются по границам зерен, в случа сплошных цепочек они оказывают негативное влияние на механи ческие и коррозионные свойства. В состоянии Н (наклеп) спла имеет достаточно высокую прочность (σ_b до 400 МПа), однако пс сле отжига (или эксплуатационных нагревов) она сильно снижает ся. Другие магналии, содержащие меньшее количество магни: имеют промежуточный уровень свойств между АМг6 и АМц.

Авиали являются наименее легированными из термически уг рочняемых сплавов, их фазовый состав можно анализировать п тройной диаграмме Al-Si-Mg (см. рис. 1.12), если концентрации же леза и марганца незначительны. Составы большинства промышлен ных сплавов располагаются вдоль линии квазибинарного разреза А1 Mg₂Si вблизи точки предельной растворимости соединения Mg₂Si (А1). Упрочнение в авиалях достигается за счет образования метаста бильных фаз β' и β'' (Mg₂Si), так же как и в силуминах типа АК7. микроструктуре полуфабрикатов наиболее вероятно присутстви следующих фаз кристаллизационного происхождения: Al₅FeSi Al_8Fe_2Si , а также $Al_{15}(Fe_1Mn)_3Si_2$ (при наличии марганца) и Mg_2Si_2 (при избытке Mg и Si). Максимальная прочность авиалей не превь шает 350...400 МПа, однако они обладают хорошей деформируемс стью, в том числе при комнатной температуре, а также высокой ког розионной стойкостью, что обусловливает их сравнительно широкс применение. Из них делают практически все виды полуфабрикатов.

Термически упрочняемые сплавы типа Д20 относятся к систем Al—Cu и могут быть в первом приближении проанализированы п двойной диаграмме состояния (см. рис. 1.9), хотя более корректн использовать тройную (Al—Cu—Mn) или, по крайней мере, две двойные, как это показано на рис. 2.1. По составу они являются аналогими литейных сплавов типа AM5 (см. лабораторную работу 1), но со держат большее количество меди. Их главное достоинство состоит относительно высокой жаропрочности. В микроструктуре полуфаб

риватов сплавов типа Д20 кроме (AI) наиболее вероятно присутствие не тующих фаз кристаллизационного происхождения: Al_2Cu , M_1 (Le,Mn) $_3Si_2$, Al_7Cu_2Fe . Большая часть марганца входит в состав по персоидов $Al_{20}Cu_2Mn_3$. Основная фаза-упрочнитель θ' (Al_2Cu). Не растворившийся при гомогенизации избыток фазы Al_2Cu кристаллившионного происхождения располагается после деформации в виде грочек (см. рис. 2.3, δ).

Дуралюмины являются наиболее старыми алюминиевыми плавами, однако и в настоящее время они широко применяются в пластве конструкционного материала, особенно в авиации. Дурапомины обладают хорошим сочетанием прочности и пластичнони, но имеют при этом невысокую коррозионную стойкость. В связи с этим для них часто используют защитные покрытия в виде технического алюминия или оксидные, получаемые по различным технологиям, например анодированием. Типичным представитедуралюминов является сплав Д16, содержащий \sim 4,3 % Cu, 1.5 % Mg, 0.6 % Mn. Его фазовый состав в первом приближении можно проанализировать по диаграмме состояния Al-Cu-Mg (рис. 2.6), хотя более корректно — по четверным и пятерным (с четом марганца, железа и кремния). В литом состоянии в сплаве 116 всегда присутствуют эвтектика (Al)+Al₂Cu+Al₂CuMg(S), которая образуется при ~505 °C. Именно эта эвтектика и определяет температуры гомогенизации и нагрева под закалку. Для сплава Д16 из-за узкого диапазона допустимых температур существует оольшая опасность пережога. Пережог — это неисправимый брак. То появление обусловлено тем, что температура нагрева под закалку, необходимого для растворения избыточных фаз, может быть очень близка к температуре солидуса сплава. При превышеши температуры солидуса по границам зерен появляются тонкие прослойки расплава, которые при закалке, в результате неравновесной кристаллизации, превращаются в тонкие эвтектические прослойки. Такие прослойки, содержащие хрупкие интерметаллиды, снижают механические свойства сплава. Кроме того, по жидким прослойкам под действием закалочных растягивающих напряжений возникают межзеренные микротрещины. Металлографически пережог дуралюмина проявляется в утолщении границ зерен, в появлении островков эвтектик в тройных стыках зерен, глобулей внутри зерен и в образовании извилистых межзеренных микротрещин. В микроструктуре полуфабрикатов сплава Д16 кроме нерастворившихся (при гомогенизации) фаз Al₂Cu и Al₂CuMg обычно присутствует также фаза $Al_{15}(Fe,Mn)_3Si_2$. Основная фаза-упрочнитель в сплаве $\mathcal{A}16-S'(Al_2CuMg)$, в меньшем количестве могут присутствовать фазы θ' и θ'' (Al_2Cu). Большая часть марганца входит в состав дисперсоидов $Al_{20}Cu_2Mn_3$.

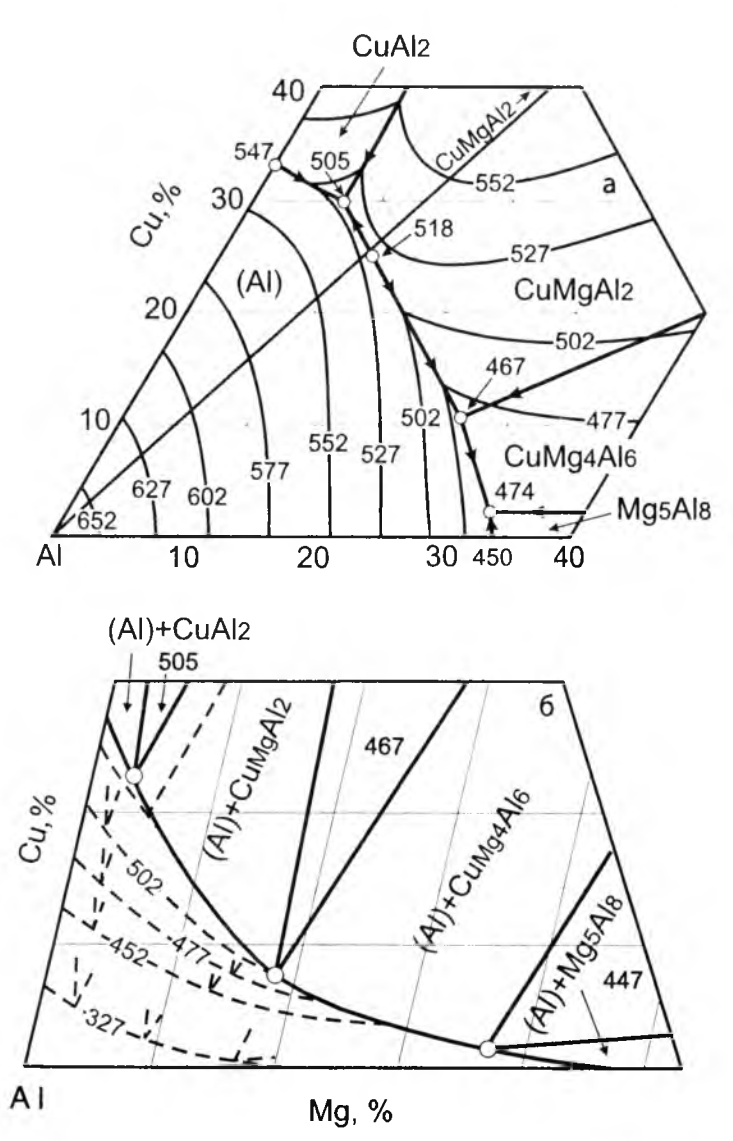


Рис. 2.6. Диаграмма состояния Al–Cu–Mg: a – ликвидус; δ – солидус

Разновидностью дуралюминов являются так называемые «ковочные» сплавы системы Al-Cu-Mg-Si (AK6 и AK8), в которых нешения добавка кремния (до 1 %) способствует повышению эффектискусственного старения. Эти сплавы могут содержать все фазы, готорые характерны как для дуралюминов, так и для авиалей.

Другой разновидностью дуралюминов являются сплавы системы И Си-Мg-Ni-Fe, содержащие примерно по 1 % железа и никеля. Напоолее оптимальным составом из них обладает сплав АК4-1. Особенностью его микроструктуры является наличие значительнопо количества (до 8 % объемн.) относительно глобулярных включешій фазы Al₉FeNi эвтектического происхождения. Состав алюмишевой матрицы аналогичен дуралюминам. Таким образом, сплавы
пой системы представляют собой тот редкий случай, когда железо
выступает в качестве легирующего компонента, а не примеси, как
поычно.

Свариваемые сплавы средней прочности (до 400 МПа) на базе пстемы Al–Zn–Mg (1915, 1925 и др.) содержат не более 5...6% (Zn+Mg) и малые добавки переходных металлов (Mn, Zr, Cr, Ti). Фазовый состав слитков и полуфабрикатов может быть проанали-апрован по соответствующей тройной диаграмме состояния (рис. 2.7). Согласно последней цинк и магний полностью входят в состав (Al) в широком диапазоне температур и образуют при старении фазы упрочнители $Al_2Mg_3Zn_3$ (T' и T") и $MgZn_2$ (η' и η''). Переходные металлы входят в состав дисперсоидов, которые позволяют сохранять в деформированных полуфабрикатах, в частности прессованных, нерекристаллизованную структуру. При наличии примежей железа и кремния, как правило, образуются фазы Al_8Fe_2Si , Ml_15 (Fe,Mn) $_3Si_2$ и Mg_2Si .

Высокопрочные сплавы на базе системы Al–Zn–Mg–Cu ^{7}XXX) обладают максимальным уровнем прочностных характеристик ($\sigma_{\rm B}$ до 700 МПа, $\sigma_{0,2}$ до 650 МПа) среди всех промышленных алюминиевых сплавов. Вместе с тем у них относительно низмий уровень коррозионной стойкости и теплопрочности. Они используются главным образом в авиации и оборонной промышленности для изготовления деталей ответственного назначения. Упрочнение этих сплавов достигается за счет метастабильных модификаций фаз М и Т, которые представляют собой изоморфные гвердые растворы между MgZn₂ и AlCuMg для М-фазы, Al₂Mg₃Zn₃ и Al₆CuMg₄ для Т-фазы. Часто эти сплавы содержат небольшие цобавки переходных металлов (Mn, Cr, Zr), которые в основном

выполняют функцию антирекристаллизаторов. Высокопрочны сплавы очень чувствительны к примесям железа и кремния, в пер вую очередь это касается характеристик вязкости разрушения 1 сопротивления усталости. В связи с этим для наиболее ответст венных изделий используют марки сплавов с повышенной чисто той, например В95пч, 7475 (Приложение 2). Следует отметить, чт требуемый уровень свойств может быть достигнут только пр тщательном соблюдении режимов всех операций технологическо цепочки: от слитка до готового термообработанного полуфабрика та. Для анализа микроструктуры полуфабрикатов сплавов ти па В95 следует использовать изотермические сечения диаграммі состояния Al-Zn-Mg-Cu, для 6 % Zn они приведены на рис. 2.8. 1 сплаве В96ц, наиболее легированном и прочном, часть фаз кри сталлизационного происхождения, содержащих Zn, Mg и Cu (M, и S), сохраняется в готовых полуфабрикатах, образуя вместе с же лезистыми фазами строчки (см. рис. 2.3.6).

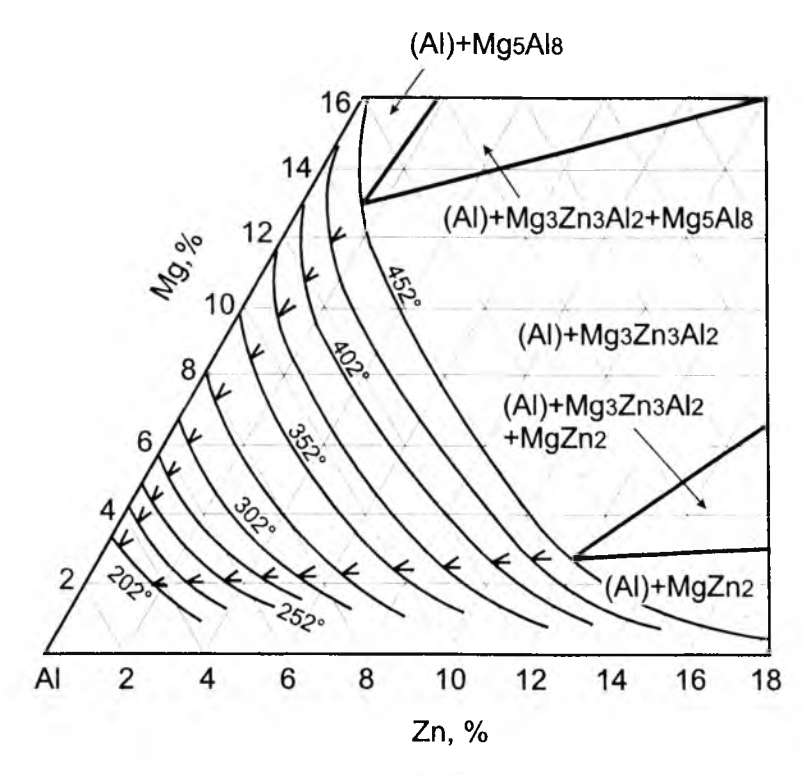


Рис. 2.7. Диаграмма состояния Al-Mg-Zn: a – солидус; δ – сольвус

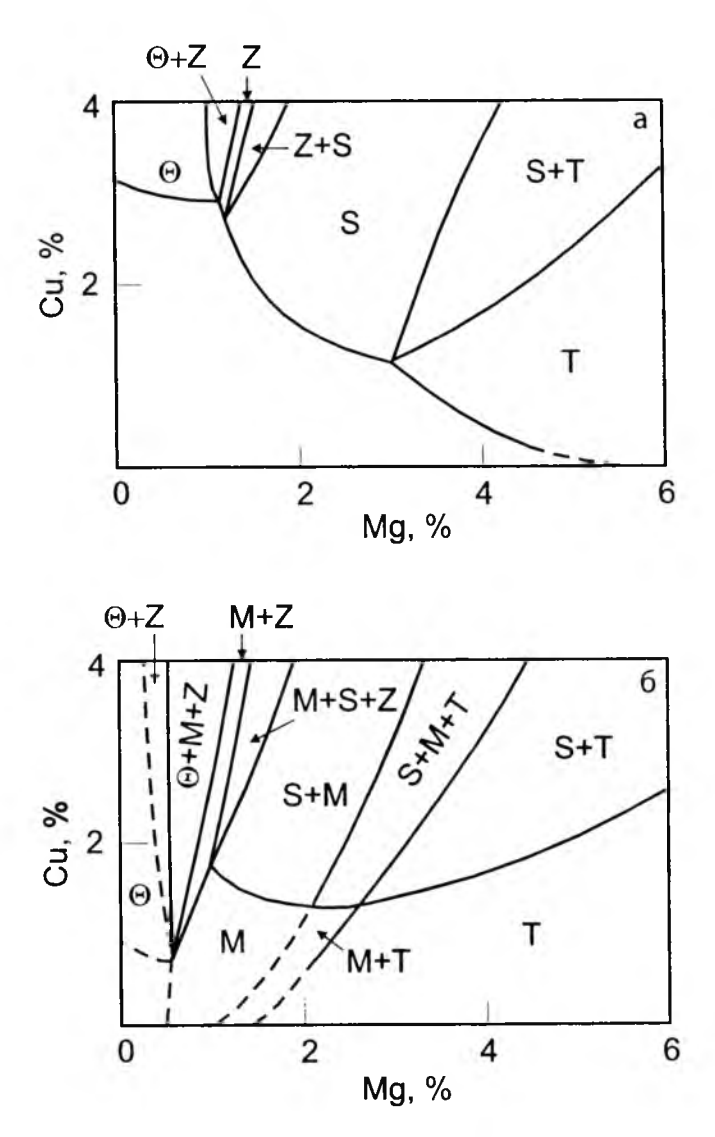


Рис. 2.8. Изотермические сечения днаграммы состояния Al–Zn–Mg–Cu при 6 % Zn при 460 °C (a) и 200 °C (δ)

В последние годы в авиастроении применяют сплавы, легированные литием, главное достоинство которых состоит в сочетании низкой плотности (наименьшей среди всех промышленных сплавов), высоких прочностных характеристиках и модуля упругости. Алюминиеволитиевые сплавы относятся к системам Al-Li-Cu (1450),

АІ–Lі–Mg (1420) и АІ–Lі–Cu–Mg (1440). Согласно диаграмме сс стояния АІ–Lі–Cu (рис. 2.9) в равновесии с (АІ) кроме двойных фа могут находиться тройные соединения T_1 (Al₂CuLi) T_2 (Al₆CuLi₃ Фазами упрочнителями являются θ' (Al₂Cu), δ' (AlLi) и T_1 . В систем АІ–Lі–Mg (рис. 2.10) в равновесии с (АІ) могут находиться фаза Al₈Mg₅, Al₁₇Mg₁₂, AlLi и S(Al₂MgLi). Упрочнение при старении дос тигается за счет выделения метастабильных модификаций последни двух фаз (δ' и S').

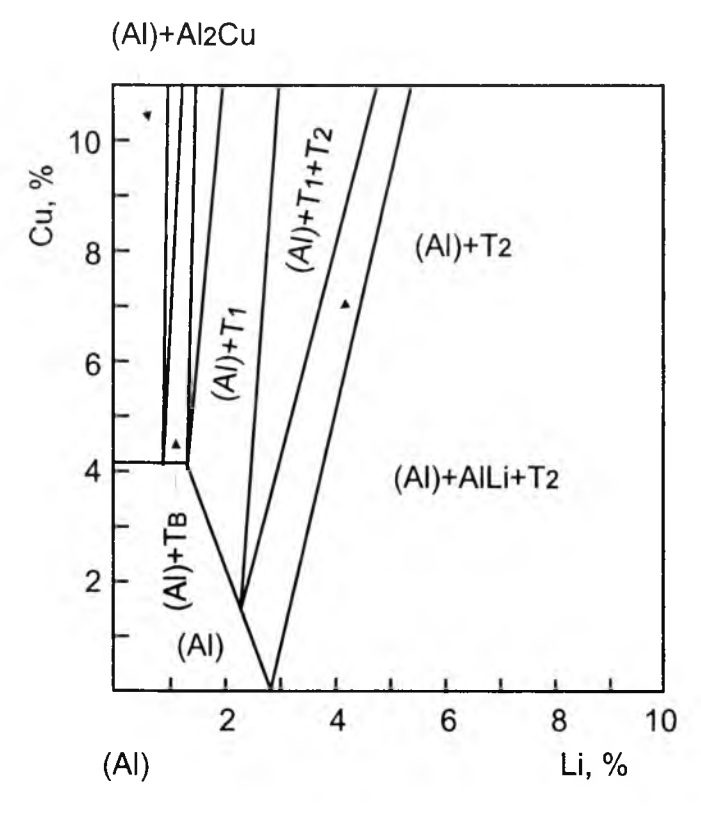


Рис. 2.9. Изотермическое сечение диаграммы состояния Al-Li-Cu при 500 °C

Для изделий особо ответственного назначения большой интерес вызывают алюминиевые сплавы, легированные скандием, не смотря на очень высокую цену последнего. Наиболее значительные результаты достигнуты при введении θ ,2...0,3 % Sc в магналии, поскольку рост прочности не сопровождается ухудшение

то один из редких примеров выделения стабильной фазы без промежуточных стадий. Дисперсионно-твердеющие сплавы системы Аl-Mg-Sc (01570) формально как магналии иногда относят к группе термически неупрочняемых сплавы с соглавнование термически неупрочняемых сплавов, хотя это ошибочно. Из уровне микроструктуры сплавы со скандием мало отличаются от обычных магналиев.

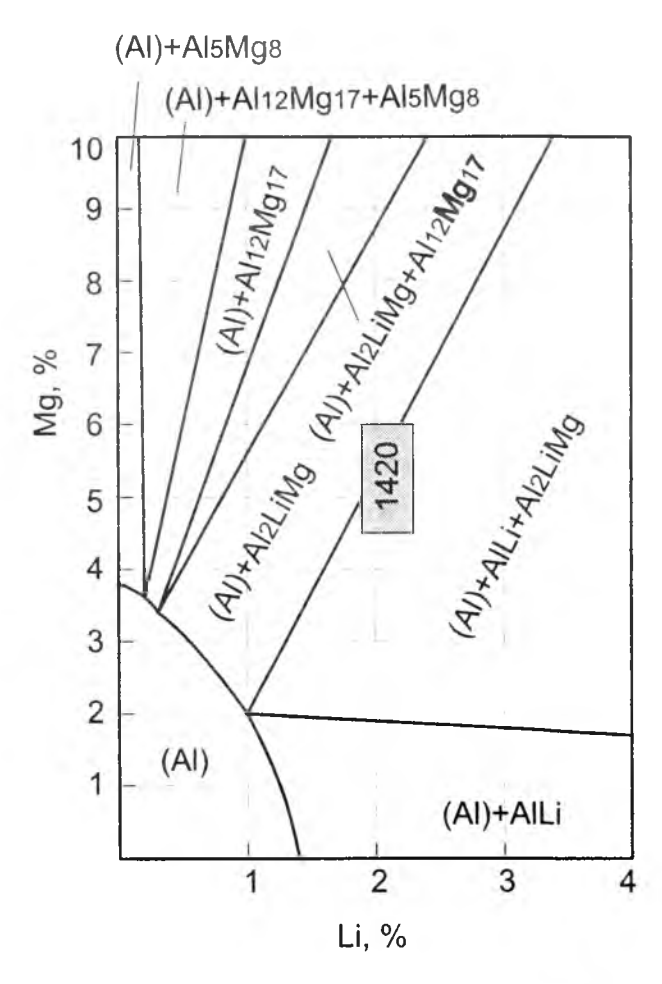


Рис. 2.10. Изотермическое сечение диаграммы состояния Al-Li-Mg при 500 °C

2.3. Порядок проведения работы

- 2.3.1. Просмотреть набор приготовленных шлифов деформируемых алюминиевых сплавов и определить фазы и структурные составляющие.
- 2.3.2. Используя атласы микроструктур и диаграмм состояния (в виде альбома или в электронной форме на компьютере), схематично зарисовать изученные структуры сплавов с указанием фаз и структурных составляющих.
- 2.3.3. По указанию преподавателя схематически изобразить изменение микроструктуры сплавов на различных технологических этапах.

2.4. Требования к отчету по работе

Отчет должен содержать:

- зарисовки всех изученных микроструктур деформируемых алю минневых сплавов с указанием увеличения (в виде маркера);
- указание под каждой микроструктурой марки сплава, среднего химического состава, состояния, показанные стрелками структурные составляющие;
- Зарисовки соответствующих микроструктурам диаграмм со стояния, необходимых для анализа структуры сплавов.

Литература

Золоторевский В.С., Белов Н.А. Металловедение цветных метал лов. Раздел: Алюминиевые сплавы. Металловедение, применение стандарты. М.: МИСиС, 2000.

Колачев Б.А., Ливанов В.А., Елагин В.И. Металловедение и терми ческая обработка цветных металлов и сплавов. М.: МИСиС, 1999.

Контрольные вопросы

- 1. Какие основные легирующие элементы в деформируемых алю миниевых сплавах?
 - 2. Что из себя представляют дисперсоиды?
 - 3. Для чего и в каком количестве в магналии вводят марганец?
 - 4. Какие основные легирующие элементы в сплаве В95?
- 5. При какой температуре можно проводить гомогенизацию слит ков сплавов типа Д16?
- 6. Что из себя представляют строчки в структуре деформирован ных полуфабрикатов?

- 7. Чем отличается абсорбционный контраст от деформационного?
- 8. Что такое пережог и как он отражается на микроструктуре?
- 9. Почему в прессованных полуфабрикатах легче сохранить нерекристаллизованную структуру по сравнению с коваными?
- 10. Как меняется структура алюминиевого твердого раствора при холодной деформации?
- 11. Что такое наклеп и как он отражается на механических свойнвах деформированных полуфабрикатов?
- 12. Какие структурные изменения проходят при нагреве под за-
- 13. Какие избыточные фазы в гомогенизированных слитках сплава АК4-1?
- 14. Чем отличается полигонизованная структура от рекристалли-зованной?
- 15. Как влияет температура прокатки на зеренную структуру закапенного сплава АК8?
 - 16. За счет чего достигается упрочнение в сплаве В95?
 - 17. Какие стадии старении можно ожидать в сплаве АД31?
- 18. Какие избыточные фазы кристаллизационного происхождения могут сохраниться в структуре деформированных полуфабрикатах сплава АМг6, приготовленного на алюминии А5?
- 19. Какие фазы могут присутствовать в деформированных полуфабрикатах сплава 1420 после закалки и старения?
- 20. В чем состоит особенность влияния скандия на структуру и свойства алюминиевых сплавов?

Лабораторная работа 3

МИКРОСТРУКТУРА МАГНИЕВЫХ СППАВОВ

(4 uaca)

3.1. Цель работы

Анализ микроструктур промышленных деформируемых и лите ных магниевых сплавов в различных состояниях.

3.2. Теоретическое введение

Магний - двухвалентный элемент, имеющий ГП решетку. Темп ратура плавления магния чистотой 99.99 % составляет 651 °C. Отл. чительное свойство магния - его невысокая плотность: 1,738 г/сг при 20 °C. В силу этого магний и его сплавы нашли широкое прим нение при получении деталей для самолето - и ракетостроени атомной энергетики и автомобилестроения.

Все промышленные магниевые сплавы в зависимости от их н значения делятся на две основные группы:

деформируемые, предназначенные для производства полуфарикатов различными методами обработки давлением:

- литейные, предназначенные для получения деталей методам фасонного литья.

В табл. 3.1 представлено влияние основных легирующих элеме тов и примесей на разные структурные параметры в промышленнь магниевых сплавах

Таблина г

Классификация легирующих элементов и примесей в промышленных магниевых сплавах по их влиянию на различные элементы структуры

Элементы структуры	Легирующие элементы и примеси*
Твердорастворное легирование (Mg) и образование фаз-упрочнителей при старении	Al, Cu, Si, Zn, Li, Nd
Образование нерастворимых (при отжиге) эвтектических фаз	Fe. Ni, Mn, Al, Si, Cu, Nd
Образование дисперсоидов в различных состояниях	H, Zr, Mn
*Один и гот же элемент может быть классио	рицирован по-разному в зависимости

Наиболее вредными примесями в деформируемых и литейных магниевых сплавах являются никель, железо и кремний. Содержание них примесей строго ограничивают, так как они снижают коррозиошую стойкость изделий.

Российские деформируемые и литейные магниевые сплавы маркируют соответственно буквами МА и МЛ. В других странах магниевые сплавы маркируются по-другому, например, в соответствии с имериканской маркировкой сплавы маркируются двумя заглавными оуквами:

AM – сплав содержит в качестве основных легирующих элементов алюминий и марганец;

AZ- сплав содержит в качестве основных легирующих элементов анноминий и цинк;

ZK — сплав содержит в качестве основных легирующих элементов цинк и цирконий (см. Приложение 3).

Деформируемые магниевые сплавы (ГОСТ 14957–76) в зависимости от свойств и природы влияния легирующих элементов делят на несколько групп:

- коррозионностойкие сплавы, легированные марганцем;
- сплавы средней и высокой прочности, легированные алюминисм, цинком и марганцем;
 - высокопрочные сплавы, легированные цинком и цирконием;
- жаропрочные сплавы, легированные редкими и редкоземельными металлами;
 - ультралегкие сплавы, легированные литием.

Полуфабрикаты из магниевых сплавов чаще всего получают горячей обработкой давлением, так как при комнатной температуре пластичность сплавов на основе магния (за исключением сплавов системы Mg-Li) мала.

Горячая деформация (прокатка, прессование, ковка), как правило, проводится при температурах 200...500 °C.

В качестве заготовок для горячей обработки давлением служат слитки, полученные полунепрерывным методом.

Гомогенизацию слитков деформируемых магниевых сплавов чаще всего совмещают с нагревом их под обработку давлением.

После горячего прессования полуфабрикаты из магниевых сплавов, не содержащих цирконий, имеют рекристаллизованную структуру.

В сплавах с цирконием почти всегда наблюдается характерная строчечность структуры, ориентированная вдоль направления де-

формации. При горячей прокатке формируется полосчатая структура Локализация деформации в узких полосах приводит к тому, что рек ристаллизация проходит только в полосах деформации, объем жиметалла между полосами остается нерекристаллизованным.

Деформированные полуфабрикаты из магниевых сплавов, не уп рочняемые термической обработкой, подвергают высокотемператур ному (рекристаллизационному) отжигу. Такой отжиг способствуе уменьшению различия в свойствах полуфабрикатов вдоль и поперен направления деформации.

Термически упрочняемые деформируемые магниевые сплавы по сле горячей обработки давлением подвергают закалке без старения часто с охлаждением на воздухе в струе теплого воздуха, или закалк с последующим старением.

Нагрев под закалку способствует частичному или полному рас творению избыточных фаз литейного происхождения, а также тех которые образуются при горячей деформации. Последующее охлаж дение полуфабриката при закалке формирует пересыщенный твер дый раствор, который затем распадается при старении.

Пересыщенные растворы на основе магния (кроме сплавов магни с редкоземельными металлами), как уже отмечалось, фиксируютс при небольших скоростях охлаждения. Поэтому такие сплавы зака ливают на воздухе или в струе сжатого воздуха, иногда в кипяще или горячей воде.

Литейные магниевые сплавы (ГОСТ 2856–79) подразделяют н следующие основные группы:

- сплавы средней и высокой прочности на базе системы Mg-Al-Zn;
- высокопрочные сплавы на базе систем Mg-Al-Zn;
- жаропрочные сплавы, легированные редкоземельными метал лами.

Структура литейных магниевых сплавов схожа со структуро слитков деформируемых сплавов.

В целом по структуре магниевые сплавы, как правило, близк сплаву X1 на рис. 1.1.

Сплавы системы Mg–Al–Zn. Фазовый состав литейных и де формируемых сплавов этой системы можно проанализировать помощью диаграммы состояния системы Mg–Al–Zn (рис. 3.1) составляющих ее двойных систем Mg–Zn (рис. 3.2) и Mg–A (рис. 3.3).

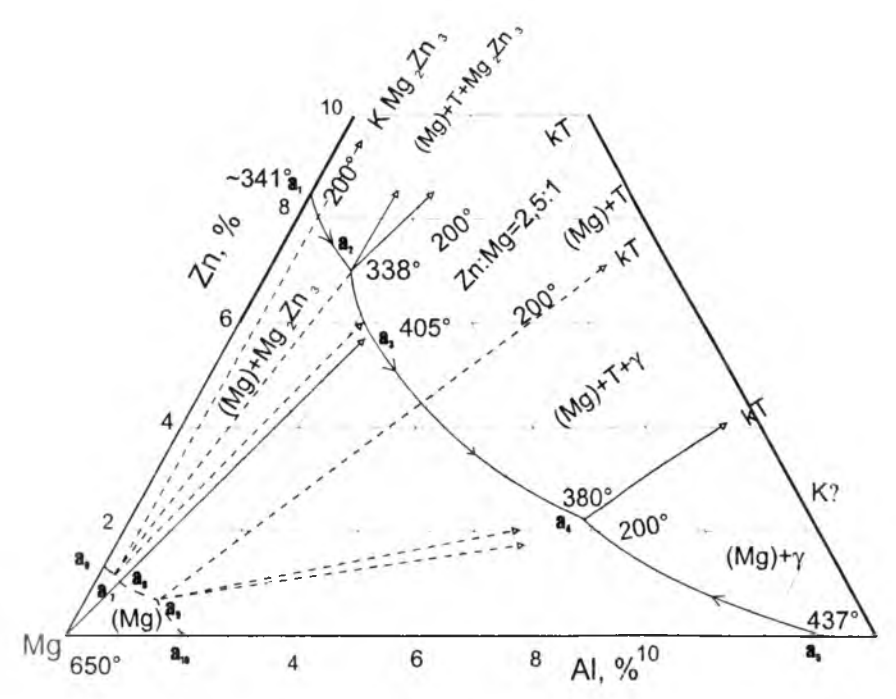


Рис. 3.1. Диаграмма состояния системы Mg-Al-Zn

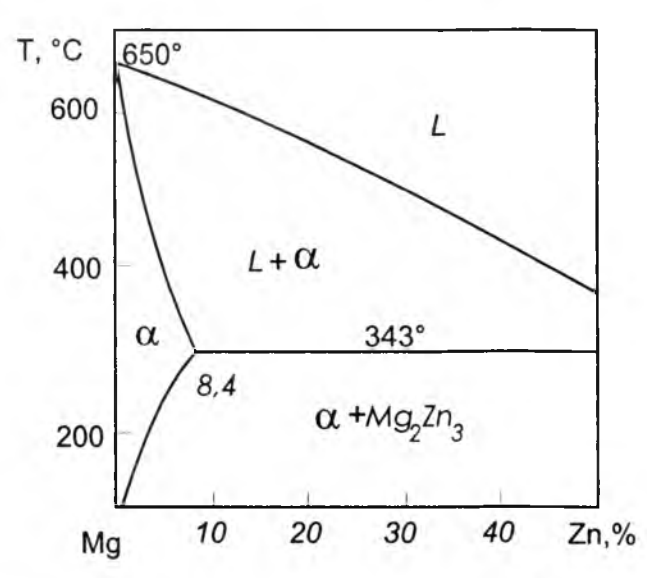


Рис. 3.2. Диаграмма состояния системы Mg-Zn

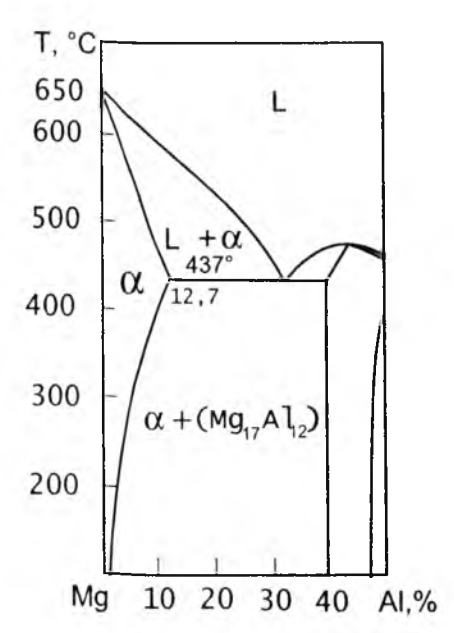


Рис. 3.3. Диаграмма состояния системы Mg-Al

В равновесии с (Mg) в системе Mg–Zn находится промежуточная фаза Mg_2Zn_3 , образующаяся по перитектической реакции $L+MgZn_2 \Rightarrow Mg_2Zn_3$ при температуре 410 °C. В свою очередь эта фаза совместно с (Mg) при температуре 341 °C участвует в эвтектическом равновесии $L \Leftrightarrow (Mg)+Mg_2Zn_3$ (см. рис. 3.2).

В системе Mg–Al ближайшей к магнию является конгруэнтно плавящаяся промежуточная γ -фаза переменного состава на основе интерметаллида γ (Mg₁₇Al₁₂). При температуре 437 °C эта фаза совместно с (Mg) участвует в эвтектическом равновесии L \Rightarrow (Mg)+ Mg₁₇Al₁₃. Максимальная растворимость алюминия в магнии при температуре эвтектики составляет 12,7 % и уменьшается при понижении температуры (см. рис. 3.3).

В трехкомпонентной системе Mg–Al–Zn, кроме перечисленных фаз. в равновесии с магниевым твердым раствором может присутствовать тройная фаза Т ($Al_2Zn_3Mg_3$), которая при температуре 380 °C участвует в эвтектическом равновесии $L\Longrightarrow (Mg)+Al_2Zn_3Mg_3+Mg_{17}Al_{12}$ (см рис. 3.1).

К сплавам системы Mg-Al-Zn могут быть отнесены:

- деформируемые (MA2, MA2-1 и MA2-1 пч, MA3 и MA5);
- литейные (МЛ5, МЛ4 и МЛ6).

Составы этих и других промышленных магниевых сплавов предывлены в Приложении 3.

Наиболее распространенным деформируемым сплавом настоящей системы является *силав MA2-1*. Он содержит 4,5 % Al, 1,2 % Zn и 0.5 % Mn. При получении слитков этого сплава полунепрерывным способом, в результате неравновесной кристаллизации его структура состоит из двух структурных составляющих: первичных кристаллов (Mg) и неравновесной двойной эвтектики $(Mg) + Mg_{17}Al_{12}$, которая в результате вырождения представлена выделениями фазы $Mg_{17}Al_{12}$ по границам дендритных ячеек магниевого твердого раствора.

При этом цинк в сплаве MA2-1 самостоятельной фазы не образует, частично входит в твердый раствор на базе магния, а частично растворен в соединении $Mg_{17}Al_{12}$, замещая в нем атомы магния и вноминия без нарушения стехиометричности. В результате более гочной формулой главной избыточной фазы γ в сплаве MA2-1 является $(Mg,Zn)_{17}(Al,Zn)_{12}$.

Марганец в сплаве MA2-1 частично входит в твердый раствор на оазе магния, а частично входит в состав алюминидов типа η (AlMn) и (AlMn). В алюминидах марганца растворена вся примесь железа с образованием фазы (Mn, Fe)Al. Таким образом, марганец предотвращает образование самостоятельных железосодержащих фаз, которые резко снижают коррозионную стойкость магниевых сплавов.Менее распространенные деформируемые сплавы системы Mg-Al-Zn (MA2, MA3 и MA5) имеют структуру, аналогичную сплаву MA2-1. Отличие состоит лишь в том, что в сплаве MA2, содержащем меньшее количество алюминия, чем у сплава MA2-1, в структуре будет присутствовать меньшее количество фазы γ (Mg₁₇Al₁₂). В сплавах MA3 и MA5, содержащих большее количество алюминия, фаза γ (Mg₁₇Al₁₂) будет присутствовать в большем количестве.

Сплавы MA2, MA2-1, MA2-1пч и MA3 не подвергают закалке и старению. После горячей обработки давлением в состоянии поставки структура полуфабрикатов из этих сплавов состоит из рекристаллизованных зерен (Mg) – раствора и остатков нерастворившихся при гемпературе горячей деформации частиц фазы (Mg,Zn)₁₇(Al,Zn)₁₂ и алюминидов марганца.

Более высокопрочный сплав MA5 обычно подвергают закалке, а в отдельных случаях закалке и последующему старению. При этом упрочнение достигается за счет выделения дисперсных выделений фазы ү.

В промышленных условиях сплав MA2 деформируют при температурах 275...400 °C. Из него изготовляют прессованные полуфабрикаты, поковки и штамповки. Сплав сваривается аргонно-дуговой и контактной сваркой, рекомендуется для длительной работы при 150 °C и кратковременной при 200 °C.

Сплавы MA2-1 и MA2-1пч подвергают горячей деформации. Из них получают все виды полуфабрикатов. Сплавы свариваются аргонно-дуговой сваркой.

Сплавы MA3 и MA5 подвергают горячей деформации. Из них получают все виды полуфабрикатов. Свариваемость сплавов понижена, они склонны к образованию трещин при сварке.

Самый широко используемый литейный магниевый сплав системы Mg-Al-Zn- *силав* MJ5 (8,5 % Al, 0,5 % Zn и 0,35 % Mn). Структура отливок этого сплава в значительной степени похожа на структуру слитков деформируемых сплавов этой системы (в особенности сплава MA5).

В результате неравновесной кристаллизации структура сплава МЛ5 состоит из двух структурных составляющих: первичных кристаллов (Mg) и неравновесной двойной эвтектики (Mg) + Mg $_{17}$ Al $_{12}$, которая в результате вырождения представлена выделениями фазы Mg $_{17}$ Al $_{12}$ (точнее (Mg,Zn) $_{17}$ (Al,Zn) $_{12}$.). Этот интерметаллид хорошо выделяется на светлом фоне магниевого твердого раствора в виде четко очерченных светлых включений по границам дендритных ячеек.

Марганец в сплаве МЛ5 частично входит в твердый раствор на базе магния, а частично — в состав алюминидов типа η (AlMn) и τ (AlMn). В алюминидах марганца, как уже отмечалось выше, растворена вся примесь железа. Таким образом, марганец предотвращает образование самостоятельных железосодержащих фаз, резко снижающих коррозионную стойкость магниевых сплавов.

При медленной кристаллизации в песчаной форме эти включения довольно крупные, извилистые и вытянуты по границам зерен. При быстрой кристаллизации в кокиле (металлической форме) они более мелкие и округлые. Вокруг включений интерметаллида эвтектического происхождения часто встречаются темные участки (Mg) твердого раствора, в которых при замедленном охлаждении в литейной форме, особенно в песчаной, успел произойти распад пересыщенного раствора с выделением интерметаллида Mg₁₇Al₁₂.

Сплав МЛ5 используют в состояниях после закалки с 420 °C и реже после закалки со старением. Благодаря высокой устойчивости

переохлажденного раствора сплав МЛ5 можно закаливать с охлаж-

При нагреве под закалку неравновесные фазы литейного происхождения переходят в твердый раствор, и после закалки структура сплава МЛ5 состоит из пересыщенного раствора алюминия и цинка в магнии. В отдельных случаях структура этого сплава может состоять из зерен (Mg) — раствора на базе магния и остатков нерастворившихся при нагреве под закалку частиц фазы (Mg,Zn)₁₇(Al,Zn)₁₂ и алюминидов марганца.

После закалки в воде границы зерен (Mg) – раствора очень трудно выявить. При этом после закалки на воздухе они выявляются травлением гораздо легче из-за того, что около них при медленном охлаждении частично успевает пройти распад раствора с выделением дисперсной фазы (Mg $_{17}$ Al $_{12}$).

Старение сплава МЛ5 после закалки проходит также с выделением дисперсного интерметаллида $Mg_{17}AI_{12}$. Распад пересыщенного раствора при этом начинается по границам зерен. При больших увеничениях видно, что выделения фазы $Mg_{17}AI_{12}$ имеют пластинчатую форму. С увеличением продолжительности старения распад охватывает все большую площадь шлифа.

Следует отметить, что магниевые сплавы нечасто подвергают старению. Связано это с тем, что в состаренном состоянии для многих сплавов характерна пониженная пластичность и слабое упрочнение в результате прерывистого распада раствора, идущего по границам зерен.

Силав МЛ6 (9,5 % Al, 0,8 % Zn и 0,35 % Mn) отличается от структуры сплава МЛ5 в литом состоянии только большим количеством фазы (Mg,Zn)₁₇(Al,Zn)₁₂. Связано это с тем, что он содержит до 10,2 % Al (см. Приложение 3, табл. 1).

В сплаве МЛ4 (6,0 % Al, 2,5 % Zn и 0,35 % Мп) наряду с фазой (Mg,Zn) $_{17}$ (Al,Zn) $_{12}$ в небольшом количестве может присутствовать гройная фаза Т (Al $_2$ Zn $_3$ Mg $_3$), что связано повышенной концентрацией цинка в этом сплаве (см. Приложение 3).

Сплавы МЛ4 и МЛ6 также относятся к числу термически упрочняемых. Отливки из них чаще подвергают закалке, а иногда закалке с последующим искусственным старением. Упрочнение при этом обеспечивается за счет выделения дисперсной фазы $(Mg,Zn)_{17}(A1,Zn)_{12}$. Механические свойства перечисленных сплавов представлены в табл. 3.1.

Механические свойства отливок силавов на базе системы Mg-Al-Zn, полученных различными способами литья, после закалки и старения

Способы литья*	Режим ТО	σ _b , ΜΠa	σ _{0.2} , ΜΠа	δ, %
3, O	T4	220		5
	Т6	230	-	2
3, O, K	T4	230	85	5
	Т6	230	_	2
3, O, K	T4	220	110	4
	Т6	220	140	1
	3, O, K	3, O T4 T6 3, O, K T4 T6 3, O, K T4	3, O T4 220 T6 230 3, O, K T4 230 T6 230 3, O, K T4 220	3, O T4 220 — T6 230 — 3, O, K T4 230 85 T6 230 — 3, O, K T4 220 110

Отличительной особенностью и несомненным недостатком литейных сплавов системы Mg-Al-Zn является склонность к образованию микрорыхлот, т.е. скоплению пор по границам зерен и дендритных ячеек (Mg)-твердого раствора. Принято считать, что микрорыхлоты имеют в основном усадочное происхождение, но это явление может усиливаться в случае выделения водорода во время кристаллизации.

Сплав МЛ4 характеризуется наивысшей склонностью к образованию микрорыхлот. Литейные свойства этого сплава невысоки, он склонен к образованию горячих трещин и из-за сильной усадки рекомендуется только для литья в песчаные формы. Сплав МЛ5, как уже отмечалось, является наиболее распространенным сплавом и используется для получения нагруженных деталей. Отливки из него получают литьем в землю и в оболочковые формы, а также в кокиль и под давлением. Сплав МЛ6— наиболее легированный сплав, имеет наилучшие литейные свойства, обладает более высокими упругими свойствами.

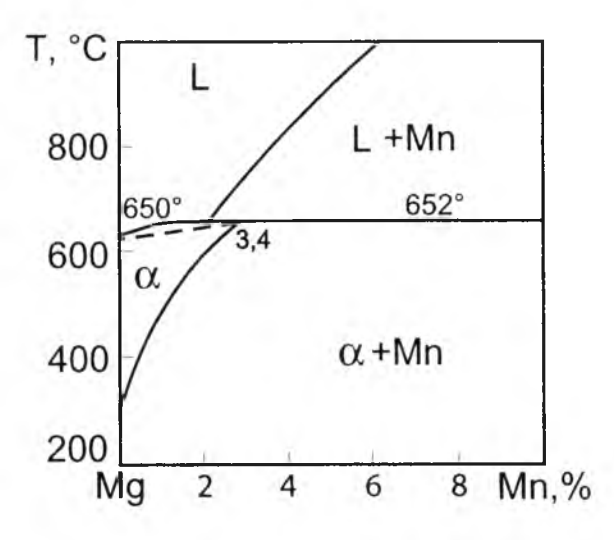


Рис. 3.4. Диаграмма состояния системы Mg--Mn

Церий образует в сплаве инконгруентно плавящуюся фазу Mg_9Ce постоянного состава, которая при температуре 614 °C участвует в перитектическом равновесии $L+Mg_3Ce \Rightarrow Mg_9Ce$. Кроме того, церий частично растворен в магнии.

При неравновесной кристаллизации структура слитков сплава MA8 состоит из малолегированного раствора на базе магния, граненых включений марганца и округлых включений Mg_9Ce , входящих в состав вырожденной эвтектики $(Mg)+(Mn)+Mg_9Ce$.

Сплав МА8 термической обработке не подвергают. В отожженном состоянии структура сплава состоит из рекристаллизованных верен раствора на базе магния, включений марганца и фазы Mg_9 Се. Дисперсные включения Mg_9 Се способствуют измельчению верна магниевого раствора, повышению прочности и пластичности.

Сплав МА8 предназначен для изготовления листовых деталей общивки внутреннего набора самолетов, плит и штамповок сложной конфигурации, профилей и труб для деталей топливной арматуры.

Сплав обладает высокими технологическими свойствами, хорошо прокатывается, прессуется и штампуется, имеет более высокие значения предела прочности и длительной прочности.

В табл. 3.2 сопоставлены механические свойства отливок сплава МЛ5 в закаленном состоянии и отожженных листов из сплавов MA2-1 и MA8.

Сплав	МЛ5	MA2-1	MA8
$σ_b$, ΜΠΑ	220	280	250
δ, %	5	12	16

Сплавы системы Мд-Zn-Zr

Кроме цинка и циркония сплавы настоящей системы содержат редкоземельные металлы и кадмий, а также серебро. Цинк и цирконий входят в раствор на базе магния, а также образуют соединения Mg_2Zn_3 . Сплавы этой группы отличаются высокими механическими свойствами. Это обусловлено упрочняющим действием цинка в сочетании с модифицирующим действием циркония.

При концентрациях Zr более 0,4...0,5 % из жидкости первично кристаллизуется твердый раствор на основе циркония (рис. 3.5). Выделение частиц циркониевого раствора способствует увеличению числа центров кристаллизации в расплаве и, следовательно, измельчению зерна основной фазы — магниевого твердого раствора. Выделение циркония способствует очистке магниевого расплава от вредной примеси — железа. Помимо этого цирконий связывает водород и тем самым препятствует развитию пористости и повышает коррозионную стойкость магниевых сплавов.

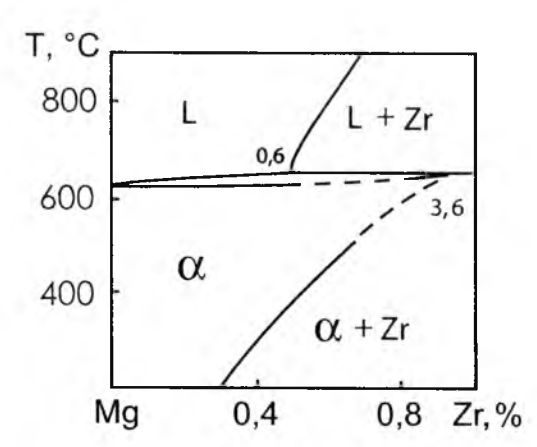


Рис. 3.5 Диаграмма состояния системы Mg-Zr

Редкоземельные металлы в результате образования химических соединений с магнием благоприятно влияют на механические свойства сплавов при повышенных температурах. В частности лантан способствует повышению жаропрочности, но при этом снижает

прочность и пластичность при комнатной температуре. Неодим повышает жаропрочность и пластичность сплавов.

Кадмий входит в твердый раствор на основе магния, и повышает механические и технологические свойства сплавов.

Серебро, входя в твердый раствор на основе магния, повышает прочность и пластичность сплавов.

К сплавам системы Mg-Zn-Zr могут быть отнесены:

деформируемые МА14, МА15, МА19 и МА20;

литейные МЛ8, МЛ12. МЛ15 и МЛ18. Составы этих промышленных магниевых сплавов представлены в Приложении 3.

Деформируемый *силав MA14* (5 % Zn и 0,6 % Zr) отличается самым высоким пределом текучести (300 MПа).

Структура сплава в литом состоянии содержит две основные структурные составляющие: раствор цинка и циркония в (Mg) и включения фазы Mg_2Zn_3 светло-коричневого цвета. Внутри (Mg) видны дисперсные вторичные выделения фазы Mg_2Zn_3 .

В отдельных местах шлифа можно увидеть хорошо ограненные кристаллы фазы Zn_2Zr_3 .

Сплав MA14 по химическому составу близок к литейному сплаву MЛ12 и поэтому в литом состоянии оба сплава имеют качественно апалогичную микроструктуру.

Сплав MA14 подвергают термической обработке по режиму Т1 (старение при 170 °С в течение 16 ч без предварительной закалки) после горячей обработки давлением. Закалка прессованных и штампованных полуфабрикатов из сплава MA14 с нерекристаллизованной структурой не дает положительных результатов, так как эффект разупрочнения при рекристаллизации в результате нагрева под закалку не компенсируется в достаточной степени упрочнением при послетующем искусственном старении.

В горячедеформированных и состаренных полуфабрикатах из сплава MA14 основными структурными составляющими являются рекристаллизованные зерна раствора цинка и циркония в магнии и не растворившиеся при нагреве под горячую деформацию частицы фазы Mg_2Zn_3 .

Из сплава МА14 изготавливают прессованные и кованые полуфабрикаты. Детали из этого сплава могут работать длительно при температурах до 120 °C, кратковременно — до 200 °C.

Недостатком сплава является его неудовлетворительная свариваемость и склонность к образованию трещин в процессе горячей деформации.

Сплав MA20 относится к сплавам средней прочности, кроме цин ка и циркония он содержит церий. Из-за высокой пластичности хо рошо прокатывается методом рулонной прокатки. Из него получаю любые полуфабрикаты, в том числе штамповкой детали сложног формы; хорошо сваривается; обладает хорошей коррозионной стой костью.

Сплав МА15 содержит кадмий, а также лантан, который повыша ет прочностные свойства и свариваемость. Из него получают все ви ды полуфабрикатов.

Сплав МА19 самый прочный сплав. Дополнительно содержи кадмий и неодим. Из него изготовляют прессованные полуфабрика ты, поковки и штамповки. Сплав отличается плохой свариваемосты при аргонно-дуговой сварке и хорошей при контактной роликовой гочечной сварке.

Литейный *силав МЛ12* (4,5 % Zn и 0,8 % Zr) относится к групп высокопрочных литейных сплавов. Как уже отмечалось, структур этого сплава в литом состоянии аналогична сплаву MA14 и содержи две основные структурные составляющие (Mg) и Mg_2Zn_3 . Кроме того в структуре могут присутствовать ограненные кристаллы фазы Zn_2Zr_3 .

Отливки из сплава МЛ12 используют в состоянии Т1 (старени после литья при 300 °C в течение 6 ч). Фазовый состав сплава в про цессе старения не изменяется, происходит лишь дополнительное вы деление фазы Mg₂Zn₃ в виде дисперсных частиц. Причем процес распада (Mg) твердого раствора начинается, прежде всего, у грани зерен, а также на дислокациях в зонах, обогащенных цинком и цир конием.

При повышении температуры старения до $350...400\,^{\circ}\mathrm{C}$ происходи огрубление продуктов распада твердого раствора. В результате прочность сплава при комнатной температуре значительно снижается.

Сплав МЛ12 обладает удовлетворительными литейными свойст вами, позволяющими применять его для литья крупных сложных от ливок в песчаные формы и кокиль. Сплав имеет высокие механиче ские свойства как в литом ($\sigma_b = 220$, $\sigma_{0,2} = 120$ МПа), так и состарен ном состоянии ($\sigma_b = 250$, $\sigma_{0,2} = 150$ МПа). Благодаря легированиь цирконием отличается повышенной жаропрочностью.

Сплав применяют для получения отливок прочных и герметичны: деталей, работающих в условиях динамических нагрузок. К недостаткам сплава МЛ12 можно отнести плохую сваривае

К недостаткам сплава МЛ12 можно отнести плохую сваривае мость и склонность к образованию трещин кристаллизационного происхождения.

Сплав МЛ8 относится к системе Mg–Zn–Zr–Cd (6 % Zn, 0,9 % Zr, 0.5 % Cd). Высокое содержание цинка и дополнительное легирование кадмием позволяет значительно повысить механические (σ_b = 290 МПа) и улучшить технологические свойства сплава. Введение кадмия, растворяющегося в магниевом твердом растворе, не изменяет фазового состава сплава, и его структура аналогична структуре сплава МЛ12.

Сплав МЛ8 подвергают термообработке по режиму Т6 (закалка с $190\,^{\circ}$ C, охлаждение сжатым воздухом и старение при $165\,^{\circ}$ C, $24\,^{\circ}$ 4) или по режиму Т61 (закалка с $490\,^{\circ}$ C, охлаждение в горячей воде $90\,^{\circ}$ C, старение $165\,^{\circ}$ C, $24\,^{\circ}$ 1).

При нагреве под закалку избыточные фазы переходят в (Mg) – раствор, и после закалки сплав МЛ8 содержит одну фазу – пересыщенный твердый раствор всех легирующих элементов в магнии.

В процессе закалки на воздухе в отливках сплава происходит частичный распад (Mg) — раствора с выделением дисперсных частиц фазы Mg_2Zn_3 около границ зерен. В результате такие границы зерен выявляются на шлифе лучше, чем после закалки в воде. Прочностные характеристики сплава после старения в значительной степени зависят от скорости охлаждения при предшествующей закалке. Максимальные свойства у сплава достигаются в результате старения после закалки в воде.

Сплав МЛ8 в состоянии Т61 обладает высокими механическими свойствами, особенно пределом текучести ($\sigma_{0,2}$ = 205 МПа). Он превосходит сплав МЛ5 по временному сопротивлению на 25 % и по пределу текучести в 2 раза.

Высокие механические свойства сплава МЛ8 позволяют получать из него отливки сложной формы ответственного назначения: кронштейны, фермы, детали приборов и аппаратов, требующих высокой усталостной прочности. Рабочие температуры — до $150~^{\circ}$ С, при кратковременной эксплуатации — до $200~^{\circ}$ С. Предел ползучести сплава МЛ8 составляет $\sigma^{150}_{-0.2100} = 45~\text{МПа}$, предел выносливости $\sigma_{-1} = 75~\text{МПа}$.

Сплав МЛ15 (4,5 % Zn, 0,8 % Zr и 1 % La). Лантан способствует повышению литейных свойств за счет увеличения количества эвтектики, повышает жаропрочность, улучшает свариваемость, уменьшает склонность к образованию микрорыхлот и горячих трещин.

В литом состоянии структура сплава МЛ15 состоит из твердого раствора цинка, циркония и лантана в (Mg) и промежуточной фазы на основе соединения Mg₃La, выделяющейся по границам зерен и

дендритных ячеек. Кроме того, сплав может содержать промежуточные фазы, образованные цинком и цирконием (Zn_2Zr_3 , ZnZr).

Сплав термически упрочняется по режиму T1 (старение при $300\,^{\circ}\mathrm{C}$ в течение 6 ч.). Структура сплава в термообработанном состоянии аналогична структуре сплава после литья.

Сплав МЛ15 обладает хорошими литейными свойствами. Он пригоден для получения сложных крупногабаритных и каркасных отливок, детали из которых могут работать под высоким внутренним давлением. Отличается повышенной герметичностью и хорошей свариваемостью. Обладает наиболее высокими жаропрочными свойствами среди всех высокопрочных сплавов. Рабочие температуры — до 200 °C (кратковременно до 300...350 °C).

Сплав МЛ18 (7,5 % Zn;0,9 % Zr; 0,7 % Cd; 1,3 % Ag) отличается хорошими литейными и высокими прочностными свойствами.

Жаропрочные магниевые сплавы, легированные P3M

Чаще всего основным легирующим элементом в этих сплавах является неодим. Для легирования сплавов применяют также иттрий, цинк, индий и другие металлы. Кроме того, все жаропрочные сплавы содержат в своем составе цирконий, благодаря которому отливки имеют однородную мелкозернистую структуру, обеспечивающую высокие и однородные механические свойства. Цирконий оказывает также рафинирующее действие, очищая сплавы от вредных примесей.

Дополнительно редкоземельные металлы снижают окисляемость магниевых сплавов в жидком и твердом состояниях.

Согласно теоретическим положениям, разработанным А.А. Бочваром, высокую жаропрочность магниевых сплавов, содержащих РЗМ обеспечивают:

- 1) создание сложнолегированного термически стабильного твердого раствора; именно введение трехвалентных РЗМ элементов и иттрия приводит к повышению сил межатомной связи в (Mg);
- 2) создание гетерогенной дисперсной структуры в процессе старения за счет выделения фазы $Mg_9Nd;$
- 3) повышение термической стабильности и температуры коагуляции упрочняющих фаз;
- 4) укрепление границ зерен, что достигается образованием тонкого каркаса частиц фаз, блокирующих границы зерен.

К сплавам настоящей системы могут быть отнесены:

деформируемые МА11 и МА12;

литейные МЛ9, МЛ10 и МЛ19. Составы этих промышленных магниевых сплавов представлены в Приложении 3.

Сплав MA11 (3 % Nd) дополнительно легирован марганцем и никелем и при этом не содержит цирконий. Из-за присутствия никеля коррозионная стойкость сплава MA11 крайне низка и поэтому он не нашел широкого применения.

Сплав MA12 (3 % Nd и 0,5 % Zr) в литом состоянии состоит из зерен (Mg) и включений соединения Mg₉Nd (рис. 3.6), в виде сетки по границам зерен. Эта сетка из тугоплавкого соединения Mg₉Nd образует жесткий каркас, затрудняющий прохождение пластической деформации в сплаве при повышенных температурах. Именно благодаря этому обеспечивается высокая жаропрочность сплава в литом состоянии.

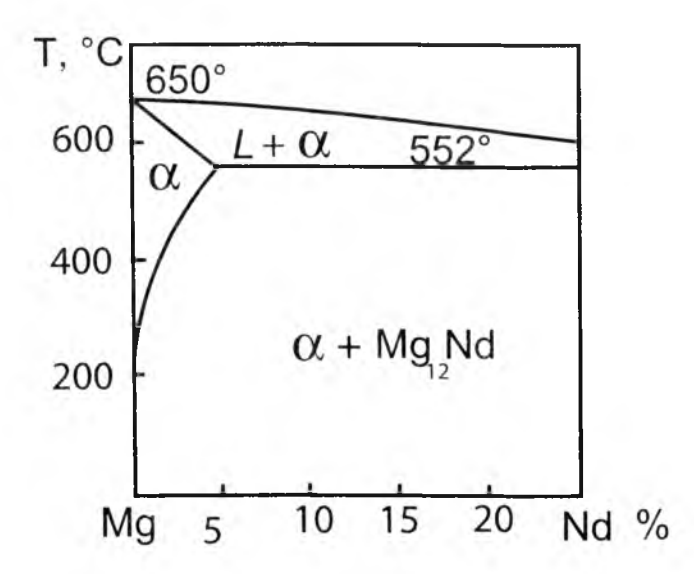


Рис. 3.6. Диаграмма состояния системы Mg-Nd

При обработке давлением сетка из соединения Mg_9Nd дробится, и включения этой фазы выстраиваются вдоль направления деформации, в результате чего образуется строчечная структура.

Сплав МА12 относится к термически упрочняемым сплавам. Его подвергают закалке с последующим старением по режиму Т6 (закал-ка с 530 °C, охлаждение в горячей воде и старение при 200 °C в течение 16 ч).

При нагреве под закалку избыточные фазы переходят в твердый раствор, поэтому строчечная структура после термообработки или полностью исчезает, или остается слабо выраженной. В процессе старения происходит выделение дисперсных частиц тугоплавкой фазы Mg_9Nd . Благодаря этому затрудняется пластическая деформация сплава как при комнатной, так и при более высоких температурах, повышаются механические свойства, в том числе пределы длительной прочности и ползучести.

Дополнительное упрочнение сплава в результате резкого измельчения зерна объясняется образованием гидридов циркония, которые из-за большой дисперсности не видны при обычном металлографическом анализе.

Из сплава MA12 изготавливают листы, прессованные полуфабрикаты, поковки и штамповки для сварных конструкций, долгое время работающих при температурах до $200\,^{\circ}$ C.

Литейный *сплав МЛ10* (2,4 % Nd, 0,4 % Zn, 0,5 % Zr). Добавка цинка (до 0,7 %) введена для повышения эффективности термической обработки, в результате существенно увеличиваются предел текучести и сопротивление ползучести сплава. В соответствии с диаграммой состояния системы Mg–Nd–Zr, цинк растворяется в твердом растворе на основе магния и в промежуточной фазе (Mg,Zn) $_{12}$ Nd. Имеются также данные о возможности образования небольшого количества тройной промежуточной фазы X (MgNd $_{4}$ Zn $_{5}$) овтектического происхождения.

В литом состоянии структура сплава МЛ10 состоит из зерен твердого раствора неодима, цинка и циркония в магнии и вырожденной овтектики по границам зерен в виде частиц фазы (Mg,Zn)₁₂Nd. Внутри зерен твердого раствора располагаются зоны, обогащенные цирконием. В них выделяются частицы гидрида циркония, цирконида цинка и соединений циркония с примесями, содержащимися в сплаве, такими как алюминий, железо и кремний.

Сплав МЛ10 применяют в состоянии T6 (закалка с 540 °C на воздухе и старение при 200 °C, 12...18 ч).

В результате гомогенизации сплава, проходящей при нагреве под закалку фаза (Mg. Zn)₁₂Nd почти полностью растворяется, неодим и цинк переходят в твердый раствор. В закаленном состоянии сплав состоит только из пересыщенного твердого раствора на основе магния. Для предотвращения распада твердого раствора во время закалки сплав МЛ10 закаливают путем охлаждением отливок сжатым воздухом. Структура состаренного сплава МЛ10 в световом микроскопе

пз-за высокой дисперсности продуктов распада (Mg) практически пеотличима от структуры сплава в закаленном состоянии.

Сплав МЛ10 обладает хорошими литейными свойствами, высокими механическими свойствами при комнатной и повышенной температурах, высокой термической стабильностью, а также хорошей коррозионной стойкостью. Из него получают отливки деталей нагруженных двигателей, самолетов, различных корпусных деталей. Рабочие температуры – до 250 °C, при кратковременной эксплуатации – до 350 °C.

Сплав МЛ9 (2,2 % Nd, 0,7 % Zr и 0,5 % In). По фазовому составу он близок к сплаву МЛ10. Индий самостоятельной фазы не образует находится в твердом растворе на основе магния, способствуя его дополнительной стабилизации при длительных выдержках до 300 °C.

В литом состоянии сплав МЛ9 содержит: твердый раствор неодима, пиркония и индия в магнии и вырожденную эвтектику, проявляющуюся в виде выделений фазы Mg₉Nd по границам дендритных ячеек. Кроме того, возможно наличие в структуре частиц цирконий содержащих фаз. После термической обработки Т6 (закалка с 540 °C, обдувка сжаным воздухом и старение при 200 °C, 6...12 ч) структура сплава состоят из (Mg) дисперсных выделений упрочняющей фазы Mg₉Nd.

Сплав МЛ9, так же как и сплав МЛ10, имеет хорошие литейные и механические свойства. Он обладает наибольшей жаропрочностью среди сплавов этой группы и пригоден для длительной эксплуатации при температурах до 300 °C.

Ультралегкие деформируемые магиневые сплавы на базе системы Mg-Li

Магний – литиевые сплавы являются одними из самых легких конструкционных металлических материалов. В зависимости от содержания лития и структуры эти сплавы подразделяют на три группы:

- 1. Сплавы (≤ 5,7 % Li) на основе α-твердого раствора лития в магнии с ГП решеткой. Имеют прочностные свойства на уровне стандартных деформируемых сплавов (плотность на 5...10 % ниже).
- 2. Сплавы (5,7...10,3 % Li) имеющие двухфазную (α + β)-структуру. С ростом концентрации лития возрастает пластичность, но падает прочность.
- 3. Сплавы (> 10,3 % Li) на основе β-твердого раствора магния в литии с ОЦК решеткой. Самые легкие конструкционные сплавы.

К сплавам настоящей системы могут быть отнесены сплавы ИВМ1 (α -сплав), МА21 (α + β -сплав) и МА18(β -сплав). Составы этих магниевых сплавов приведены в Приложении 3.

Наиболее легкими и перспективными считаются сплавы MA21 и MA18.

Сплав MA21 (8,5 % Li, 5 % Al, 4 % Cd, 1,5 % Zn, 0,5 % Mn). Основными фазами в сплаве являются: α -твердый раствор на основе магния и β -твердый раствор на основе лития. Добавка кадмия самостоятельной фазы не образует, он полностью входит в (Mg). Небольшая добавка цинка входит в (Mg), а также растворяется в соединении AlLi. Марганец частично входит в (Mg) и частично расходуется на образование фазы MnAl.

В литом состоянии сплав MA21 содержит чередующиеся светлые области α -твердого раствора лития в магнии и темные — β -твердого раствора магния в литии (рис. 3.7). Присутствуют также два типа выделений соединения (Al,Zn)Li. Пластичная форма (Al,Zn)Li наблюдается в зернах α -фазы, а округлые мелкие частицы этого же соединения равномерно распределены в β -фазе. Кроме того, в структуре присутствуют включения фазы MnA1.

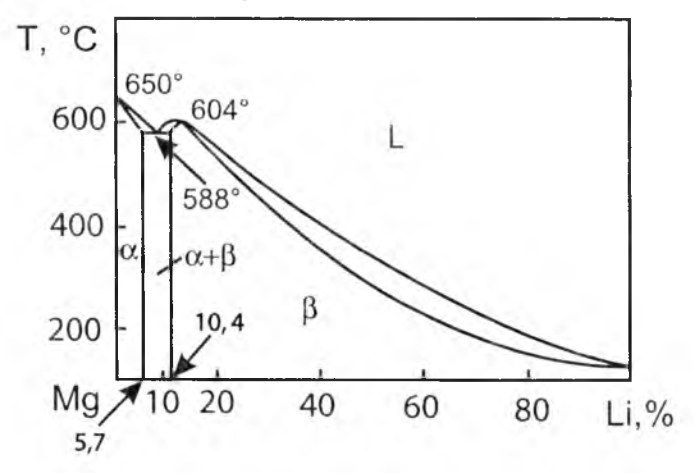


Рис. 3.7. Диаграмма состояния системы Mg Li

Сплав MA21 подвергают холодной и горячей деформации. После обработки давлением структура сплава MA21 состоит из вытянутых зерен α и β твердых растворов и дисперсных выделений фазы (Al,Zn)Li.

Сплав MA21 подвергают термической обработке по режиму T1 (старение при температуре 150...170 °C в течение 6...16 ч). При этом

в сх-фазе, содержащей алюминий, могут встречаться два типа распада с выделением стабильной фазы (Al,Zn)Li — непрерывный и прерывистый распад.

Сплав MA21 отличается высокими прочностными характеристиками ($\sigma_b = 200...280$ МПа) и высокой коррозионной стойкостью. Он предназначен для средненагруженных конструкций, работающих при температурах до 100^{0} С.

Сплав MA18 (11 % Li, 2,5 % Zn, 0,5 % Al, 0,25 % Ce, 0,25 % Mn).

Алюминий в этом сплаве, в виду малого его количества, входит в раствор на основе лития (β -фаза) и раствор на основе магния (Mg), а также образует с литием соединение AlLi. Цинк в сплаве MA18 самостоятельной фазы не образует. Он частично входит в твердый α -раствор и в твердый β -раствор, и частично растворен в соединении (Al,Zn)Li.

Небольшие добавки церия и марганца образуют тройную промежуточную фазу Al_{10} Ce_2Mn_7 эвтектического происхождения, а также входят в твердый раствор на базе магния. Кроме того, марганец в сплаве MA18 образует фазу MnAl, в которой растворена вся примесь железа.

В литом состоянии сплав MA18 содержит следующие структурные составляющие: первичные кристаллы β -растворы магния, цинка палюминия в литии и небольшое количество α -фазы, выделяющейся в основном по границам зерен β -фазы. По границам и внутри зерен β -фазы выделяются округлые дисперсные частицы соединения (A1,Zn)Li. Кроме этого, возможно наличие небольшого количества включений MnA1 в виде четко очерченных сероватых включений, перавномерно распределенных по телу и границам β -зерен и включений A1 $_{10}$ Ce $_{2}$ Mn $_{7}$ также по границам зерен β -раствора.

Сплав MA18, так же как и сплав MA21 подвергается горячей и холодной деформации. Температура горячей деформации сплава MA18 значительно ниже ($150...300\,^{\circ}$ C), чем для других деформируемых магниевых сплавов.

В деформированном состоянии сплав обладает частично или полностью рекристаллизованной структурой со строчечными выделениями избыточных фаз. После горячего прессования структура полностью рекристаллизована.

Сплав MA18 применяют в состоянии T1 (старение при 150 °C в течение 16 ч без предварительной закалки). В процессе старения наблюдается интенсивный распад пересыщенного твердого β-раствора

с выделением частиц стабильной фазы (Al,Zn)Li. Сплав MA18 является сверхлегким конструкционным сплавом, обладающим высокой пластичностью, технологичностью при обработке давлением, достаточной прочностью ($\sigma_b = 150...220$ МПа), коррозионной стойкостью. Он может применяться для малонагруженных конструкций, работающих при нормальных и криогенных температурах.

3.3. Порядок проведения работы

- 3.3.1. Проанализировать шлифы магниевых сплавов в различных состояниях после травления (табл. 3.3).
- 3.3.2. Определить структурные составляющие и схематично зарисовать микроструктуру.
- 3.3.3. Проанализировать структуру металлографических шлифов и объяснить причины формирования той или иной структуры.

Таблица 3.3 Состав травителей для выявления микроструктуры магниевых сплавов

Сплав	Полуфабрикат	Состояние	Состав реактива
MA2-1	Слиток	Литое,	10 %-нос HNO ₃ в спир-
		гомогенизированное	те, промывка в воде
MA5	Слиток	Литое.	То же
		гомогенизированное	
MA5	Пруток	Закалка + старение	1-2 %-ное HNO ₃ в спир-
			те, промывка в воде
MA14	Слиток	Лигое,	1-2 %-ное HNO ₃ в спир-
		гомогенизированное	те, промывка в воде
	Пруток, плита	Все виды	Пересыщенный раствор
		термообработки	пикриновой кислоты в
			10 %-ным растворе ук-
			сусной кислоты в спир-
			те, промывка в воде
MA8	Слиток,	Литое,	2 %-ная HNO ₃ в бутило-
	профиль	гомогенизированное,	вом или гидролизном
***		после термообработки	спирте, промывка в воде
MA18**)	Слиток,	Литое,	2–5 %-ная HNO ₃ в эти-
	профиль	гомогенизированное,	ловом спирте
		все виды термообра-	
		богки	
MA21	Слиток,	Литое,	0,5-1 %-ная HNO ₃ в
	профиль	гомогенизированное,	этиловом спирте, 25 %-
		все виды термообра-	ная Н ₃ РО ₄ в этиловом
		ботки	спирте

Сплав	Полуфабрикат	Состояние	Состав реактива
МЛ 9 и	Отливка	Литое и после Т6	0,5 1 %-ная НОО3 в
МЛ10			этиловом спирте
МЛ5 и	Отливка	Литое и после Т6	75 % этиленгликоль
МЛ8			+ 1 %-ная HNO;
			- 24 % дистиллирован-
			ная вода
МЛ5,	Отливка	Состояние Т4 и Т61	6 % этиленгликоль
МЛ5пч и			- 20 %-ная уксусная
МЛ10			кислота + 1 %-ная НОО3
			19 % дистиллирован-
			ная вода

^{*} Травитель наносить на поверхность шлифа в течение 3...60 с, промывать в спирте или горячей воде, высушивать на воздухе.

3.4. Требования к отчету по работе

Отчет должен содержать:

- зарисовки структур литейных и деформируемых магниевых сплавов.
- указание под каждой микроструктурой марки сплава, среднего чимического состава, состояния сплава, увеличение микроскопа; показанные стрелками структурные составляющие.
- зарисовки соответствующих микроструктурам диаграмм состояния, необходимых для анализа структурных составляющих.

Литература

Колачев Б.А., Ливанов В.А., Елагин В.И. Металловедение и термическая обработка цветных металлов и сплавов. М.: Металлургия, 1999. Гл. 2

Контрольные вопросы

- 1. Каковы основные группы магниевых сплавов?
- 2. К какой системе относится высокопрочные литейные сплавы?
- 3. Почему полуфабрикаты из магниевых сплавов получают горячей деформацией?
 - 4. Для какой цели вводят в магниевые сплавы цирконий?

Для сплавов MA18 и MA21 — структура может быть выявлена без травления из-за окисления межфазных границ и зерен свежеприготовленного шлифа на возлухе, однако для получения более четкой структуры необходимо пользоваться травителями.

- 5. К какой системе относят высокопрочные деформируемые Mgсплавы? Приведите пример высокопрочного сплава.
- 6. К какой системе относятся жаропрочные деформируемые магниевые сплавы? Приведите пример жаропрочного сплава.
 - 7. Какую структуру имеет сплав МЛ12 в литом состоянии?
 - 8. Каков средний состав сплавов МЛ12, МЛ8, МЛ15?
 - 9. Какова основная фаза упрочнитель в сплаве МА14?
- 10. Какому виду термической обработки подвергают сплавы MA12 и MЛ8?
 - 11. Какова структура сплава МЛ8 в литом состоянии?
 - 12. Где применяются отливки из сплава МЛ8?
- 13. Какой сплав на базе системы Mg–Li имеет структуру β -твердого раствора ?
 - 14. Какую структуру имеет сплав МА21 в литом состоянии?
- 15. По какому режиму проводят термическую обработку сплава МЛ12?
 - 16. С какой целью в сплав МЛ15 вводят лантан?
 - 17. Какова основная фаза упрочнитель в сплаве МЛ15?
- 18. К какой системе относятся жаропрочные литейные магниевыє сплавы?
- 19. Какой высокопрочный литейный магниевый сплав обладает наиболее высокими жаропрочными свойствами?
 - 20. Какую структуру имеет сплав МЛ10 в литом состоянии?
- 21. С какой целью в деформируемые магниевые сплавы вводят неодим?

Лабораторная работа 4

МИКРОСТРУКТУРА ТИТАНОВЫХ СПЛАВОВ

(4 yaca)

4.1. Цель работы

Анализ структуры промышленных титановых сплавов.

4.2. Теоретическое введение

Титан — четырехвалентный элемент, полиморфный металл, атомный номер 22. Температура плавления 1668 °С, плотность 4.505 г/см³. При температурах до 882,5 °С устойчива низкотемпературная α-модификация титана с ГП решеткой, при более высоких гемпературах вплоть до плавления существует высокотемпературная β-модификация с ОЦК решеткой.

Титановые сплавы (ГОСТ 19807–91) отличаются низкой плотностью, высокой абсолютной и удельной прочностью и коррозионной стойкостью в морской воде и многих других агрессивных средах. Рабочие температуры титановых сплавов находятся в интервале температур от криогенных (–196 °С и ниже) до 450...500 °С, а у отдельных сплавов достигают 600...650 °С. Титановые сплавы нашли широкое применение в авиационной и ракетной технике, судостроении, минической, медицинской и других областях промышленности.

Классификация легирующих элементов и примесей

В зависимости от влияния на температуру полиморфного превращения легирующие элементы и примеси в титановых сплавах разделяются на три группы (рис. 4.1):

- 1. *а***-стабилизаторы**, т.е. элементы, повышающие температуру $\alpha \rightarrow \beta$ превращения. К ним относятся Al, Ga, In, C, O, N (см. рис. 4.1,*a*). Углерод, кислород и азот образуют в титане твердые растворы внедрения и являются вредными примесями.
- 2. **\beta**-стабилизаторы, т.е. элементы, понижающие температуру $\alpha \rightarrow \beta$ превращения (см. рис. 4.1,6–г). Эти элементы можно подразделить на три подгруппы:

- **эвтектоидообразующие Встабилизаторы.** К их числу относятся Si, Cr, Mn, Fe, Cu, Ni, Co, а также водород наиболее вредная примесь внедрения в титановых сплавах: в сплавах титана с этими элементами при достаточно низкой температуре происходит эвтектоидный распад β -фазы по реакции $\beta \Longrightarrow \alpha + \gamma$ (см. рис. 4.1, ϵ); в результате такой реакции возможно образование промежуточных фаз Ti_5Si_3 , NiCr₂, TiMn, TiFe и др.;
- изоморфные β -стабилизаторы. К ним относятся V, Nb. Та и Мо; в сплавах титана с этими элементами β -твердый раствор сохраняется до комнатной температуры, не претерпевая эвтектоидного распада (см. рис. 4.1,6); к числу изоморфных β -стабилизаторов следует также отнести вольфрам (см. рис. 4.1,2). Хотя в системе Ti W и наблюдается монотектоидное равновесие $\beta_1 \Rightarrow \alpha + \beta_2$, но при всех температурах ниже 882,5 °C и до комнатной в равновесии находятся α и β -растворы, к тому же вольфрам с β -титаном также образуют непрерывный ряд твердых β -растворов;

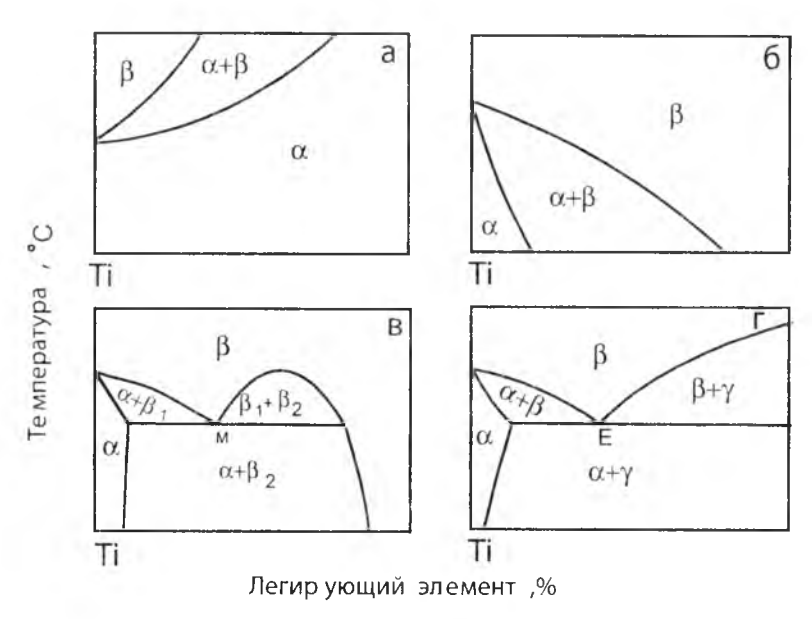


Рис. 4.1. Влияние легирующих элементов и примесей на температуру полиморфного превращения $\alpha \rightarrow \beta$ в титане

казиизоморфные **\beta**-стабилизаторы. К ним относятся Re, Ru, Rh, Os и Ir; в сплавах титана с этими элементами β -твердый раствор

также сохраняется до комнатной температуры, не претерпевая эвтектоидного распада, но непрерывных рядов твердых растворов в верхней части соответствующих диаграмм состояния эти элементы не образуют.

3. **Нейтральные упрочнители**, т.е. элементы, мало влияющие на температуру полиморфного превращения в титане, но заметно его прочняющие. К ним относятся Sn, Zr, Ge, Hf и Th.

Алюминий важнейший легирующий элемент в титановых сплавах, стабилизирует α -фазу и присутствует в подавляющем большинстве промышленных титановых сплавах в количестве от 1,5...2 до 6...6,5%. При более высоком содержании алюминия возможно образование промежуточной фазы $\alpha_2(\mathrm{Ti}_3\mathrm{Al})$, которая их охрупчивает (рпс. 4.2). Алюминий эффективно упрочняет α -титан при компатной повышенной температурах, снижает плотность титановых сплавов повышает их сопротивление окислению.

Примеси C, N, O_2 и H снижают пластичность и вязкость титана и питановых сплавов, поэтому их содержание ограничивают (до 0.15...0.2% O, 0.1% C, 0.05% N и 0.015% H).

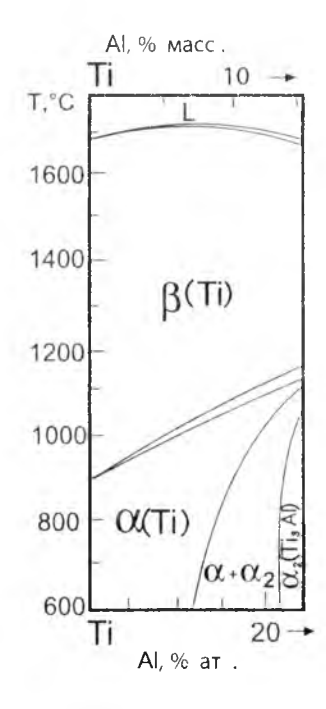


Рис. 4.2. Диаграмма состояния системы Ti-Al

Мартенситное превращение и метастабильные фазы в титановых сплавах

При медленном охлаждении из β -области полиморфное превращение $\beta \Rightarrow \alpha$ в титане и титановых сплавов происходит путем образования и роста зародышей α -фазы, т.е. диффузионным путем.

При быстром охлаждении, в процессе закалки превращение $\beta \!\! \Rightarrow \!\! \alpha$ протекает по *мартенситному механизму*.

В чистом титане, даже при высоких скоростях охлаждения, превращение $\beta \!\! \Rightarrow \!\! \alpha$ подавить не удается, и оно всегда доходит до конца. В отличие от титана превращение $\beta \!\! \Rightarrow \!\! \alpha$ в титановых сплавах протекает в интервале температур. При скоростях охлаждения, превышающих некоторую критическую скорость, высокотемпературная β -фаза претерпевает мартенситное превращение, которое протекает в интервале температур $M_{\scriptscriptstyle H}-M_{\scriptscriptstyle K}$.

Процессы, проходящие в промышленных титановых сплавах, легированных эвтектондообразующими β -стабилизаторами можно анализировать на базе гипотетических диаграмм состояния системы Ti–Me, где Me — изоморфные (рис. 4.3,a) и эвтектоидообразующие β -стабилизаторы (рис. 4.3, \bar{o}).

На эти диаграммы сплошными линиями нанесены кривые равновесия твердых β - и α -растворов, а также эвтектоидного равновесия $\beta \Rightarrow \alpha + \gamma$. По аналогии со сталями температура перехода от $(\alpha + \beta)$ к β области обозначают Асз при нагреве и Агз при охлаждении. Температуру эвтектоидного превращения обозначают Ас1 при нагреве и Ar1 при охлаждении.

Пунктиром на рис. 4.3 обозначены линии начала ($M_{\scriptscriptstyle H}$) и конца ($M_{\scriptscriptstyle K}$) мартенситного превращения, а также линия начала превращения $\beta{\Rightarrow}\omega$ ($T_{\scriptscriptstyle O}$), где ω — мартенситная фаза особого типа.

С увеличением количества β -стабилизаторов температуры начала $(M_{\rm H}\ u\ T_{\rm o})$ и конца $(M_{\rm K})$ мартенситного превращения снижаются и достигают комнатной температуры при третьей и первой критических концентрациях $C^{\rm II}_{\rm kp}\ u\ C^{\rm I}_{\rm kp}$. Точка пересечения кривых $M_{\rm H}\ u\ T_{\rm o}$ соответствует второй критической концентрации $C^{\rm II}_{\rm kp}$. В сплавах с содержанием β -стабилизаторов выше $C^{\rm II}_{\rm kp}$ обычное мартенситное превращение $\beta \Longrightarrow \alpha$ не реализуется, а протекает превращение $\beta \Longrightarrow \alpha$.

Из рис. 4.3, δ видно, что при закалке из β -области сплавов с содержанием β -стабилизаторов меньше $C^l_{\kappa p}$ протекает мартенситное превращение $\beta \Rightarrow \alpha'$, которое доходит до конца, так как температура

 $M_{\rm p}$ оказывается выше комнатной температуры. Мартенситная фаза α' исляется твердым раствором замещения β -стабилизаторов в α -титане искаженной $\Gamma\Pi$ решеткой.

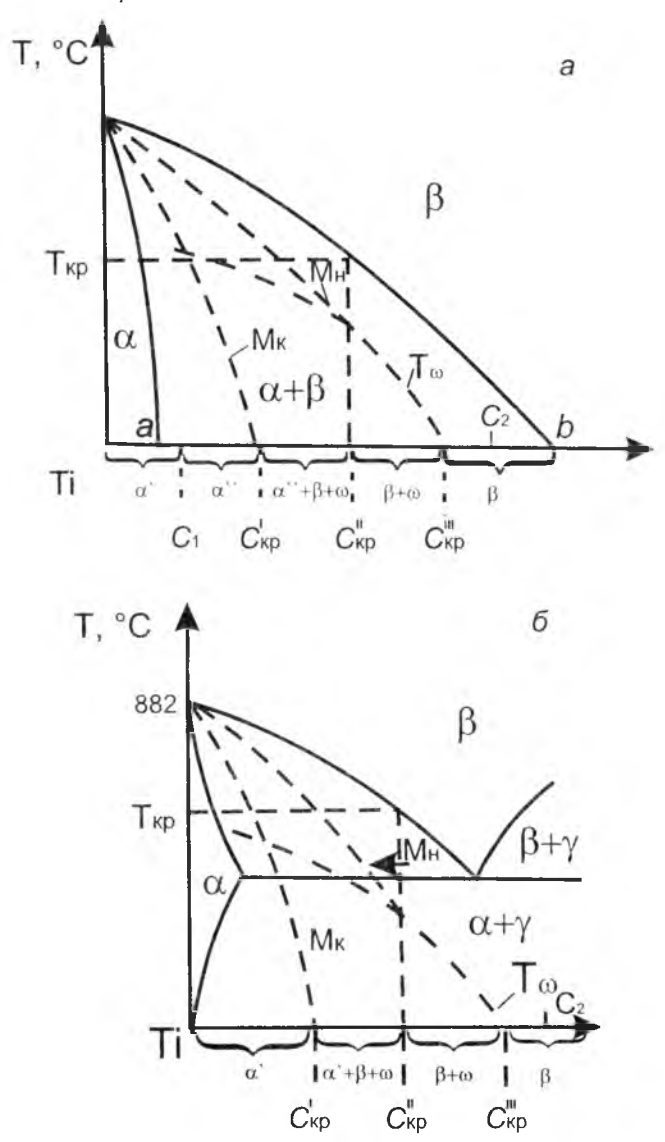


Рис. 4.3. Фазовый состав титановых сплавов с эвтектоидообразующими (a) и изоморфными β -стабилизаторами (δ) после закалки из β -области

Механические свойства пересыщенного α' -раствора зависят от степени пересыщения. Сильно пересыщенный α' -раствор имеет высокие твердость и прочность, а также низкую пластичность.

На поверхности металлографического шлифа α' -фаза, как и мартенсит в углеродистых сталях, образует характерный рельеф и выявляется под микроскопом как игольчатая фаза.

При закалке сплавов в интервале $C_{\rm kp}^{\dagger} - C_{\rm kp}^{\rm II}$ мартенситное превращение $\beta \Rightarrow \alpha'$ не доходит до конца, так как ординаты этих сплавов при комнатной температуре не пересекают кривую $M_{\rm k}$. В результате в структуре этих сплавов сохраняется остаточная β -фаза , а при температурах ниже $T_{\rm o}$ в β -фазе образуется еще одна мартенситная офаза, когерентная по отношению к β -фазе. Фаза об является мартенситной фазой особого типа. Она имеет ГП решетку с периодами $a=0.460,\ c=0.280$ нм, c(a=0.613). В литературе приводится слелующее ориентационное соотношение двух фаз: [1120] ω | [110] β ; (0001) ω | (111) β .

Образование ω -фазы не приводит к появлению рельефа на поверхности металлографического шлифа. Это связано с тем, что микро- и макродеформация, возникающие при небольшом смещении атомов при превращении $\beta \Longrightarrow \omega$, компенсируется в пределах каждой элементарной ячейки.

При образовании ω-фазы растет прочность и твердость титановых сплавов, сопровождающиеся резким снижением пластичности, поэтому присутствие ω-фазы в их структуре нежелательно.

Мартенситное превращение $\beta \Longrightarrow \omega$ никогда не доходит до конца, поэтому титановые сплавы в интервале концентраций $C^l_{\kappa p} - C^{ll}_{\kappa p}$ после закалки из β -области содержат фазы α' , β и ω .

В интервале концентраций $C^{II}_{\kappa p}$ – $C^{III}_{\kappa p}$ после закалки из β -области мартенситное превращение $\beta \Rightarrow \alpha'$ уже не протекает, и структура этих сплавов в закаленном состоянии представлена остаточной β -и ω -фазами.

Наконец, в сплавах правее $C^{\text{III}}_{\text{кр}}$ при закалке фиксируется высокотемпературная метастабильная β -фаза с ОЦК решеткой. От стабильной β -фазы (существующей в сплавах правее точки $C^{\text{III}}_{\text{кр}}$) метастабильная β -фаза отличается только химическим составом. Как было показано выше, метастабильная β -фаза присутствует также в структуре сплавов с меньшим содержанием β -стабилизаторов (в интервале концентраций $C^{\text{II}}_{\text{кр}} - C^{\text{III}}_{\text{кр}}$).

Титановые сплавы с изоморфными (и квазиизоморфными) β -стаоилизаторами отличается тем, что в них мартенсит α' при закалке из β -области образуется лишь до концентрации C_1 (см. рис. 4.3,a). В интервале концентраций $C_1 - C^1_{\kappa p}$ высокотемпературная β -фаза претерпевает мартенситное превращение $\beta \Rightarrow \alpha''$. Важно отметить, что вблизи точки C_1 мартенсит α'' мало отличается от мартенсита α' . По мере добавления β -стабилизаторов, в ГП решетке мартенсита нарастают ромбические искажения, и при $C^1_{\kappa p}$ фаза α'' имеет ромбическую решетку.

Мартенсит α'' представляет собой пересыщенный твердый раствор изоморфных (и квазиизоморфных) β -стабилизаторов в α -титане.

Мартенсит α'' имеет более низкую прочность, твердость и более высокую пластичность, чем пересыщенный раствор α' .

На поверхности металлографического шлифа превращение $\beta \Longrightarrow \alpha''$ также проявляется в образовании характерного рельефа, и под микроскопом мартенсит α'' имеет игольчатое строение.

В зависимости от того, в каком концентрационном интервале $C_{\text{кр}}^{\dagger} - C_{\text{кр}}^{\dagger}$ или $C_{\text{кр}}^{\dagger} = C_{\text{кр}}^{\dagger}$, находится сплав, превращение $\beta \Longrightarrow \alpha''$ доходит или не доходит до конца. В итоге, в сплавах с изоморфным β -стабилизаторами, закаленных из β -области, по мере увеличения концентрации β -стабилизаторов фазовый состав изменяется в следующей последовательности: α' ; α'' ; α'' ; α'' ; β + ω ; β + ω ; β .

Важно отметить, что образование ю-фазы можно полностью или частично подавить введением в титановые сплавы алюминия и нейгральных упрочнителей, таких как олово и цирконий.

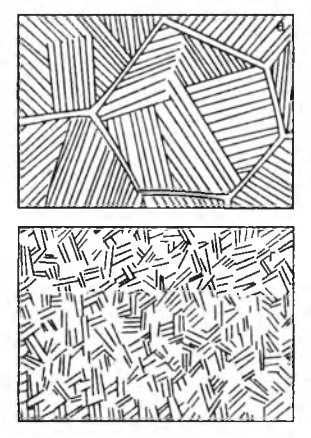
Стабильность β -фазы, зафиксированной закалкой из β -области, зависит от содержания в титановых сплавах β -стабилизаторов. В гом случае, если она не превышает C_2 , то метастабильная β -фаза под действием деформации распадается с образованием различных мартенситных фаз (α' , α'' или ω) и поэтому ее называют механически нестабильной. Правее концентраций C_2 закаленная β -фаза не распадается под действием деформации и считается механически стабильной. Однако механически стабильная β -фаза термически нестабильна и может распадаться при нагреве.

В титановых сплавах с изоморфными и квазнизоморфными β -стабилизаторами при их содержании более точки b (см. рис. 4.3) β -фаза гермодинамически стабильна и не распадается ни под действием напряжений, ни при нагреве. Дисперсные выделения α -фазы из термически нестабильной β -фазы позволяют упрочнять титановые сплавы термической обработкой.

Типичные структуры титановых сплавов

В зависимости от формы структурных составляющих все наблюдаемые разновидности структур в титановых сплавах можно отнести к одному из четырех типов:

- так называемая превращенная β -структура, которая получается при малых скоростях охлаждения из β -области; в структуре присутствует бывшее β -зерно, в котором расположены α -колонии (рис. 4.4,a);
- смешанная или дуплексная структура, которая получается при нагреве в $\alpha+\beta$ область и последующем медленном охлаждении; структура состоит из первичной α -фазы и β -превращенной матрицы (рис. $4.4.\delta$);
- равноосная или глобулярная структура, которая формируется при деформации в $\alpha+\beta$ -области с последующим рекристаллизационным отжигом при температурах ниже β -области (рис. 4.4, β);
- так называемая структура корзиночного плетения, которая образуется при деформации вблизи температуры Ac_3 или при комбинированной деформации, когда она начинается в β -, а заканчивается в $\alpha+\beta$ -области (рис. 4.4, ϵ).



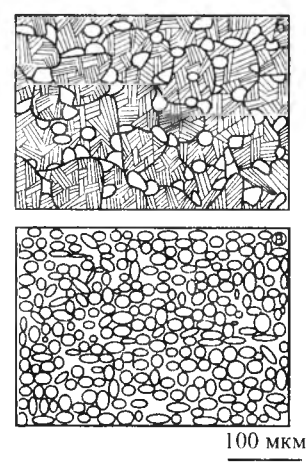


Рис. 4.4. Типичные структуры титановых сплавов. a – пластинчатая (β - превращенная): δ – смещанная (дуплексная); δ – равноосная (глобулярная); ϵ – корзиночного плетения

Промышленные титановые сплавы и их классификация

Промышленные титановые сплавы классифицируют по разным признакам (фазовому составу в отожженном и других состояниях, уровню прочности, способности воспринимать упрочняющую термическую обработку и т.д.). Составы российских и зарубежных тигановых сплавов приведены в Приложении 4.

Наиболее распространена классификация титановых сплавов по степени соответствия их химического состава второй критической концентрации $C^{II}_{\kappa\rho}$ (см. рис. 4.3,a и δ).

В связи с этой классификацией вводится так называемый коэффициент β -стабилизации (K_{β}):

$$K_{\beta} = C_1/C_{1 \text{kp}} + C_2/C_{2 \text{kp}} + C_3/C_{3 \text{kp}} + \dots + C_i/C_{i \text{kp}},$$

где C_1 , C_2 , C_3 ... C_i – содержание β -стабилизаторов; $C_{1\kappa p}$, $C_{2\kappa p}$, $C_{3\kappa p}$... $C_{i\kappa p}$ – критические концентрации ($C^{II}_{\kappa p}$), свыше которых в соответствующих двойных системах закалкой фиксируется только β -фаза ($^{1}\omega$), а мартенситное превращение подавляется.

В табл. 4.1 приведены значения критических концентраций для соответствующих двойных систем на основе титана. K_{β} показывает, насколько данный сплав близок по составу к $C^{II}_{\kappa p}$ и не учитывает влияние α -стабилизаторов и нейтральных упрочнителей.

 ${\it Ta6.nuya~4.1}$ Значения критических концентраций (%) в двойных системах титана

β-стабилизатор	Ы	C ^{II} _{кр}	CIII Kp
Эвтектоидообразующие:	Fe	6,0	9,2
	Mn	6,5	10,8
	Cr	6,5	10,0
Изоморфные:	V	15,0	18,0
	Nb	28,5	30,0
	Mo	11,0	16,5
	W	22.0	26.0

По величине коэффициента K_{β} промышленные титановые сплавы разделяют на шесть групп:

- 1) α -сплавы (не содержат β -стабилизаторов, $K_{\beta} = 0$);
- 2) псевдо- α -сплавы (0,09 $\leq K_{\beta} \leq$ 0,25);
- 3) α + β -сплавы мартенситного типа (0,27 $\leq K_{\beta} \leq$ 0,83);
- 4) $\alpha + \beta$ -сплавы переходного типа ($K_{\beta} = 1...1,1$);
- 5) псевдо- β -сплавы (1,7 $\leq K_{\beta} \leq$ 2,5);

6) β–сплавы (K_{β} ≥ 3).

Марки российских промышленных титановых сплавов обозначаются двумя буквами: ВТ, ОТ, АТ или СТ, после которых стоит одна или две цифры, указывающие на порядковый номер сплава или его модификации. Если сплав используется не только как деформируемый, но и как литейный, то обозначение его марки заканчивается буквой Л (например, ВТ5Л, ВТ31Л, ВТ9Л и др.).

Отдельные титановые сплавы обозначают только цифрами. Марка таких сплавов состоит из четырех цифр (две первые — 42), из которых последние две цифры также обозначают порядковый номер сплава. Химический состав промышленных титановых сплавов разных групп, применяемых в РФ, приведены в Приложении 4. Для сравнения в приложении приведены также составы промышленных титановых сплавов по стандартам разных стран.

С-сплавы $(K_{\beta}=0)$. К их числу относятся технический титан, а также сплавы, легированные алюминием и нейтральными упрочнителями – оловом и цирконием.

Структура нелегированного титана (BT1-00 и BT1-0) зависит от температуры горячей деформации и последующего отжига. После деформации в β -области структура носит пластинчатый характер, и границы зерен бывшей β -фазы имеют зубчатое строение. Последующий отжиг в α -области не изменяет характера структуры — зубчатость границ сохраняется.

После отжига в β -области в структуре нелегированного титана наблюдаются крупные полиэдрические зерна превращенной β -фазы, имеющие внутреннее пластинчатое строение. Отжиг в β -области ведет к значительному росту зерен β -фазы и изменению их формы. В зависимости от скорости охлаждения из β -области можно получать структуру двух типов:

- с зернами неправильной формы, имеющими зубчатые границы;
- мартенситную.

Структура первого типа образуется при охлаждении с небольшими скоростями (с печью), мартенситная структура — при ускоренном охлаждении (на воздухе или в воде).

Если нелегированный титан содержит примесь водорода в количествах более 0,008...0,01~%, то в его структуре обнаруживается гидрид TiH_2 , вызывающий снижение пластичности и ударной вязкости.

 α -сплавы не содержат β -стабилизаторов; по своей структуре – это однофазные сплавы, содержащие только α -фазу. Однако в зависимо-

ги от режимов их деформации и последующего отжига выделяют гри основных типа микроструктуры α-сплавов (табл. 4.2): полиэдрическая равноосная; с зубчатыми зернами неправильной формы; крупнозернистая пластинчатая с четко выраженными границами бывшей β-фазы.

Таблица 4.2 Возможные типы микроструктур **«**-сплавов

Тип микроструктуры	Условия образования
Полиэдрическая равноосная	Горячая деформация и рекристаллизационный отжиг сплавов в 00-области
С зубчатыми зернами неправильной формы	Горячая деформация в β- и отжиг сплавов в α-области
Крупнозернистая пластинчатая с четко выраженными границами бывшей В-фазы	Горячая деформация и огжиг сплавов в β-области

Отличительные особенности сс-сплавов: высокая термическая стабильность (т.е. способность сохранять пластичность после длительного воздействия высоких температур и напряжений), нечувствигельность к упрочняющей термической обработке и к типу структуры, образующейся при отжиге, средняя прочность при удовлетворигельной пластичности и хорошая свариваемость.

К отечественным α-сплавом может быть отнесен сплав BT5-1 (5 % AI; 2,5 % Sn) он термически не упрочняется, хорошо сваривается, отличается достаточно высокими механическими свойствами ($\sigma_b = 800...1000$ МПа; $\delta \equiv 8$ %; $KCU = 40~\text{Дж/см}^2$), нашел широкое применение в различных отраслях, включая криогенную технику. Сплав жаропрочен до температур, не превышающих 450 °C. Единственный вид термической обработки α-сплавов — отжиг.

Псевдо-Се-сплавы $(0.09 \le K_{\beta} \le 0.25)$. Эти сплавы содержат до 1...2.5% β-стабилизаторов, а также алюминий и нейтральные упрочнители. Поэтому в их структуре в отожженном состоянии присутствует 2...6% β-фазы. Образующаяся при закалке мартенситная α' -фаза в этих сплавах по своим механическим свойствам мало отличается от равновесной α -фазы, поэтому псевдо- α -сплавы упрочняющей термической обработке не подвергают.

Небольшое количество β -фазы оказывает положительное влияние на пластичность псевдо- α -сплавов и при комнатной, и особенно, при повышенных температурах, поэтому псевдо- α -сплавы более техноло-

гичны при обработке давлением по сравнению с α -сплавами, содержащими повышенное количество алюминия (BT5 и BT5-1). При одинаковой пластичности псевдо- α -сплавы на $10...20\,\%$ прочнее α -сплавов, что объясняется их более мелкозернистой и гетерогенной структурой. Псевдо- α -сплавы с повышенным содержанием алюминия (6...7 %) отличаются высокой жаропрочностью и используются при максимально высоких рабочих температурах (550...600 °C).

Наиболее широкое применение в промышленности среди псевдоα-сплавов получили сплавы ОТ4-0, ОТ4-1. ОТ4 и ВТ20.

При комнатной температуре псевдо- α -сплавы имеют структуру, состоящую в основном из α -фазы. В свою очередь β -фаза металлографически при средних увеличениях не обнаруживается, что связано с ее малым количеством.

Полуфабрикаты крупного сечения из псевдо- α -сплавов (прутки, поковка и штамповка), как правило, имеют разнообразную структуру (табл. 4.3).

Таблица 4.3 Промыциленная шкала микроструктур исевдо-**%**-силавов

Тип микроструктуры	Характерные признаки	Условия образования
Мелкозернистая	Равноосное зерно	Горячая леформация сплавов в верхней части α-β-области с большими обжатиями и отжиг при более низких температурах
Переходная от мелко- к крупно- зернистой	Смесь мелких и крупных зерен	Начало горячей деформации в β-области, конец в α+β-области и отжиг в α+β-области
Перегретая	Крупное зерно с грубым пластинчатым внутризе- ренным строением	Деформация в β-области и отжиг в верхней части α- β- или в β-области
Крупнозернистая	Очень крупное зерно с тон- копластинчатым внутризе- ренным строением	

Из табл. 4.3 видно, что разнообразие микроструктур псевдо-αсплавов связано с различными условиями горячей деформации и последующего отжига при изготовлении того или иного полуфабриката. Тип микроструктуры оказывает существенное влияние на механические свойства псевдо-α-сплавов.

Для псевдо-α-сплавов с перегретой (пластинчатой) и крупнозернистой структурой характерны пониженные значения прочности и пластичности, но сравнительно высокая ударная вязкость. Псевдо-α-сплавы с мелкозернистой структурой имеют высокую прочность и пластичность, но сравнительно невысокую вязкость разрушения. По сравнению с другими типами мелкозернистая структура имеет пре-имущества по кратковременной прочности при повышенных температурах, однако при понижении температуры (ниже комнатной) у псевдо-α-сплавов с мелкозернистой структурой характеристики пластичности снижаются более интенсивно. При криогенных температурах (—196 °C) псевдо-α-сплавов с перегретой (крупнопластинчатой) структурой имеют более высокие значения показателей пластичности и ударной вязкости по сравнению со сплавами с мелкозернистой структурой.

α+β-сплавы мартенситного типа $(0,27 \le K_{\beta} \le 0,83)$. В отожженном состоянии эти сплавы имеют двухфазную структуру с содержанием β -фазы в количестве от 5 до 25 %. После закалки с температур выше $t_{\rm kp}$, но ниже Ac_3 в этих сплавах, в зависимости от природы β -стабилизаторов, образуются мартенситные фазы α' или α'' . Последующее старение закаленных сплавов позволяет существенно повысить их прочность. Эффект термической обработки возрастает по мере увеличения коэффициента K_{β} , поэтому большинство двухфазных титановых сплавов мартенситного типа используют в промышленности как в отожженном, так и термически упрочненном состояниях.

Двухфазные $\alpha + \beta$ -сплавы мартенситного типа можно условно разделить на две группы:

- сплавы средней (BT6) и высокой прочности (BT14, BT16 и BT23), используемые при комнатной и невысоких температурах;
- жаропрочные сплавы (BT3-1, BT8, BT9 и BT25), используемые при температурах до 450...550 °C. Типичные структуры этих сплавов и условия их формирования указаны в табл. 4.4.

Основные виды микроструктур двухфазных α+β-сплавов мартенситного типа

Тип структуры	Разновидности	Характерные призна-	Условия образо-
		ки	вания
Глобулярная	Равноосная	Равноосные зерна α-фазы, границ зерен β-фазы не видно	Поформомия
	Ориентированная	Вытянутые в направ- лении деформации зерна α-фазы; границ зерен β-фазы не видно	Деформация в α·β-области
Глобулярнс	-пластинчатая	Смесь равноосных зерен и пластин α-фазы	Деформация в α β-области вблизи темпера- гуры Ас,
Пластинчатая	Корзиночного плетения	Пластинчатые коло- нии α-фазы разной ориентации внутри бывших зерен β-фазы	Начало деформа- ции в β-, конец в α-β-области
	Крупнозернистая	Крупное зерно быв- шей β-фазы с пласти- нами α-фазы	Деформация в β-области

Сплавы средней и высокой прочности в зависимости от назначения используют в отожженном, или термически упрочненном состояниях.

На микроструктуру отожженных сплавов сильное влияние оказывает температура отжига и скорость охлаждения с этой температуры, а в случае упрочняющей термической обработки — температура нагрева под закалку и последующего старения.

Отжиг сплава ВТ6 в двухфазной $\alpha+\beta$ -области (при 600...800 °C) не изменяет структуры, характер которой определяется режимом горячей деформации и сечением полуфабрикатов. Рекристаллизационный отжиг вблизи температуры Ac_3 вызывает коагуляцию α -фазы, и структура приобретает глобулярный характер. Для повышения вязкости разрушения можно применять отжиг в β -области, в результате которого происходит рекристаллизация β -фазы и образование пластинчатой $\alpha+\beta$ -структуры. При медленном охлаждении из β -области (с печью) образуются более широкие пластины α -фазы внутри равноосных зерен превращенной β -фазы, обеспечивает высокую вязкость разрушения, так как трещина продвигается вдоль границ бывших β - зерен и поперек колоний α -пластин.

Отжиг сплавов BT14 и BT16 так же проводят при температурах $\alpha+\beta$ -области, при которых еще не наблюдается заметного роста зерна. После медленного охлаждения структура этих сплавов представляет собой дисперсную смесь α - и β -фаз глобулярной формы. С повышением температуры отжига в пределах $\alpha+\beta$ -области происходит незначительное огрубление глобулярной структуры и увеличение размера зерна α -фазы. Отжиг в β -области ведет к резкому росту зерна β -фазы и образованию крупнозернистой структуры пластинчатого гипа, для которой характерна пониженная прочность и пластичность. Крупное зерно распавшейся β -фазы не удается измельчить путем последующей термической обработки.

При медленном охлаждении (с печью) после отжига в α | β -области образующаяся глобулярная структура с мелкими частицами α - и β -фаз обеспечивает низкую прочность и повышенную пластичность. При ускоренном охлаждении (на воздухе) с температур выше $t_{\rm kp}$ возможно образование мартенсита α' (в сплавах ВТ6 и ВТ14) или α'' (в сплаве ВТ16), и структура отличается большей дисперсностью α - и β -фаз. Ускоренное охлаждение после отжига в β -области формирует крупнозернистую пластинчатую структуру с тонкими пластинами, при этом с повышением температуры отжига длина и толщина пластин увеличивается.

При закалке высокопрочных сплавов образуется мартенсит α' (или α'') и фиксируется метастабильная β -фаза. Повышение температуры нагрева под закалку в пределах $\alpha+\beta$ -области не оказывает существенного влияния на размер частиц α - и β -фаз, несмотря на заметное изменение фазового состава сплавов (сначала увеличивается количество β -фазы, а после закалки с температур выше $t_{\rm кр}$ метастабильная β -фаза превращается в мартенсит).

После закалки из $\alpha+\beta$ -области с температур, близких к Ac_3 , образуется так называемая предмартенситная или смешанная структура, состоящая из мартенситной матрицы с пластинчатым (игольчатым) строением и глобулярных частиц α -фазы. После закалки из β -области высокопрочные сплавы имеют крупнозернистую пластинчатую (игольчатую) структуру, характерную для мартенсита α' (или α'').

Последующее старение не оказывает существенного влияния на микроструктуру закаленных сплавов. Происходит изменение фазового состава закаленных сплавов, так как мартенситные фазы α' или α'' и метастабильная β -фаза распадаются с образованием смеси фаз α и

β. Дисперсные продукты распада (частицы α- и β-фаз) можно увидеть только под электронным микроскопом. Металлографически структура состаренных сплавов от структуры закаленных сплавов отличается повышенной травимостью.

Структура жаропрочных $\alpha + \beta$ -сплавов формируется в основном во время горячей деформации полуфабрикатов (см. табл. 4.4).

Глобулярная структура равноосного типа обеспечивает высокие показатели прочности, пластичности и предела выносливости, но наиболее низкие значения ударной вязкости, жаропрочности и особенно вязкости разрушения. Для жаропрочных титановых сплавов наиболее желательная микроструктура корзиночного плетения, обеспечивающая оптимальное сочетание всего комплекса механических свойств. Для зернистой структуры с пластинчатым внутризеренным строением характерны более низкие пластические свойства, но более высокие значения ударной вязкости, сопротивления ползучести и вязкости разрушения.

В зависимости от назначения жаропрочные $\alpha+\beta$ -сплавов мартенситного типа подвергают двойному или изотермическому отжигу, закалке и последующему старению, а также BTMO, которая состоит из закалки с температуры конца горячей деформации и последующего старения.

Отжиг жаропрочных $\alpha+\beta$ -сплавов производится только в $\alpha+\beta$ -области, так как нагрев в β -области ведет к резкому росту зерна β -фазы.

После двойного отжига в структуре жаропрочных $\alpha+\beta$ -сплавов видны светлые зерна α -фазы и темные поля превращенной β -фазы связаны с дисперсным характером продуктов ее распада на второй ступени отжига.

Изотермический отжиг в $\alpha+\beta$ -области приводит к образованию смешанной глобулярно-пластинчатой или пластинчатой структуры корзиночного плетения.

Закалка из верхней части $\alpha+\beta$ -области не вызывает существенных изменений микроструктуры по сравнению с отожженным состоянием. В закаленном состоянии структура жаропрочных $\alpha+\beta$ -сплавов состоит из разноосных зерен или пластин α -фазы, мартенсита α' (или α'') с игольчатым строением и остаточной метастабильной β -фазы.

После старения структура состоит из мелких равноосных зерен α -фазы на фоне дисперсных продуктов распада мартенсита α' (или α'') и метастабильной β -фазы, отличающихся повышенной травимостью.

 $\alpha+\beta$ -сплавы переходного типа $(K_{\beta}=1...1,1)$ и псевдо- β -сплавы $(1,7 \le K_{\beta} \le 2,5)$.

Сплавы переходного типа по своему химическому составу располагаются между $C^{II}_{\ \ \ \ \ \ \ \ }$ и $C^{III}_{\ \ \ \ \ \ \ \ }$ (см. рис. 4.3). После отжига в $\alpha+\beta$ -области и медленного охлаждения (с печью) структура этих сплавов представлена 20...30% α -фазы и 80% β -фазы. Если предшествующая деформация проводилась в $\alpha+\beta$ -области, то отожженный полуфабрикат имеет мелкое зерно бывшей β -фазы. После деформации в β -области β -зерно оказывается более крупным. Типичными представителями сплавов переходного класса являются российские сплавы BT22 и BT30.

Структура полуфабрикатов после отжига в β -области и медленного охлаждения (с печью) представлена крупными зернами β -фазы, внутри которых располагаются тонкие пластины α -фазы. Размер зерна β -фазы и длина пластин α -фазы увеличивается с уменьшением скорости охлаждения, а также с увеличением температуры и продолжительности отжига.

В зависимости от формы β-зерна различают неравноосную структуру, в которой зерна ориентированы в направлении деформации, и равноосную структуру (табл. 4.5). Неравноосная структура характерна для горячекатаных и отожженных прутков, тонкостенных штамповок и плит, в которых также наблюдается полосчатая структура. Крупногабаритные поковки и штамповки обычно имеют равноосную структуру.

Структура сплавов переходного типа после закалки из $\alpha+\beta$ -области представлена мелкими частицами α -фазы на фоне мелких или крупных зерен β -фазы. В структуре состаренных (после закалки) сплавов внутри зерен бывшей β -фазы видны игольчатые продукты распада (короткие и тонкие пластинки α -фазы).

 ${\it Taблица}~4.5$ Основные типы микроструктур ${\bf \alpha}$ + ${\bf \beta}$ -сплавов переходного типа

Тип структуры	Характерные признаки	Условия обозначения
Неравноосная	Преимущественная ориентация зерен β-фазы в направлении де- формации	Горячая деформация и отжиг в α+β-области
Равноосная	Отсутствие преимущественной ориентации β-зерен в направлении деформации	Горячая деформация и отжиг в β-области

Псевдо- β -сплавы относятся к наиболее легированным. Содержание только β -стабилизаторов в них достигает $15...20\,\%$. После закалки из β -области в этих сплавах фиксируется метастабильная β -фаза, которая существенно упрочняется при последующем старении. Поскольку с увеличением содержания β -стабилизаторов температура Ac_3 заметно снижается, то опасаться резкого укрупнения зерна β -фазы при закалке из β -области не приходится. В закаленном состоянии псевдо- β -сплавы имеют высокую пластичность.

После отжига при температурах ниже Ac_3 помимо β -фазы в структуре присутствует небольшое количество α -фазы, расположенной по ее границам. К сплавам этого класса относятся сплавы BT32, BT35, BT19.

\beta-силавы ($K_{\beta} \ge 3$). Сплавы на основе термодинамически стабильной β -фазы не нашли широкого применения, так как не имеют значительных преимуществ, которые бы оправдывали их производство, по сравнению с другими титановыми сплавами. Эти сплавы не упрочняются при термической обработке.

4.3. Порядок проведения работы

- 4.3.1. Просмотреть металлографические шлифы титановых сплавов разных групп.
 - 4.3.2. Определить структурные и фазовые составляющие сплавов.
- 4.3.3. Схематично зарисовать структуру изученных сплавов, указав их средний химический состав, значение коэффициента $K_{\beta \epsilon}$ состояние, структурные и фазовые составляющие и увеличение.

4.4. Требования к отчету по работе

Отчет должен содержать:

- зарисовки соответствующих гипотетических диаграмм состояния систем $Ti-\beta$ -стабилизатор с указанием на них положения изученных сплавов;
- зарисовки структуры изученных сплавов, (структуры расположить в соответствии с принятой классификацией титановых сплавов, сделав в отчете соответствующие подзаголовки);
- зарисовки соответствующих микроструктур с указанием марки сплава, его среднего химического состава, значения коэффициента K_{β} , вида термической обработки, увеличения микроскопа и структурных и фазовых составляющих (стрелками).

Литература

Колачев Б.А., Ливанов В.А., Елагин В.И. Металловедение и термическая обработка цветных металлов и сплавов. М.: МИСиС, 1999. Гл. 4.

Контрольные вопросы

- 1. По какому признаку и на какие группы подразделяют легирующие элементы в титановых сплавах?
- 2. Каковы условия образования, кристаллическая структура и механические свойства метастабильных фаз α' , α'' , β и ω в титановых сплавах?
- 3. По какому признаку и на какие группы подразделяют промыштенные титановые сплавы?
- 4. Как маркируют промышленные деформируемые и литейные титановые сплавы?
- 5. Как рассчитывают коэффициент β -стабилизации (K_{β}) титановых сплавов?
 - 6. Каковы разновидности структур титановых сплавов разных групп?
- 7. Каково назначение, преимущества и ограничения введения алюминия в титановые сплавы?
 - 8. Какие элементы и почему следует отнести к β-стабилизаторам?
- 9. Какие элементы и почему следует отнести к α -стабилизаторам и нейтральным упрочнителям?
- 10. Что такое водородная хрупкость и какие титановые сплавы отличаются наивыешей склонностью к ней?
- 11. Каково влияние основных примесей на структуру и свойства титана и его сплавов?
- 12. Какие α-титановые сплавы вы знаете, каковы их преимущества и недостатки?
- 13. Какие псевдо-α-титановые сплавы вы знаете, каковы их преимущества и недостатки?
- 14. Какие $\alpha^+\beta$ -титановые сплавы вы знаете, каковы их преимущества и недостатки?
- 15. Какие β-титановые сплавы вы знаете, каковы их преимущества и недостатки?
- 16. Какова система легирования сплава ОТ4-1, к какой группе он относится?

Приложения

В таблицах Π 1.1 — Π 1.3 и Π 2.1 — Π 2.8 приведены составы литейных и деформируемых алюминиевых сплавов РФ и США согласно спецификации Алюминиевой Ассоциации (Aluminum Association).

Цифры указывают концентрации в % масс. для каждого из отмеченных химических элементов.

Две цифры указывают нижний (верхняя цифра) и верхний (нижняя цифра) пределы для легирующих элементов.

Одна цифра указывает предельно допустимое значение значение для примеси.

В ячейках для концентраций буквами обозначены: 3 – литье в землю, Д – литье под давлением.

Сплавы алюминиевые литейные

Tabanya II 1.1

Сплавы алюминиевые литейные на основе системы Al-Si

Другие		ı		ı		CL		1	1	Cr		-
Ti		0,2	0,2	0,3	0.2	0,25	0,13	1	0.2	0.25	0.04	0.2
Z		-1		1		ſ	1		I		1	1
Zn	0,1	0.05	1.0	1,0	1.0	0.35	0.3	0,3	1.0	0,35	0.05	0,1
Mn	0,05	0.05	1.0	0.1	1,0	5.0	1,0	5,0	1.0	5*0	50,05	0.1
Fe	0,4	0.14	0.15	0,15	0.2	9,0	0.3	3-0.6	0,2	9.0	60.0	0,15
Mg	0,05		0,1	1,0	0.1	1.0	0,4	0,35	0,4 0,6	0,4	0,45	0,45
Cu	0.05	1.0	1.0	1.0	1.0	1.0	1.0	1,0	1.0	1.0	1,0	1.0
Si	3.3	5.5	4.5	5,5	4.5	4.5	4.5	5.5	4.5	4.5	4,5	4.5
Марка	435.2	305,2	A305.1	A305.2	A305.0	305.0	АКSМч	AKSM	C355,0	355.0	A355.0	C355.1
Страна	CIIIA	CIIIA	CIIIA	CIIIA	CIIIA	CIIIA	ЬФ	ЬФ	CIIIA	CIIIA	CIIIA	CIIIA
№п/п		C1	6	4	\$	9	7	∞	6	01	-	<u>C1</u>

Продолжение табл. П 1.1

Другие	CL.			I		I		ı		i		1				l					Cr		Cr^{11}		j	Cr.
ï	0.25		0.04	0.2	0.2		0,2		0.13		0.13	000	0,2			- -	0,25		0,25		0,25		0,25		0,25	0.25
Z		ı		Ī		I		l	0.5		0.5					I					ı		1		1	ı
Zn	0.35	^	0,03		0.05		0,05		9.0		0.5		1.0		1,0		0,35		0,35		0.5		0,5		6,0	0.5
Mn	0.5		0,03		0,05		0.05		0.2	9.0	0.2	0.8	0,1		0,1		0,35		0,35		0,5		0,5		C,U	0,5
Fe	0,5		90.0		0.13		0,14	0,25	3-	Д-1,4	3-1	Д-1.3	9,0		0,7	1,1	9,0		8.0		9,0		8.0		o,0	8,0
Mg	0,45	9.0	0,5	9.0	0.5	9.0	0,5	9,0	0,2	0.5	0,2	8,0	0,05		0,05		0,05		0,05		0,05		0,05	0	co'o	0,05
Cu	1,0	1.5	1,0	1,5	0,1	1,5	0,1	1,5	3,0	5,0	1,5	3,5	0,1		0,1		0,15		0,15		0.3		0.3		0,0	9,0
Si	4,5	5,5	4,5	5,5	4,5	5.5	4,5	5.5	3,5	6,0	4.0	6,0	4,5	0.9	4.5	0.9	5,5	6,0	4,5	0,0	2,5	0.9	2,5	0.0	6.0	4.5
Марка	355,1		A355.2		C355.2		355.2		AK5M4		AK5M2		443.2		C443.2		B443.1		B443.0		A443.1		A443.0	442.1	1.0.1	443.0
Страна	США		CIIIA		CIIIA		CIIIA		ЪФ		ЬФ		CIIIA		CIIIA		CIIIA		CIIIA		CIIIA		CIIIA	CIIIA	V	CIIIA
№п/п	13		14		15		91		17				61		70		21		22		57		74	25	-	26

Продолжение табл. П 1.1

Другие	Sn.	Sn	Sn		Sn		ļ				ı		Sn.Sb.Pb		ļ		1				ı		ĭ		Sn	
F			0,2		0,2		0.2		0,25		0.25		-		0,15		0,2		0,25		0.25		0,25		ì	
ž	0,5	5,0	0.25		0.25		1		ı		1		5,0		0,05		0,1		0,35		0,35		0.35		0,35	
Zn	4,0	5.0	3.0	4.5	3	4,5	5,0		1.0		1,0		9,0		9.0		0,1		1,0		3,0		1.0		3,0	
Mn	0.35	0,35			0,1		0,3		0,5		0,5		0,5		0		0,1		5,0		0,5		0.5		0.5	
Fe	1,1	2,0	-		8.0		8.0		8.0		0,1		3-1.2	K-1.2	9,0		9,0		8,0		8,0		1.0		1.0	
Mg	0,1	0.1	0,15	t*0	0,2	0,4	0,1		0.1		1,0		0.2	5,0	0,3	0,45	0,1		0,1		0.1		0.1		0,1	
Cn	9,0	9,0	2,5	3.5	2,5	3.5	4.0	5,0	4,0	5.0	0,4	5,0	0.9	8,0	1,8	2,3	3,0	4,0	3,0	4.0	3,0	4,0	3.0	4.0	3,0	4.0
V.	4.5	6.0	4.5	0'9	4,5	6,0	5.0	6,0	5,0	0.9	5.0	0.9	4.5	6.5	5.5	6.5	5,5	6,5	5,5	6,5	5.5	6.5	5.5	6,5	5,5	6,5
Manka	C443.1	C443.0	363.0		363.1		308.2		308.1		308,0		AK5M7		AK6M2		319.2		319.1		A319.1		319.0		A319,0	
Страна	CIIIA	CIIIA	CIIIA		США		США		CIIIA		CIIIA		ΡΦ		ΡΦ		СШЛ		CIIIA		CIIIA		CIIIA		CIIIA	
Non/m	27	28	29		30		31		32		33		34		35		36		37		38		39		40	

Продолжение табл. П 1.1

Лругие		ı		ı		I								1						ı				1				
E	0.25		0.25		0,1	0.2	0.04	0,2	0,04	0,2	0.04	0,2	0,04	0,2	0.2		0.04	0.2	0,04	0.2	0,04	0.2	0,2		0.2		0.04	0,2
Z	0.5		0.5			ı									j									l				
Zn	1,0		1.0				0,03		0,03		0,03		0,03		0.05		0,05		0,05		0,05		0,05		0,05		0,05	
Mn	8.0		8.0		0,1		0,03		0,03		0.03		0.03		0,05		0.05		0,05		0,05	_	0.03		0,03		0.05	
Fe	51		6,0		0.2		0,04		90,0		90,0		90.0		0,12		0.07		60,0		60,0		0,12		0,15		60,0	
Mg	0.1	6.0	0,15	0,5	0.55	9,0	0,3	0,45	0,3	0.45	0,45	9,0	0.5	0,7	0.05		0,25	0,45	0,25	0,45	0,4	9,0	0,45	9.0	0,45	9.0	0,45	0,7
ņ	3.0	4,0	3.0	4,0			0,03		0.03		0.03		0,03		0.05		0.05		0,05		0,05		0,05		0.05		0,05	
Sī	5,5	6,5	5,5	6,5	6,5	7.5	6.5	7,5	6.5	7.5	6,5	7,5	6,5	7.5	6.5	7.5	6,5	5./	6,5	7,5	6.5	7.5	6.5	7.5	6,5	7.5	6.5	7.5
Марка	B319.0		B319.1		D357.0		C356.2		B356.2		B357.2		C357.2		A444.2		C356.0		B356.0		B357.0		357.1		357.0		C357.0	
Страна	CIIIA		CIIIA		CIIIA		CIIIA		CIIIA		CIIIA		США		CIIIA		CIIIA		CIIIA		CIIIA		CIIIA		CIIIA		CIIIA	
Nen/n	41		42		43		44		45		46		47		- 48		44		99		51	i)	52		53		54	

Другие	í				;		1		1	ļ	_	_	1	1	
Ti	1		0,2	0,2	0,2	0,04	0,2	0,2	0,04	0,04	0.2	0,2	0,04	0,25	0,25
Z			-				_	1)	Ţ.	Ţ	Ţ	j.	d	1
Zn	0,1		0,1	1,0	0,05	0,05	0,05	50,0	50,0	0.1	0,1	0,1	0,1	0,35	0,35
Mn	0,1		0,1	0,1	0,05	0,05	0,05	0,05	0,05	0.1	1,0	1,0	0,1	0,35	0,35
Fe	9,0	1,3	0,15	0,2	0,13	0,12	0,12	0,13	0,12	0,2	0.2	0,15	0,2	0.0	0.0
Mg			0,05	0,05	0,05	0,17	0,3	0,3	0.45	0.17	0.25	0,3	0,4	0,1	0,2
Cu	0,1		0,1	1,0	1,0	0.1	0,1	1,0	0,1	0.2	0,2	0,2	0.2	0.25	0.25
Si	6.5	7.5	6.5	6.5	6.5	6.5	6.5	6,5	6.5	6.5	6,5	6,5	6.5	6.5	6,5
Марка	445.2		A444.1	A444.0	444.2	F356.2	A356.2	356.2	A357.2	F356.0	A356.0	A356.1	A357.0	444.0	356.0
Страна	CIIIA		США	США	США	США	США	США	США	CIIIA	CIIIA	CIIIA	СШЛ	США	CILIA
№п/п	55		56	57	58	59	09	19	62	63	64	65	99	29	89

Продолжение табл. П 1.1

Havrag	Apylne	6	Cr.Sn ⁵¹	10,10	Cr Sn ⁵⁾			1		1		1		1		1		1		1		1		ĵ		ì	(900)	1
T	0.25			1		Į.	0.25		0.25			(1		1	0,13		0.2		0.0	1.	0.0	1	0.0	1	0.13	
ž	111	n		1		1	0.35		0.35		0.3	1		i		ī			0.3		0.1		0.3	24		1		ï
7n	0.35		1,2	6.1	2	2.0	3.0		3.0		0.5		0,3		7.0	12.0	0,2		1.0		0.1		1.0		0.3		0.5	1.0
Mn	0.35		0.5		0.5		8,0		8.0		0.2	9.0	0.5		0.5		0.1		0.5		0.1		0.5		0,1			
Fe	6.0		6.0		1,2		1.2		6.0		1.1	5	9,0		0.7		0,3		1,2		9,0		6.0		9,0		0,4	
Mg	0.25	0,45	0,1		0,1		0,05	9.0	0,1	9,0	0,2	S	0,2	0,4	0,1	0,3	0,2	0,4	0,4	0,7	0.45	0.7	0.45	0.7	0,35	0,55	0,2	0,45
Cu	0,25		0,5	6,0	6,0	6,0	2.0	4,0	2,0	4,0			0,2		9,0		0,1		0,4	9,0	0,4	9,0	0,4	9,0	0,3		2,5	3,5
Si	5,9	7,5	6,7	7.7	6,7	7.7	5,0	8,0	5.0	8,0	0,9	8,0	0.9	8.0	0,9	8,0	7.0	8.0	7,0	8,0	7.0	8,0	7,0	8,0	6,5	8,5	7,0	8,5
Марка	356.1		343.1		343.0		320.0		320.1		AK7		AK74		АК7Ц9		АК7пч		324.0		324.2		324.1		АК8л		АК8М3ч	
Страна	CIIIA		СШЛ		CIIIA		CIIIA		CIIIA		ЬФ		ЬФ		ЬФ		ьф		CIIIA		США		CIIIA		- Ф		CIIIA	
Nen/n	69		70		71	0	7.7		//3		74		15		92	1	11	000	8		6/		80		- T		82	

Продолжение табл. П 1.1

Другие	Cr2)		C.		Cr^3		Be 9)		1				1		Cr, Sn ⁽⁰⁾		Cr. Sn ⁽⁰⁾		Sn		Sn		Sn 12)		Sn		Sn (2)	
Ti	0,25		0,25		0,12	0.2	0,1	0,2	0,2		0,2		0,2				ı		ı		ı				ı		ļ	
Ż	0,25		0,25		ı		ŀ				ı		ı		0,15		0,15		0,1		0,5		5,0		0,1		5,0	
Zn	1.5		1,5		0,1		0,2		0,3		0,1		0,1		0,15		0,15		0,1		6,0		2.9		1,0		3,0	
Mn	0,2	9.0	0.2	9,0	1,0		0,2		0.3	0.5	0,1		1,0		1,0		0,1		0,1		6,5		0,5		0,1		6,5	
Fe	1,0		8,0		0,2		0,3		3-0.7	K-0.9	0.2		0,15		1,5		0,7	1,1	0.7	1,1	1,0		1,0		0,7	1.1	2.0	
M	0.2	9.0	0,25	9,0	0,45	9,0	0,4	9,0	0,3	0,5	0,4	9,0	0,45	9,0	0,2	6,0	0.25	0,4	1,0		0,1		0,1		0,1		0,1	
Cu	1,0	2,0	1,0	2,0	0,1		0,2		1,0	1,5	1,6	2,0	1.6	2.0	0,2		0.2		3,0	4,0	3,0	4,0	3.0	4,0	3,0	4.0	3,0	4,0
Si	7.5	8,5	7,5	8,5	7.6	8.6	7,6	9.8	7.5	9,0	9.8	9,4	9,8	9,4	7,5	9.5	7.5	9,5	7,5	9,5	7,5	5,6	7.5	9,5	7,5	9,5	7.5	9.5
Марка	328.0		328.1		358.2		358.0		AK8M		354.0		354.1		364.0		364.2		380.2		B380.1		A380.1		380.2		380.0	
Страна	CIIIA		США		США		CIIIA		PΦ		CIIIA		CIIIA		CIIIA		США		CIIIA		CIIIA		CIIIA		США		США	
Уеп/п	83		2		85		98		87		88		68		06		91		92		93		25		95		96	

Продолжение табл. П 1.1

Лругие	Sn 12		Sn (2)			l)				1		í	Sn.Pb			(1				ł		(
T				ï		L	0.2		0.2		0.4		0.13					1	0.25		0.25		0.25		0.25			1
Z	0.5		50			L				ľ)	0.5		0.5		0.3		0.5		0.5		0.5		0.5			ï
Zn	3.0		1.0		0.1		0.1		0.1		0.1			1			5.0	7.0	1.0		3,0		1.0		3.0		0.1	
Mn	0.5		0.5		0.1		0.1		0.1		0.1		0,1	0.4	0.5		0,1	9.0	0.5		0.5		0.5		0.5		0.1	
Fe	1.3		1.3		9.0	r	0,12		0.2		0,15		1.0		Д-1.3		0,3	0.1	1.0		1,0		8.0		8.0		9.0	1,3
Mg	0.1		0.1				0,55	0,7	0,5	0,7	0.1		0.2	8.0	0,45		0,3	0,5	0.05	0.5	0,05	0,5	0,1	0.5	0,1	0,5	- 10	1
Cu	3.0	4.0	3.0	4.0	0.1		0,1		0.2		3.0	3.5	0.5	2.0	2.0	4.5	0.3	1.5	3.0	4.0	3.0	4.0	3,0	4.0	3,0	4.0	0,1	
Si	7,5	9.5	7.5	9.5	8.5	9,5	8.5	9.5	8.5	9,5	8.5	9.5	7.5	10	7.5	10	8.0	10.0	8,0	10.0	8.0	0.01	8.0	10,0	8.0	10,0	0.6	10,0
Марка	A380.0		B380.0		408.2		359.2		359.0		A305,3		AK9M2		AK8M3		AK9116		333.0		A333.0		333.1		A333.1		409.2	
Страна	CIIIA		CIIIA		CIIIA		США		CIIIA		CIIIA		ЬФ		ЬФ		ЬФ		CIIIA		CILIA		CIIIA		CIIIA		CIIIA	
№п/п	97		86		66		100		101		102		103		104		105		901		107		801		601		110	

Другие	1.		Sn	101	Ni,Sn		Su	*	Su		ı)		T		ı		1	100	Cr. Sn	0	Cr.Sn.		1		Ţ	
ŢŢ	ı		-		ı		1		-		ı		0,2		0,25		0,25		0,12		0.2		0.2		ı		1	
Z			0,1		0,5		5,0		0,5		0,1		0,1		0,5		0,5				0.2	0.3	0.2	0.3	0,3		5,0	
Zn	0,05		1,0		5,0		0.5		0,4		0,3		0,1		0.1		1,0		0,3		0.5		0,4		0.5		4	
Mn	0,05		1.0		0,35		0,35		0,35		0.2	0.5	0,1		0,5		0,5		0,2	0,35	0,25		0,25		0,2	0.5	0.3	0,0
Fe	9.0		0,7	1.1	1,3		2,0		0,1		3-0.6	Д-1	9.0		1.2		6.0		0,3		1.1		8.0		Д-1,3	3-0,9	Д-1,2	
Mg	0,45	9.0	0.45	9.0	0,4	9.0	6.4	9,0	0.45	9,0	0.17	0,3	6.0	1,3	6,0	1,5	9'0	1.5	0.23	0,3	0.4	9.0	0,45	9,0	0,2	0.4	0.1	0,5
Cu	0,1		1,0		9,0		9.0		9,0	_	0,3	_	2,0	4.0	2.0	4,0	2,0	4.0	0,1		0.5		0.5		0.1	ŕ		
Si	9.0	10.0	9.0	10.0	0.6	10,0	0,6	10.0	9.0	10.0	8.0	10.5	8.5	10.5	8,5	10.5	8.5	10.5	0.6	10,5	9.5	10.5	9.5	10.5	8.0	11,0	0.6	11.0
Марка	A360.2		360.2		A360.0		360.0		A360.1		АК9ч		332.2		332.0		332.1		АК9пч		361.0		361.1		AK9		AK10Cy	
Страна	CIIIA		CIIIA		CIIIA		США		CIIIA		Фф	•	CIIIA		CIIIA		CIIIA		ÞΦ	÷	CIIIA		CIIIA		ÞΦ	k •	ЬФ	
Near in	1111	100	112	711	113		114		115		116		1117		311		110	611	120	071	121	- 1	122	777	173	(71	124	

Окончание табл. П 1.1

Лругие		ı		ı	Sn (8)		Sn (8)		Cr (9)		V 20)					-
ī	0.2		0.2		0.2		0.2		0.2		0.1	0.5	0 1	0.2	0.1	0
ż			0.1		0.5		0.5		8.0	1.3	2.0	2.5	2.0	2.5	2.0	2,0
Zn	0.1		1,4		0.5	,	0.4		0.2		0,1		0,1		0.1	D
Mn	0,1		0,5		0.2	9.0	0.2	9.0	0,2	0,4	0,1		0,1		0,1	
Fe	9.0	0.1	1.0		1,5		1:1		6.0		1,3		8,0		0,1	
Mg	0,5	0.65	0.5	0.65	8.0	1,2	6.0	1,2	0.2	0,5	0.7	1,3	8,0	1,3	8.0	
Cu	4.0	5.0	4,0	5.0	0,4	0.8	0,4	8,0	2.2	3.0	0,7	1,1	0,7	1,1	0,7	1.1
Si	16,0	18,0	16.0	18,0	18,0	20.0	18,0	20,0	20,0	22,0	21,0	23.0	21,0	23,0	21,0	23.0
Марка	390.2		B390.1		392.0		392.1		AK21M2,5	H2,5	393.0		393.2		393.1	
Страна	CIIIA		CIIIA		США		CIIIA		ЬФ		CIIIA		США		США	
Nen/n	153		154		155		156		157		158		159		091	

¹⁶|Cr0,3...0,4;Sn0,1 ¹⁷|Sn0,05 ¹⁸|Sn0,3 ¹⁹|Cr0,3 ²⁰|V0,08...0,15. 11)Sn0,1 12)Sn0,35 13)(Sn+Pb)=0,3 14)Ni0,5,Sn0,15 15)Cr0,2...0,3,Sn0,1 6Be0,12 7Cr0,35 8Cr0,05 9Be0,2 10Cr0,25...0.5; Sn0,15 ¹Cr0,25 ²Sn0,15 ³Sn0,25 ⁴(Sn+Sb+Pb)=0,3 ⁵Cr0,1;Sn0,5

Сплавы алюминиевые литейные на основе системы Al-Cu

Другие	Ţ	1	Cr ^{I)}	(J.)	ر ا ک	V 3)		-	Ĉ.	Ę.J	ı	Sn	Ç.
Ti	0,2	0,2	0.25	0,25	0.06	0.06	0,25	0,25	0.07	0,07		0.15	0,07
Zn	0,1	0.2	0,35	0.35	0,05		0,1	1.0	0,1	0,1	3,0	0,05	1
z	1,7		1,7	1.7	1.9	1,9	0,35	0,35	1.8	1.8		0,03	1,8
Fe	9,0	0.8	1,0	0.8	0.3	16,0	6,0	1.2	9,0	9.0	0.1	0,1 0,2	8.0
S	9,0	3,5	0,7	7,0	0,35	0,35	3.5	2,5	0,35	9.0	0,05	0,15	9,0
Mg	v. «	0,03	2,1	E.1 8,1	1,9	1,9	0,1	0,1	1.3	1,3	0.4	0,2	1,2
Mn	0,1	0,3	0,35	0.35	0,15	0,15	5,0	5,0	0,1	0.	0,4	0,05	0,
Cu	3.5	3.5	3.5	3.5	3,5	3,5	3,5	3.5	3.7	3,7	5,4	4,2	3,7
Марка	242.2	208.2	242.0	242.1	243.1	243.0	208.1	208.0	A242.2	A242.1	249.0	204.2	A242.0
Страна	США	США	США	США	США	CIIIA	CIIIA	CIIIA	США	США	CIIIA	США	США
Моп/п	_	2	3	4	5	9	7	∞	6	10	=	12	13

Продолжение табл. П 1.2

Ті Другие		ı				ı		ı				ı	Age	٥	Ag ⁶⁾)	Ag ⁶⁾)	Ag71	0	Sn ⁵⁾			1	Sn		Sn ⁵⁾	
I	0.2	,	0.2		0.25		0,25		0,25		0,25	`	0.15	0,35	0.15	0,35	0.15	0,35	0.15	0,35	0.15	0.3	0.15	0.3	0.15	0.3	0,15	0,25
Zn	0.3	,	0.3		0,35		0,35		0,5		0,5			ı		1		I		ı		ı	0.05		0,1		0,05	_
ž		1				ı		_	0,35		0,35			I		1		1		ı	0,05		0.03		0,05		0,03	E
Fe	8.0		8.0		8,0		1.0		6,0		1,2		0,1	87	0,07		0,07		0,05		0,35		0,07		0,15		0,07	
Si	0.7	1.2	2,0	3.0	0,7	1,5	0,7	1,5	2,0	3,0	2,0	3,0	0,05		0,05		0,05		0,05		0,2		0.05		0,1		0,05	
Mg	0,03		0,35		0,03		0.03		0,05		0,05		0,15	0,35	0,2	0,35	0,2	0,35	0,25	0,35	0,15	0,35	0,15	0,35	0,15	0,35	0,2	0,35
Mn	0,3		6,0		0,35		0,35		0,35		0,35		0,2	0,4	0,2	0,4	0,2	0,4	0,2	0,5	0,1		0,2	0,5	0,2	0,5	0,2	0,5
Cu	4.0	5,0	4,0	5,0	4,0	5,0	4.0	5.0	4,0	5,0	4,0	5,0	4,0	5,0	4,0	5,0	4,0	5,0	4,5	5,0	4,2	5,0	4.2	5,0	4.2	5,0	4,2	5,0
Марка	295.2		296.2		295.1		295.0		296.1		296.0		A201.0		A201.1		A201.2		B201.0		204.0		A206.0		206.0		A206.2	
Страна	CIIIA		CIIIA		CIIIA		США		CIIIA		CIIIA		CIIIA		CIIIA		CIIIA		CIIIA		CIIIA		США		CIIIA		CIIIA	
№п/п	14		15		91		17		18		61		20		21		22		23		24		25		26		27	

Продолжение табл. П 1.2

Другие	Susi		Zr ⁸³		Age		$Ag^{6)}$		Sb,Co,Zr"		$Zr^{(0)}$		Sb,Co,Zr"		$V_{\star}Zr^{(1)}$		V,Zr ⁽⁻⁾				ı		ı				ı	
Ti	0,15	0,25	0.25		0,15	0,35	0,15	0,35	0,15	0,25	0,15	0,35	0,15	0,25	0,25		0,35		0,25		0,25		0,2		0,2		0,25	
Zn	90.0		1		ı								ı				1		2,5		2,5		1,0		0,1		8,0	
z	0,03		1.0		ı				1.3	1.7	1,0		1,3	1.7			ı		0,35		0,35		0,3	0,7	0,3	0.7	6,5	
Fe	0,1		0,15		0,15		1,0		0,35		0,2(3)	0,3(K)	0,5		0,04		0,1		1,2		6,0		0,4		0.5		1,5	
Si	1,0		0.2		0,1		0,1		0,2		6,3		6,3		0,02		90,0		0,1	3,0	1,0	3.0	5,0		0,5		2,0	
Mg	0,2	0,35	0,05		0,15	0,55	0,2	0,55	0,1		0,05		0,1				1		0,1		0,1		5,6	6.5	5,5	6,5	0,15	0,35
Mn	0,2	0,5	0,35	0.8	0,2	0,5	0,2	0,5	0,2	0,3	9,0	0,1	0,2	0,3	0,2	0,5	0,2	0,5	9.0		9,0		6,3	0.7	6,3	0,7	0,15	0,35
Cu	4,2	5.0	4,5	5,1	4,0	5,2	4,0	5,2	4,8	5,2	4,5	5,3	4,5	5,5	4.5	5.5	4.5	5,5	0,9	8,0	0,9	8.0	7,0	0.6	7,0	0.6	9,2	10,7
Марка	206.2		АМ4,5Кд		201.0		201.2		203.2		AM5		203.0		224.2		224.0		213.0		213.1		240.1		240.0		222.0	
Страна	CIIIA		ΡΦ		США		CIIIA		CIIIA		ЬФ		CIIIA		США		CIIIA		CIIIA		CIIIA		CIIIA		США		США	
№ш/п	28		29		30		31		32		33		34		35		36	1	37		38		39	1	40		41	

Окончание табл. П 1.2

Другие	ĺ	
Ή	0.25	1
Zn	8.0	1
ž	5,0	
Fe	12	1.5
Si	2,0	4.0
Mg	0.2	0.25
Mn	0,5	l
Cu	9.2 10,7	10,0
Марка	222.1	238.0
Страна	CIIIA	США
№п/п	42	43

⁵⁾Sn0,05 ⁶⁾Ag0,4...1 ⁷⁾Ag0,5...1 ⁸⁾Zr0,15 ¹Cr0,25 ²Cr0,2...0,4 ³V0,06...0,2 ⁴Cr0,15...0,25

⁹Sb0,2...0,3; Co0,2...0,3; Zr0,1...0,3 ¹⁰Zr0,2 ¹¹V0,05...0,15; Zr0,1...0,25 ¹²V0,1;Zr0,2.

Окоичание табл. И 1.3

Другие		Ni.Sn ³¹	Ni.Sn		Zr	I			- į
Ве	1	ī			1		0,005		
Ti		1	= 1, =	0.25	0,05	0,2		0,05	0,1
Zn	0.15	-	0.15	0,15	0,1	1.0	1	0,1	3,5
Cu	0,25	0,1	0,25	0,25	0,15	0,2	0.25		
Fe	8.1	7,0	1.1	0,3	0.2	0,2	0,3	6.0	0.5
Si	0,35	0.25	0.35	0,25	0,2	0,15	0,25	0,8	
Mn	0,35	0,1	0,35	0,15	0,1	0,1	0,18	+	0.2
Mg	7.5	6,5	7.6	0.01	5,6	9,6	9.5	10,5	1,5
Марка	518.0	518.2	518.1	585.0	AMr10	520.2	520.0	AMr11	AIĮ4Mr
Страна	CILIA	США	CIIIA	США	ΡΦ	CIIIA	CIIIA	ΡΦ	ΡΦ
Nonin	28	29	30	31	32	33	34	35	36

¹Ni0,25...0,4;Sn0,1;Pb0,1max ²Zr0,12 ³Cr0,005 ⁴Be0,003...0,007 ⁵Ni0,05; Sn0,05 ⁶Ni0,15;Sn0,15

Другие		Ni,Sn	Ni Sn	1	Zr			1	
Ве	1		1 =	ï		1	0,005	.	- 1 -
T		ı		0.25	0.05	0,2		0,05	0.1
Zn	0.15		0.15	0,15	0,1	0,1	1	0,1	3.5
Cn	0.25	0,1	0,25	0,25	0,15	0.2	0,25	ı	l
Fe	0.1	0,7	1,1	0,3	0.2	0.2	0,3	6.0	5.0
Si	0,35	0.25	0,35	0,25	0.2	0,15	0,25	0,8	1
Mn	0.35	0,1	0,35	0,15	0,1	0,1	0,18		0,2
Mg	7.5	2,6	0,7 7,8	0.01	9,5	9,6	9.5	10,5	1.5
Марка	518.0	518.2	518.1	585.0	AMr10	520.2	520.0	AMr11	AL[4Mr
Страна	США	США	США	США	ΡΦ	CIIIA	США	Φd	фd
Non/n	28	29	30	31	32	33	34	35	36

¹Ni0,25...0,4;Sn0,1;Pb0,1max ²/2r0,12 ³/Cr0,005 ⁴/Be0,003...0,007 ⁵/Ni0,05; Sn0,05 ⁶/Ni0,15;Sn0,15

Сплавы алюминиевые деформируемые

Таблица П 2.1

Нелегированный деформируемый алюминий

1c					Γ										Γ					Γ	<u> </u>
Другие	1		i	1			1		Ţ		-	1	Ţ	1	1		ı	1	I		ı
Ga	ı	0,005	1		1	1		0,03	0,03	0,03	0,03	0.03	0,03	0,03		0,03	I			0,03	1
Λ	ï	0,005	1	0,05	1	0.05	0,05	0,05	0.05	0,05	-	0.05	0,05	0.05	1	0,05	1	0,05	0,05	0,05	1
Ti	0,002	0,002	0,002	0,03	0,005	0,03	0,01	0,01	0,02	0,02	0,1	0,02	0,02	0,02	0,03	0,03	0,05	0,03	0,03	0,03	0,05
Mn	-	0,002	j	0,03	0,01	0,05	0,01	0,01	0,01	0,02	0,05	0,02	0,02	0,02	γ	0,02	0,02	0,03	0,03	0,03	0,025
Mg	i	900.0	-	0,03	0,01	0,05	10,0	10,0	0,01	0,02	-	0,02	0,02	0,02	1	0,02	0,07	0,03	0,03	0,02	0,03
Zn	0,003	900'0	0,005	0,05	10,0	0,1	0,03	0,03	0,03	0,03	1.0	0.03	0,03	0,04	0,05	0,03	0,02	0,04	0,04	0.04	0,07
Cn	0,003	900,0	0,015	0,05	0,01	0,1	0,005	0,02	0,02	10,0	0,05	0,03	0,01	0,1	0,02	0,03	0,015	0,04	0,04	0,3	0,02
S:	0,005	900'0	0,03	0,25	0,03	0,3	90,0	0,07	0,08	60,0		0,12	-		0,15	0,15	0,16	0,2	0,5	_	6,3
Fe	0,005	900'0	0,03	0,03	0.04	0,05	90,0	0,07	80.0	60,0	Fe.Si	0,1	Fe,Si2)	Fe,Si ²⁾	0,15	0,15	0,16	0,2	0.25	$0,3^{3}$)	0,3
Марка	АДон	AA1199	Адч	AA1065	AA1095	AA1040	AA1188	AA1090	AA1285	AA1180	AA1200	AA1085	AA1185	AA1175	АД000	AA1080	АД00 (1010)	AA1075	AA1070	AA1170	АД0
Страна	ΡΦ	CIIIA	PФ	CIIIA	CIIIA	CIIIA	CIIIA	CIIIA	США	CIIIA	США	CIIIA	CIIIA	CIIIA	ΡΦ	CIIIA	ΡΦ	CIIIA	США	CIIIA	ΡΦ
№ п/п	-	2	3	4	5	9	7	∞	6	10	=	12	13	14	15	91	17	18	19	20	21

Продолжение табл. П 2.1

No п/п	Страна	Марка	Fe	Si	Cu	Zn	Mg	Mn	Ţ	Λ	Ga	Другис
22	ΡΦ	АДІ	0,3	0,3	0,05	0,1	0,05	0,025	0,15	ı	ı	ı
		(1013)										
23	CIIIA	AA1060	0,35	0,25	0,05	0,05	0,03	0,03	0,03	0,05	1	t
24	CIIIA	AA1350	0,4	0,1	0,05	0,05	_	0,01	V,Ti	ī	0,03	B.C.
25	CIIIA	AA1250	0,4	0,2	0,1	0,05	0,01	0.01	V,Ti4)	¥	Ŷ	CLol
26	CIIIA	AA1055	0,4	0,25	0,05	0,05	0,05	0.05	0,03	0.05).	Ú.
27	ΡΦ	АДОЕ	0,4	0,3	0,05	0,07	l	- (0,05	1	1	ì
28	CIIIA	AA1345	0,4	0,3	0,1	0,05	0,05	0,05	0,03	0,05	I	U
29	CIIIA	AA1045	0,45	0,3	0,1	0.05	0,05	0,05	0,03	0,05	Ţ.	1
30	США	AA1435	0,3	0,15	0,02	1,0	0,05	0,05	0,03	0,05	ı	1
			0.5									
31	ΡΦ	РΥ	0,5	0,5	0,1	0,1	0,1	0,1	0,15	ı	1	ı
		(1015)										!
33	CIIIA	AA1145	Fe.Si7	1	0.05	0,05	0,05	0.05	0,03	0,05	Ü	1
33	CHIA	AA1135	Fe.Si		0,05	0,1	0,05	0,04	0,03	0,05	ı	I
3				I	0,2							
3.4	CIIIA	AA1030	9.0	0,35	0.1	0.1	0,05	0,05	0,03	0.05	1	1
35	CHIA	AA1035	9.0	0.35	0,1	0,1	0,05	0,05	0,03	0.05	N	Ţ
36	ΡΦ	AAC	9.0	0.5	0.1	0.1	Ţ	1	0.15	1	1	
37	CIIIA	AA1235	0.65	Ţ	0,05	0,01	0,05	0.05	90,0	0,05	1	I
38	CIIIA	AA1230	0,710)	-	0,1	0,1	0.05	0,05	0,03	0,05	I	{
39	США	AA1100	0,95	1	0.05	0,1	a.	0.05	ı	ı	ı	I
					0,7							

¹⁾(Fe+Si)0,1 ⁵⁾B0,05; Cr0,01 ²⁾(Fe+Si)0,15 ⁶⁾Cr0,001 ³⁾(Fe+Si)0,3 ⁷⁾(Fe+Si)0,56 ⁴⁾(V+Ti)0,02 ⁸⁾(Fe+Si)0,6

⁹⁾(Fe+Si)0,65 ¹⁰⁾(Fe+Si)0,7 ¹¹⁾(Fe+Si)0,95.

Сплавы алюминиевые деформируемые на основе системы Al-Mg-Mn

Лругие		V		1	Be 2)		1			Na 🦭			
Z		-	0	Y	-	ſ		-)(γ		
Zr	est 8			0.1		1		0.1					
J.		0,05		0,1				0,05				0,2	1
IL	0.1	0,05	1,0	0,1				0,1	0.1			0,1	0.1
Zn	0,3	0.05	0.2	0.1	0,1	0,1	0,3	0.05	0,1		0.1	1,0	0.50
Si	0,4	0.1	9.0	0,4	9,0	9.0	9,0	0,4	0,15	0.17	0,3	9.0	0.1
Fe	0,7	0.2	0,7	0,7	0.7	0,7	0.7	0.7	0.25	0,48	0,45	0,7	1.00
Cu	0.1	0,03	0,05	0,05	0,05	0,05	0.05	1,0	1,0	0,08	1,0	0,1	0.5
Mn	0,05	0,2	0,4	0,8	1.0	1,00	1,0	1.2	1.0	1.0	0,4	0.5	1,00
Mg	1							0.01	0.05	0,05	0,1	0,1	0.1
Марка	AA3102	AA3010	AA3107	AA3011	AA3203	AA3003	AA3303	AA3008	AMuC (1401)	АМцР	AA3207	AA3012	AA3014
Страна	CIIIA	CIIIA	США	CIIIA	СШЛ	CIIIA	CIIIA	США	ЬФ	РФ	CIIIA	CIIIA	США
Nen/n	_	C1	۳.	4	5	9	7	∞	6	01	=	12	13

Продолжение табл. П 2.2

Другие		V.Ga	1	ļ	Λ	!		-		1	1		Λ	
ī		1	1	ı	1	1			50,0		1	ļ	1	
Zr			1			i					ı		ı	
C	1.0		T)	0,1		0.1	1	0,15	0,15	0.3	0.05	0,15		
Ξ	-	ı	- 1	0,1	1	0,1	60.0	0,15	0.05	0,1	0.10		-	
Zn	0,25	0,05	0,15	0,15	0,05	0,25	1	0,15	0,1	0.2	0,20	0,10	50,0	0,05
Si	6,4	80,0	0,25	0.2	80,0	0,4	0,4	0.40	0,25	0,4	0,40		0.04	80.0
Fe	7,0	0,1	9,0	0,35	0.1	0,7	0,7	0,50	0,4	0.5	0,40	(Fe-Si)	0.05	0,10
Ç	0.2	1,0	0,2	0,15	0,1	0,25	0,18	0,15	0,1	0,1	0,10	0,04	0.10	0.10
Mn	1,0	0.05	0,4	0	0.1	0,2	9,0	0,10	0,1	0.5	0,20	10,0	0,10	0,10
Mg	- 0	c & 00	4, 6	1.5	1,6	1,7	1,9	1,70	2.4	1.6	1,80	2,20	2.20	2,20
Марка	AA5050	AA5250	AA5016	AA5151	AA5351	AA5051	AA5017	AA5251	5451	AA5049	AMr2 (1520)	AA5652	AA5552	AA5252
Страна	CIIIA	CIIIA	США	США	США	CIIIA	США	CIIIA	США	США	ЬФ	США	США	CIIIA
Мен/п	42	43	44	45	46	47	48	49	50	51	52	53	54	55

Продолжение табл. И 2.2

Пругие	>		1.1	i	:		V.Ga		V.Ga					1
Z	I	11					1		1			1		
Zr				i		j.								i
Cr				0,1	0.1		0,05	1.0				0,1	,	1
Ξ		1.0			(1,0	0,1	0,1	0.1	0,25			90,0
Zn		0,25	0.05	6,5	0,25	0,05	0.25	0,25	0.25	0,1	0,3	0,25	1	0.1
Si	1,0	9.0	0.08	0.15	0,3	0.12	0.4	0,4	9.0	0,7	0.7	0.3	0,1	80,0
Fc	0,12	0.8	1.0	0.7	0.7	0.17	0,7	8,0	8.0	0,7	0.25	0,7	1.0	0,1
Cu	0.15	0.3	0.2	0.03	0.2	0,2	0.05	0,1	0.05	0.1	1.0	0,25	0,1	1,0
Mn	0,1	0.5 0.9	0.15	0.1	0.2	0,15	0,7	0,4	0.8	1.0	1,3	0.0	0.2	0,03
Σ	† 8°	0.5	8.0	0.6	0,5	0,8	0,7	0,8	0.8	0.8	8.0	1.0	0,7	1.3
Марка	AA5557	AA3016	AA5457	AA5205	AA5005 (1530)	AA5357	AA5043	AA5006	AA3104	Д12 (1521)	AA3004	AA5040	AMr (1510)	AA5150
Страна	CIIIA	CIIIA	CIIIA	CIIIA	CIIIA	CIIIA	CIIIA	СШЛ	CIIIA	РФ	СШЛ	CIIIA	ΡΦ	CIIIA
Men n	28	29	30	31	32	33	34	35	36	37	38	39	40	4

Продолжение табл. II 2.2

17	0,05 0,25		0.05 Be ³	0.00	90.0		0.25		0 0.15	0 0.1	0.03	0.03	0.05		0,05	5 0.05
Zn II	1.50	0,25 0.15	0,20 0,02	+	0,01	-+	0,25 0,15	0,10 0,02	0,25 0,10	0.25 0.10	-+	0.1 0.03	0.25 0,15	0.7 0.20	0,1 0,06	0.05 0.05
Si	0,35	0,40	0,40	+	-		0,40	0.50	0.20	0.2		0.3	0.4	0.4	0.25	50.0
Fe	(Fe+Si) ¹³⁰	05.0	0,40	4	10.0	0.10	0,40	0.50	0,35	0.35		0.3	0,4	0,4	0,4	0.4
Cu	0,10	0,10	0,10		0,01	0,05	0,10	0,10	0,15	510	0,110	0,03	0.1	0.2	0,1	10
Mn	0.20	0,20	0.50	0.80	0.01	0.20	0,40	0,20	0.15	00	0,5	0.5	0.5	0.2	0,05	1.0
Ma	3.50	3,50	3,80	4.50	3.70	3.80	4.00	3,80	4.00	5.00	5.0	4,5	4.3	4.0	4.5	0.0
Manage	AA5280	AA5056	AMr4	(1540)	154104	1541	AA5083	1543	AA5082	F0347	AA5182	AA5283	AA5183	AA5014	AA5356	
	США	США	ЪФ		ΡΦ	ЬФ	CIIIA	ЬФ	США		CIIIA	СШЛ	США	CIIIA	США	
	Nen/n 70	71	72		73	74	75	92	77		78	62	08	18	82	

Продолжение табл. П 2.2

Thyrue	- CAD III		Be 24		(Mn=Cr) ¹⁰⁾		PbIII	(Cr. Mn) ^[2]			1			
ź							0,03		1)(1					1
Zr							0,05	-	i		1	1		
Cr	0,15	0.10	0.05		0.30	0,25	0,03	0.05	0,05	0,15	0,15	0,15	0,15	0,03
T		0.10	20,0	0.20	0.15	0.20	0.10	0,02	0,10	50.0	0,05	-	0,20	0,05
Zn	01.0	0.10	0,25	0,25	0,20	0,20	0.10	0.20	0.20	0,20	0,20	0,2	0,20	0,02
S	0.25		0.25	0,25	0,40	0.50	0.20	0,40	0.50			0,25	0,45	0,07
Fe	0,40	(Fe+Si) ⁹⁾	0,40	0,40	0,40	0,50	0,25	0,40	0,50	(Fe-Si)9)	(Fe⊤Si) ⁹¹	4,0	(Fe⊤Si) ⁹¹	0,07
Cu	0,10	0,10	01.0	0,10	0,10	0.10	0,03	0,10	0,10	0,05	0,05	1,0	0,10	0,02
Mn	0,10	0,10	0.50	0,50	0,50	0,00	0,30	0,40	0,30	10,0	0,01	0,1	0,10	0,02
Mg	2.20	2,20	2,40	2,40	2,60	2.70	3,20	3.80	3,20	3,10	3,90	3.1	3,10	3,50
Марка	AA5052	AA5352	AA5554	AA5454	AA5754	AMr3C	AA5013	1531	AMr3 (1530)	AA5254	AA5654	AA5154	AA5854	1541пч
Страна	США	CIIIA	США	США	CIIIA	ЬФ	СШЛ	Фф	РФ	CIIIA	CIIIA	США	CIIIA	 Ф
Nº07/11	99	57	58	59	09	61	62	63	64	65	99	29	89	69

Таблица П 2.3

Сплавы алюминиевые деформируемые на основе системы Al-Cu

Другис	(A)	16	Ga:V=		1				ı				1		1		,						1		ı	
Zn	0,25		0,5		0,2		0,25		0,2		0,3		0,3		0.3		0.3		0,1		0,1		0,3		ı	
ت	0,1		0.2		ļ		0,1		0.2)				ı		10,0	0.2	0,1		0,1		0,1		1	
Zr	ŀ		ı		I		ı		ı		ı				I				I		ı				I	
Ti	0,1		0,15		0,3		0,15		0,2		0.1		0,1		0,1		0,02	0,1	0,05	0,1	0,05	0.1	0,02	0,1	0,04	0.1
ź			1		0,2		ł				8.0	6.	0,1		0,1		0,1		0,4	0,7	6,0	4.	8.0	1.4	6.0	1,2
Fe	0,4		9.0		0,7		0,5		0,3		8,0	1,3	0,4		0,7		0,7		0,4	0.7	6,0	4,1	8,0	1,4	6,0	1,3
Si	0.5	×.0	5,0	1,3	8.0	1,3	0,5		0,35	8.0	0,5	1.2	0.7	1,2	0,7	1,2	0,7	1,2	0.1	0,25	0,1	0,25	0,35		0,1	0.25
Mn	0,3		0,1	0,4	9,0	1.0	0,1	0,4	0,2		0,2		0,4	8.0	0,4	8.0	0,4	8.0	0,1		0.1		0.2			
Mg	0,25	0,5	0,4	_	0.5	1.4	0,3	8,0	5,0	1.0	1,4	8.	0.4	8.0	0,4	8.0	0,4	8.0	1,2	1.8	1.2	8,1	1.2	1.8	1,3	2,8
Cu	0,7	_; 	8,0	1,2	0,1	2,0	1,4	2,2	1,5	2,5	6,1	2,5	1,8	2,6	8,1	2,6	8,1	2,6	2	2.6	2	2,6	1,9	2.7	6,1	2,7
Марка	AA2008		AA2038		AA2006		AA2037		AA2002		AK4	(1140)	АК6ч		AK6	(1360)	AK6-1		АК4-2ч	(1143)	АК4-1ч		AK4-1	(1141)	AA2618	
Страна	США		США		СШЛ		США		США		Φđ		ΡΦ		ΡΦ		Φd		ΡΦ	_	ΡΦ		ÞΦ		CIIIA	
№п/п	-		2		3		4		5		9		7		∞		6	1	10		1		12		13	

Продолжение табл. П 2.3

			T		T	_	7		\top		T		\top		Т		T		Т		T-	_	Τ-	_	T	_	_	
Лимгие		-				1		1		i	Bo3)	7			Ro4	3	Real	3	Rp31	3		I		1	Ri Ph Sus			
Zn	00	7,0	-	,,	0.05	67,0	0.25	1.0	0.1	40	-	,	200	3,	0.05	2	0.1	,	10	5	0.25		200	7,0	5 0	}	0.25	1
Ü		ı		Ļ	-	,	0	,,		1		ı			0.04	,,		ı		1	0		0 1	,	0	,	0.1	5
Zr		I		I		I		I		I		I		I	0.08	0		I		I		1		ı		i		1
I	0.0	7.0	0.1			ı	0.15		0.1		0.1	5	0.1		0.03	0.07	0.1		0.1		0.15		0.15		0.2		0,15	
ź	90	4.1		ı		1		ž.		1		ı				ı		ı	-	1						ī		ı
Fe	0.6	1.2	0.5	j	0.7		0.5		0.3		0.3		0.2		0,15		0,3		0.5		0,12		0,15		0,7		0,7	
Si	0.5	1,3	0.5	,	8.0		0,5		0,3		0,3		0,15		0,05		0,2		5'0	•	0,1		0,12		8,0		0,2	8.0
Mn	0.5		0.2	-	0.2	,	0,1	0,4	0.45	0,7	0,5	8.0	0,2	9.0	0,4	0,7	0,4	6,0	0,5	-	0,3	6,0	0,3	0,0	0,2	-	0,4	_
Σg	9.0	1.2	0.2	0.5	0.2	0,5	0,3	9,0	2	2,4	2,1	2,6	1,2	8,1	1,4	1,8	1,7	2,3	1,7	2,3	1.2	8,1	1,2	1,8	0,5	1,3	0,4	0,8
J	8.	2.8	2.2	m	2.2	n	2,2	3	2,6	3,2	3,2	3,7	2,8	3,8	3,35	3,85	3,8	4,3	3.8	4,3	3,8	4,4	3.8	4,4	3,3	4.5	2,5	4.5
Марка	AA2031		Д18	(1187)	AA2117		AA2036		ВД17	(011170)	Д19	(1197)	AA2048		1911		Д19ч		Д119	(1190)	AA2324		AA2224		AA2030		AA2017	
Страна	CIIIA		ΡΦ		CIIIA		CIIIA		ЬФ		ЬФ		CIIIA		ЬФ		ΡΦ		ЬФ		CIIIA		CIIIA		США		CIIIA	
Nen/II	14		15		91		17		<u>∞</u>		61		20		21		22		23		24		25		76		27	

Продолжение табл. П 2.3

Другие			ı				Be	33	Be		ı			15.00	Bı,Sn,Pb		ı		ı		1		1		ı		ı	
Zn	0,25		0.25		0,1		0.1		0,1		0.1		0,1		8.0		0,3		0.3		0,3		0,2		0,1		0,25	
Cr	0.1		0.1		I		1		1		ſ		I		1,0		1		ı				0,05		1		0,1	
Zr	ı		1		1		0,07	0,2	0,07	0.2	0.07-0,2	0,1-0,2	ı		ı		ı		ı		Ţ		80,0	0,15	1		1	
Ti	· ·		ı		0,01	0.07	0,03	0,1	0,03	0,1	0.03-0.1	0,08-0,15	1,0		0,2		0,1		0,1		0,1		0,15		0,1		0,15	
ź	1,7	2,3	1,7	2.3	0.05		1		ı		-				0,2		0,01		10,0		0.1		ı		0,05			
Fe	1,0		1,0		0,15		0,3		0,3		0,3		0,2		8,0		(Fe+Si)6)		0.7		0,7		0,12		0.3		0,3	
Si	6,0		6.0		0,1		0,2		0,2		0,2		0.25		8,0		5,0	0.7	0.7		9.0	1.2	0,1		0.2		0,2	
Mn	0,2		0,2		0,4	8,0	0.35	8.0	0,35	8,0	0.4	8.0	0,3	0,5	0.5	1,0	0,4	8.0	0,4	8,0	0.4	1.0	8.0	1,3	0,3	6,0	0,3	6,0
Me	0,45	6.0	1,2	8,-	1,2	9.1	2.3	2,7	2,3	2.7	2,3	5.9	0,15	0,3	6,4	2,8	0,4	8.0	0,4	8.0	0.4	8.0	1,3	1.9	1,2	1,8	1,2	8,1
Cn	3,5	4.5	3,5	4.5	3.8	4.5	3,8	4,5	3,8	4,5	3,8	4.5	3,9	4,5	3,3	4.6	3,8	4,8	3.8	4.8	3.9	4,8	4.2	4.8	3.8	4,9	3,8	4,9
Марка	AA2018		AA2218		1663		Д24(ВАД1)	(1191)	(ВАД-1ф		ВАД-ІП		B65	(1157)	AA2007		ДІч		Д1	(1100)	AK8	(1380)	AA2034		Д16ч		AA2124	
Стизна	CIIIA		США		PΦ		ΡΦ		ΡΦ		ΡΦ		ΡΦ		США		φd		ΡΦ		ΡΦ		СШЛ	ı	ΡΦ		США	
Non/m	28		29		30		31		32		33		34		35		36		37		38		39		40		41	

Продолжение табл. И 2.3

Другие					Bi			I					V; Cd*)		Be ⁹⁾		V.Be,Cd ¹⁰⁾		Bi.Pb		Pb ¹²⁾				V ⁽³⁾		V ^{[3)}	
Zn	0,25		0,3		0,5		0.25		0,25		0,25		0,10		0,10		0,05		0,30		0,10		0,1		0.10		0,10	
٥	0,1				0,1		0,1		0,1		0,1			l		l 					0,10	-				I		
Zr				!		l		I		l		ı	01.0	0.20				!			0,05		0,3	0,5		I	0,10	0.25
Ξ	0,15		1,0		0,2		0,15		0.15		0,15		0,15		0,05	0,15	80,0	0,14		I	0,20		0,05		0,02	0.10	0,02	010
z			0,1		0,2						-							1		ı	0,05		ı					
Fe	0,5		0,5		0,7		_		0,3		0.7		0.30		91,0	0,28	0,15	0.25	0,70		0,20		0,2		0,30		0,30	
S	0,5		0,5		8,0		0,5	1,2	6,5	1,2	0,5	1.2	0,30	0,10	0,07		0,07		0,40		0.20		0,2		0,20		0,25	
Mn	0,3	6,0	0.3	6,0	1,0		0,4	1,2	t '0	5	6,4	1.2	0,30	0,80	0,32	0.50	0,40	0,55			0,15	0.50	0,1		0,20	0,40	1,0	0.50
Mg	1.2	1,8	1,2	1.8	0,2	0,1	0,05		0,2	8,0	0,2	8,0	0,02		3,20	4,10	1,80	2,20			0,20	0,45	5,0		0,02		0,05	0.40
Cn	3,8	4,9	3,8	4,9	3,5	5	3,9	5	3,9	5	3,9	2	4,00	5.00	4,70	5.60	5,00	5,80	5.00	00'9	5.20	00'9	5,5	6,5	5,60	08.9	5,30	6,40
Марка	AA2024		Д16	(1160)	AA2005		AA2025		AA2214		AA2014		AA2003		1177		1151		AA2011		AA2001		AA2004		AA2021	100	AA2519	
Страна	CIIIA		ЬФ		CIIIA	1	CIIIA		CIIIA		США		CIIIA		ЬФ		ЬФ		CIIIA		CIIIA		США		CIIIA		CIIIA	
Леп/п	42		43		44		45		46		47		48		46		50		51		52		53		54		55	

№п/п	Страна	Марка	ರೆ	M	Mn	Si	Fe	ž	Ti	Zr	۲	Zn	Другие
56	ΡΦ	1205	5,80	0,02	0,30	0,30	0,30		0,02	80.0		0,10	Sn:Cd14)
			08'9		0,80				0.10	0.15			
57	США	AA2419	5.80	0,02	0,20	0.15	0,18		0,02	0,10		0,10	V ^[3]
			08'9		0,40				0,10	0,25		1	
58	ΡΦ	1201	5.8	0,02	0,2	0.2	0,3		0.02	0,1		0,1	(5)
			8,9		0,4				0.1	0,25			
59	США	AA2219	5,8	0,02	0,2	0,2	0,3		0,02	0,1		0,1	V ¹³)
			8,9		0,4				0.1	0,25	1	V.	
09	CIIIA	AA2319	5,8	0,02	0,2	0,2	0,3		0.1	0,10		0,10	V(3)
			8,9		0,4				0.2	0,25			
19	ФД	Д20	0,9	0,05	0,4	0,3	0.5		0,1	0,2		1.0	
		(1200)	7,0		8,0			l	0,2				l
62	Φd	1121	0,9	0,25	0,4	6,0	0,3		0,1			1.0	
		(1210)	7.0	0,45	8.0				0.2				

²(Ga0,05; V0,05 ³)Be0,0002...0,005 ⁴)Be0,0003...0,0008 ⁵(Bi0,2; Sn0,2; Pb0,8...1,5 1V0,05

⁹Beó,0008...0,003 ¹⁰V0,07...0,14: Be0,002...0,004; Co0,05...0,09 ¹¹Bi0,2...0,6;Pb0,2...0,6

"V0,005...0,2; Cd0,005...0,2

6)(Fe+Si)0,4 7)Bi0,2

¹²Pb0,003max ¹³V0,05...0,15 ¹⁴\Sn0,03; Cd0,1...0,2.

Таблица П 2.4

Силавы алюминиевые деформируемые на основе системы АІ-Мg-Si

0									Τ						Γ			_		_	Τ					_
Другие						i	V			I		ı				!		I		1	V-1		Be31		B ⁴¹	ì
Z		ı										1		1		ì		1					0.03			1
Zr		i			and the second			:						ı						1		ı	0.03			1
Zn	0.1		0.2		0,05	`	0.03		0.05		0.1		0.15		0.05		0.1		0.1		0.1		0.05		0.1	
٥	0.1			1		ı					0.1		0.05			ı	0.2		0.05		0.2		0.03		0.03	
Ξ	0,1										0,1		0.1			1			0,1		0.1	Š.	0,01	0,05		1
Cu	0,1	0.25	0.15	0,4	0,05		0.04	0.16	0.2		0,1		0,1		0.1		0,25		0.05	0,2	0,25		0,05	0,15	1.0	
Mn	0,1		0,1		0.05		0,03		0.05		0.1		0.1		0.2	9,0	0.05	0.2	0,05		0,05	0.2	0,05	0,15	0,03	_
Fe	0,1	0.3	8,0		0.12		80.0		0,15		0,35		0,1	0,3	0,1	0,3	0,35		0,15		0,35		0,15		0.5	-
M	0,8	1.1	0,4	8.0	9.0	0,1	0,45	6.0	0,45	6,0	0,45	6.0	0,35	9,0	0,4	0,7	0.4	8.0	5.0	8.0	0,4	1.2	0,45	0,75	0,35	<
S	0.2	0.4	0.2	0.5	0.35	0.55	0.2	9.0	0.2	9,0	0,2	9,0	0,3	9.0	0.3	9.0	0.3	9.0	0,4	9.0	0,3	0,6	0.4	0,65	0.3	t
Марка	AA6015		AA6951		АВч		AA6763		AA6463		AA6063		AA6060		AA6004		AA6106		AA6863		AA6014		1320		AA6101	
Страна	CIIIA		США		ЬФ		США		США		CIIIA		ЬФ		CIIIA	_										
Den/II	_		2		т		4		S		9		7		∞		6		01		-		12		13	

Окончание табл. П 2.4

						_					_		- 1		_						_		\neg
Другие	5		I	1		ı		I				Bi		i		I		I		I		ł	
ź			l			ı		ı		-				1		-		i	ļ	1		ì	
Zr	ı					ı		1		ı		ı		0.05	0,2	ı		1		1		1	
Zn	1,5	0.25		0,2		0,2		0,2		0,2		0,3		0.25		0,2		0.3		0,25		0.25	
Cr	0,3	1.0		0,1	a	ı		ı		0,25		6,0		0,05	0,25	0,1		0,04	0.25	0,1		0,4	
Ti	0.2	10		0.1		0,15	14	0,2		0,1		0,2		0,15		0,15		0,15		0,15		0,2	
Cu	0,4	51.0	9.0	0,1	S	0,1		0.1		0.1		0,1		0,2		0,2		0,2	0,7	0,15	0,4	0,7	1.2
Mn	8,0	0.0	× ×	0.15		6,5	6.0	0,4	0,8	0,4	1,0	0,4	1,0	0.05	0,25	0,2		0.2	0.7	0,4	1,0	9.0	1,1
Fe	0.1	0.5)	0.45		0,5	_	0,5		0,5		0.5		0,7		0,5		0,8		0,5		0,5	
Mg	9.0	7,0	0, 0	9.0	1,0	8.0	4	0,4	8,0	9,0	1,2	9,0	1.2	9,0	6.0	0,25	9.0	0,5	I,	0.5	1,2	8.0	1.4
Si	09,0	0.80	1.20	8.0	1.2	8.0	1,2	0,7	1,3	0,7	1.3	9,0	4.	6.0	1.4	1.0	1,5	0.7	1.5	1.0	1,7	6,0	8,1
Марка	AA6011	A A 6010	010000	A A 6081		АД35	(1350)	AA6351		AA6082		AA6012		AA6007		AA6016		AA6110		AA6070		AA6066	
Страна	США	VIII	CIII Y	CIIIA		ΡΦ		США		США		США		CIIIA		США		CIIIA	ı	США		США	
Моп/п	42	ç	÷	44	-	45		46		47		48		49		50		51		52		53	

¹\V0,05 ²\V0,05...0,2 ³\Be0,001...0,005

⁴⁾B0,06 ⁵⁾(Mn+Mo+Cr)0,03 ⁶⁾(Mn+Cr)0,12-0,5

⁷⁷Si45...65%от концентрации Мg. ⁸¹Bi0,7.

Сплавы алюминиевые деформируемые на основе системы Al-Zn

						_	т	т					,
Другие		ı			Bell	Bell	Be	1	-	ī	Ce ²⁾		
Ņ	0,2	ı	i	1	1	1	ı				1	1	-
Si	1,5	0,7	0,25	9,0	0,2	0,2	0,2	0,35	0,3	0,7	0,3	0,5	0,25
Fe	1,5	Fe+Si	9,0	7.0	0,3	0,3	0,3	0,45	0,4	7,0	0,4	2,0	0,4
Ti	(Ti+Zr) 0.2		1	1	0,2	0,2	0,15	0,15	1,0	1,0	ı	1,0	0,1
Cr	0,25	ı	i	-	1	ı	1	0,05	0,08	0,2	0,2	0,18	
Zr	J				ı	0.1	0,2	İ	0,15	0,1	0,15		1
Mn	0,2	0,1	0,05	1,0	0,0	0,6	0,45	0,1	0,0	0,2	0,2	1	1
<u>ನ</u>	1,0	0,1	0,05	1,0	0.05	0,05	0,05	0,15	0,1	8,0	0,2	0,8	0.03
M	3.0	0,1	0,9		3,9	3,9	4,4	1,7	£,1 8,1	1,3	0,6 1,1	1,7	6,0
Zn	0,8 0.4	0,8	1,3	1,5	2,9	2,9	3,3	3,0	3,4	3,4	3,6	3,7	3,6
Марка	1905	AA7072	AA7472	AA7013	B92 (1920)	В92Ц	В92св	AA7051	1915	1925	1935	AA7277	AA7104
Страна	ΡΦ	CIIIA	США	США	ΡΦ	Φ	ЬФ	США	ΡΦ	ЬФ	ЬФ	ΡΦ	CIIIA
№п/п		CI	3	4	5	9	7	8	6	10	11	12	13

Продолжение табл. II 2.5

Другие			I		ı						1		ı		ı		ı				V^3		ı		0			
ź	***		Ī		0,1														3									
Si	0.2		0,25		0,35		0,3		0,3		0,25		0,15		0,3		0,3		0,3		0,1		0,5		0,35		0,35	
Fe	0,3		0,4		0,45		0,4		0,5		0,35		0,2		0,4		0,4		0,4		0,12		0,5		0.4		5.0	
T	!		0.1		0.15		0,1				0,05		0,1		0.1		0,1		0,1		0,03		0,01	0.2			0,01	90.0
Cr	0,07	0,25	l		0.2		0,15	0.25	0,1	0.25	0,05		0,1	0.25	0,1	0,25	0,05	0,35	0,05	0,35			0,1	0.25	0.1	0,35	90,0	0,2
Zı	0,13	0.22	0.05	0.3	0,1	0.25	. 1		į	:	0,1	0,2													80.0	0.2	80.0	0.2
Mn	0,2	0.5	0,1	0,4	0.15	0,5	0,1	0.4	0.2	0,5	0,2	0,7	0,1	0,3	0,1	0,3	0,1	9,0	0,1	9,0	0,03		0.1	0,5	0.05	0,5	0.2	0,7
Cu	0,1	0,20	0.1	0,3	0.2		0,1		6,3	0,1			0,4	8.0	0,4	8,0	1,0	1	0,1		0.45	1,0	0,1		0,2		1.0	
M	1,6	2,1	0,7	1,1	1,5	2.5	2,3	3,3	1.6	7	1.0	2.0	2,9	3,7	2,9	3,7	0.5	1,0	8,0	1,5	8.0	4.1	1.0	4.1	1.0	4,1	1.0	8
Zn	3,8	4,4	3,5	4,5	3,5	4,5	3,5	4,5	3,7	4,5	3,8	4,6	3,8	4,8	3,8	00,4	3,0	5,0	3,0	5,0	4,0	5,0	4.0	5,0	4.0	5,0	4,0	5.0
Марка	1911		AA7027		AA7019		AA7039		B91	(1913)	AA7004		AA7179		AA7079		AA7024		AA7025		AA7016		AlZnMg1)	AA7020		AA7005	
Страна	ЬФ		CIIIA		США		США		ЬФ		США		США		CIIIA		США		США		CIIIA		ЬФ		США		США	
Nen/n	14		15		91		17		18		19		20		21		22		23		24		25		26		27	

Продолжение табл. П.2.5

Другие	(Mn+Cr)		V.Ga		\A		V.Ga ⁵⁾		V.Ga							ı		ı	Be ⁸⁾		Ce		Ce ¹⁰⁾					ı
ī	0.1					ı		1		1				!						1		i -		1				ı
Si	0,35		0,15		90,0		0,15		0,1		0,5		0.35		0,08		0.2		0,25		0,3		9.0		0.15		0,1	
Fe	0,45		0,3		80.0		0,5		0,12		0,5	,	0.5		0,12		0.3		0,35		0,7		0,7		0.2		0,1	
Ę	0,15		0.05		0,05		0,05		0,05				0.05		0.05		0,1		0,03	0,01	0,1		0,1		0.05		0,05	
Cr	0,35					1	0,1	0			0.1	0,3	0,2				0,15		0,12	0,25	80,0	0,15	0,2		0.05	0.2	0,12	0,25
Zr	0,1	0,25						I			(Ti+Zr)6)		(Zr+Ti)		0.09	0,14	0,1	0,2	0.07	0,12	0,1	0,22	0.1	0,21				
Mn	0,05	0.2	0,05		0,03		0,1		0.03		0,1	0,4	0,15	9.0	0.05	0,2	1,0		0,05	0,15	0,2		0,2	0,7	0,1	0,3	0,05	
Cu	0,2		0.5		0,5	6,0	0,5	6,0	0,5	6.0	0.5	1,0	0,1	0,3	9,0	6,0	90,0	0,15	0,2		0,2	9,0	0,2	8,0	0,05		0,05	
Mg	2,0	3.0	8.0	<u>4</u> ,	1,3	2,0	1,3	2,0	1,3	2,0	2,6	3,7	1.5	2,3	1.5	1.9	1,3	2,1	2,1	2,6	0,7	1,2	1,0	1.5	1.0	9,1	0,7	4, -
Zn	4,0	5,2	4	5,2	4.2	5,2	4,2	5,2	4.2	5,2	4,3	5.2	4.5	5,2	9.4	5,2	4.6	5,2	4.7	5,3	4.6	5,4	4,7	5,4	4.0	5,5	4.5	5,5
Марка	AA7017		AA7116		AA7229		AA7129		AA7029		AA7022		AA7028		AA7026		AA7015		1903		1955		1925y		AA7011		AA7008	
Страна	CIIIA		CIIIA		США		США		CIIIA		США		CIIIA		CIIIA		CIIIA		ЬФ		ЬФ		ЬФ		CIIIA		США	
Мен/п	28		56		30		31		32		33		34		35		36		37		38		39		40		14	

Продолжение табл. П 2.5

Nentra	Стияна	Manka	Zn	Mg.	Cu	Mn	17	Ü	Ξ	Fe	Si	Z	Другие
42	CIIIA	AA7108	4.5	0.7	0,05	0,05	0,12		0.05	0,1	0,1	i	
1			5,5	4			0,25						
43	CIIIA	AA7018	4,5	0.7	0,2	0,15	0,1	0,2	0.15	0.45	0,35	0.1	ı
			5.5	1.5		0.5	0.25						ļ
44	CHIA	AA7030	200	0.1	0,2	0,05	0,03	0.04	0.03	0,3	0,2		Ga.
			5.9	1.5	0,4								
145	CILIA	AA7023	0.4	2.0	0,5	0,1		50,0	0,1	0,5	0,5	ı	ı
			0.9	3.0	0.1	9,0		0.35					
46	CIIIA	AA7021	5.0	1,2	0,25	1,0	80,0	0,05	0,1	0,4	0,25		i
			0.9	<u>~</u>			0,18						
47	CIIIA	AA7175	5.1	1,5	1.2	1,0		0,18	1.0	0,2	0.15		ı
			1,9	2,9	2.0			0.28					
48	CILIA	AA7075	15	1.7	1.2	0.3		0,18	0.20	0,50	0,4	1	1
			6.1	2,9	2,0			0.28					
49	CIIIA	AA7475	5.2	6.1	2.	90,0		0,18	90,0	0,12	0.1	ı	ı
			6,2	2.6	6.1			0.25					
50	CIIIA	AA7014	5.2	2,7	0.3	0,3	(Ti-Zr)")			0,50	0,5		1
			6,2	3.2	0,7	0,7							15
51	ΡΦ	1061	5.4	2,4	0.2	0,1	0.07	0.12	0,03	0,3	0,2	ı	Be
			6.2	3,0		0.3	0.12	0.25	0,1			ı	
52	ΡΦ	1953	5,6	4,5	0,4	0,1	0,1	0,15	0,02	0,25	0,2		
			6.2	3.0	×.0	0,3		0.25	0,1				
53	Φд	1973	5.5	2,0	4,	0.1	80.0	50'0	0,02	0,15	1,0	Ì	i
			6,3	2.6	2,0		0.16		0.07				
54	CIIIA	AA7003	5.0	0,5	0,2	0,3	0.05	0.20	0.2	0,35	0,3		ŀ
		i.	6.5	0.1			0.25						
55	Фф	В95оч	5.0	0.1	₽, -	0.2		0,05	0,15	0,15	0.1	0,1	i
			6,5	2,8	2,0	9.0							

Продолжение табл. П 2.5

Другие		1	Ag 121	o o		1		1		1		I		ļ		1		1	Co.O 13)		Be ^[4]			1		1	
ïZ	0.1					ı		i	0.05			1					0.1		-	1		ı					
Si	0.1		0.2		0,15		0,1		0,12		0,12		0.2		0,12		0.5		0,12		0,1		0.3		0.4	1	1,0
Fe	0.05	0,25	0.2		0,25		0,15		0,15		0,15		0.2		0,15		0,5		0,15		0,0	0.15	0.2	0,45	0,5		0,2
Ţ	0.05		0.20		0,02	0,08	0,1		90,0		90.0		0,02	0.08	90,0		0,05			-	0,03	90,0	0,10		0,20		1,0
C	0.10	0,25	0.10	0.25	0.04		0.04	80,0	0.05		0,04		0,05		0,04		0,1	0,25		1	0.05			ı	0,18	0,28	1
Zr		I		I	0.02	0.08	0,1	0,2	0,1	0.16	0.08	0,15			0.08	0.15				I	0,10	0,18					I
Mn	0.2	9,0	0.1		80,0	0,15	0,1		0,1		0,1		0,1		0,1	2	0,2	9,0			0,1		0,1		0,3		0,10
Cn	4.	2,0	9,0	1,3	8,0	1,2	8.0	1,3	1,5	2,0	2.0	2,6	8,1	2,4	1,9	2.5	1,4	2,0	1,1	1,8	8.0	1,2	8,0	1.2	9,1	2,4	0.8
Mg	1.8	2,8	2,1	2.9	1.8	2.2	2,2	2,7	2.1	2,6	1.9	2,6	1,2	9.1	2,0	2,7	8,1	2,8	2.0	3.0	9.1	2.2	1,6	2,2	2,4	3,1	1.6
Zn	5,0	6.5	5,5	6.5	5.8	6.5	5,8	6.5	5,7	6.7	5.7	6.7	5.9	8,9	5.9	6.9	5,0	7,0	5,8	7,1	6,35	7.2	6.3	7,3	6,3	7,3	6.5
Марка	В95пч		AA7009		AA7012		AA7109		AA7010		AA7050		AA7022		AA7150		B95	(1950)	AA7091		В93цоч	(1933)	B93	(1930)	AA7178		В93пч
Страна	ΡФ		CIIIA		CIIIA		США		CIIIA		CIIIA		CIIIA		CIIIA		ЪФ		CIIIA		ЬФ		ЬΦ		CIIIA		- Фа
Леп/п	99		57		58		59		09		19		62		63		64		65		99		. 89		69		70

Продолжение табл. П 2.5

Другие	Ţ		PP 160		Co								1		d		Co; Bein		1)						ı	
ź			j		1						j								1		ı							
Si	0,15		0,15		0.3		0.2		0,2		0.15		0.35		0,4		0,1		0.15		0,25		0,25		0,1		0,1	
Fe	0,2		0.2		0,3		0,4		0,4		0,15		0,4		9,0		0,1	0,4	0.2		0,35		0,35		0.15		0,20	
T	0.03		1,0		1		90.0		90.0		ŀ		0.2		0.2		0.03		0.1		0,1		0,1		0,05		0.05	
Ç	0.17	0,25	0.15	0,35	0,05		ı		0,2		90.0	0,25	0.18	0,35			0,05		0,1	0,22	0,1	0,22	0.1	0.22	0.04		0,05	
Zr			(Zr+Ti)		AANS-		0.1	0.18	0,1	0,18	0,1	0,5			ļ		0,10	0,20							80.0	0,25	0.1	0.2
Mn	0.02		0.20		0,05				0,3		ı		0,20		0.3	8,0	4 t	3,0	0.2		0,2		0.2		0.05		0,05	
Cn	9,1	2.2	1.8	2.6	8.0	1,2			0,25		1.8	2.4	1,6	2.6	0,3	0.1	2,0	2,6	1.2	1.9	1,2	6.1	1,2	6,1	2.0	2,6	1,4	C1
Mg	2.5	3.2	1.3	2.1	9,1	2.2	1,0	9,1	0,1	9,1	6,1	2.9	2.6	3.4	1.2	2,0	2,4	3,0	2,0	2,9	2.0	2,9	2.0	2,9	00,	2,3	1.7	2.3
Zn	9,9	7,4	6.1	7,5	6,5	7.6	9,9	7.6	9,9	7,6	8.9	8.0	8,9	8,0	7,0	8.0	7,5	8,0	7.2	8,2	7.2	8,2	7.2	× Ci	7,6	8,4	7,6	9,8
Марка	AA7278	and distances	AA7060		В93кц		AA7146		AA7046		AA7064		AA7001		AA7076		1975		AA7149	•	AA7049		AA7049		AA7055		В96ц-3	-1965
Страна	США		США		Φd		CIIIA		CIIIA		CIIIA		CIIIA		США		ЪФ		CIIIA		США		США		CHIA		ΡΦ	
Nin n	71		72		73		74		75		76		77		78		79		80		-8		82		83		**************************************	

Окончание тобу П 2 5

2	Г	_	_	_	_	Т		_	_			Ţ-		_	-		
Oronstanue mao, i. 11 2.3	Приста	A PVINC	(610.00	0,00			I		Bo.300	20			1			ľ	
יו ינוחווו	ž	2		1						-					Ī	1	
2	Ü	101	0.12	1		0.0	;		0 1			10			Ç	2,0	
	Fr	ر د	0 15	:		0 3	1	_	0.15			510	2:5		40	t, 5	
	Ξ	7		I		0.05			0.05)		-	1		0.03	50.0	
	Ċ	5		1	1	0.05			0.1			0.05)		0.05	0,0	
	Zr					0,1	0.16	0.10	0.1	0.16	0,10	-0	. (7,0	10	,,	0,2
	Σ			1		0,3	0.6	2	0,2	50	3	0.1			0		
	J	,	9,0	3		2,3	2.6		7	2.6	i	7	, ,	2,0	2	,	7.0
	Σ		7	m		2.3	2,8		2,3	r		2,3	,	0	2.3		0
ľ	Zn	,,	۲,3	8.7		×	8,8		∞	∞ ∞		×	0		∞	0	,
	Марка	A A 7000	1 060/VV		DOCTE	B96∐-1			B9611104		2000	Вубц пч	(1960пп)	(1,1700/1)	В96п	1060	00/1
	Страна	CHIA	ξ Ε Ε		+0	ф <u>-</u>			ЪФ		2	₹.			Ьф		
N. r.) lake	Y	Co		70	00		10	0		22	00			68		

Be0,0001...0,0005 ²⁾Ce0,0001...0,005 31V0,05

113 Ga0,03

¹²⁾Ag0,25...0,4 ¹³⁾Co0,2...0,6; O0,2...0,5 ¹⁴⁾Be0,0001...0,02

¹⁵⁾(Ti+Zr)0,2max ¹⁶⁾Pb0,003

Co0.05...0,1

⁴((Mn+Cr)0,15 ⁵(V0,05;Ga0,03 ⁶(Ti+Zr)0,2 ⁷(Ti+Zr)0,08...0,25 ⁸Be0,0002...0,005 ⁹(Ce0,001...0,1 ¹⁰(Ce0,005...0,1

¹⁸/Co0,4...0,8; Be0,0001 ¹⁹/Co1...1,9; O0,2...0,5 ²⁰/Be0,002.

Сплавы алюминиевые деформируемые на основе системы Al-Si

Другие	ì	Co D	Bi ²⁾		Be		!	Be 31	Be 3)	Be	-	(1
z	-	0,15		_	-	I		١		-	_	ı	- j -
Zr	ı	_	1	1	_	ı			ı	_	ı		1
Cr	0,2	0,05	ı		i	ı	0,05		ı	ĵ			
Ti	ı	1,0	0.02	0,15	0,2	0,2	1.0	0,04	0,2	0,04	ı	1	
Mn	0,03	0,8	0.03	50,0	0.1	0,05	0,05	0,05	0.1	0.1	0,1	0,1	0.1
Zn	0,05	0,1	50'0	1,0	1,0	1,0	0.1	0,05	0,1	1,0	0,2	0,2	0,2
Fe	0.5	0,4	0,35	8,0	0.2	8.0	0.5	60*0	0,2	0,2	8*0	8.0	8.0
Cu	50.0	0,2	0.05	0,	1.0	0,3	0.1	50,0	0,2	0,2	0,25	0.25	0.25
Mg	10,0	0,2	0.05	0,1	0.45	0.05	0,1	0,3	0,3	0,45			1,0
Si	0,8	1.0	3.5	3,6	5,5	4.5	5,0	6,5	6.5	6,5	8,9	4,8	9.0
Марка	AA4006	AA4007	AA4013	AA4643	AA4009	AA4043	AA4543	AA4008	AA4010	AA4011	AA4343	AA4044	AA4004
Страна	CIIIA	CIIIA	CIIIA	CIIIA	СШЛ	CIIIA	США	CIIIA	CIIIA	CHIA	CIIIA	CIIIA	CIIIA
Леп/п	_	2	3	4	5	9	7	∞	6	10	=	12	13

Troad

1	-	_	Fe Zn	Cu Fe Zn	Mg Cu Fe Zn	Si Mg Cu Fe Zn	Mapka Si Mg Cu Fe Zn
-	0,1	0,2		0,8 0,2	0,25 0,8 0,2	9.0 1,0 0,25 0,8 0,2	AA4104 9.0 1,0 0,25 0,8 0,2 0,2 10,5 2.0
	,2 0,15	0,2		0.8 0,2	3,3 0,8 0,2	0.15 3.3 0.8 0.2	9,3 0,15 3,3 0,8 0,2 10,7 4,7
	50,0 1,1	0,1	0,8 0,1	0,8 0,1	0.05 0.3 0.8 0,1	0,05 0,3 0,8 0,1	9,0 0.05 0,3 0,8 0,1
	1,2 0,15	0,2		0,8 0,2	0,3 0,8 0,2	0,1 0,3 0,8 0,2	11.0 0.1 0.3 0.8 0.2
1, 1, -	5, 0,3	5,0		6,7 0,5	0.8 1,5 0,7 0,5	0.8 1,5 0,7 0,5 1,3 3	11,0 0.8 1,5 0,7 0,5 13,0 1,3 3
5 1		0,25	1,0 0,25	0,25	0,5 1,0 0,25	0,8 0,5 1,0 0,25 1,3 1,3	11,0 0,8 0,5 1,0 0,25

1)Co0,05 2)Bi0,6...1,5 3)Be0,0008 max 4)Be0,004...0,07 5)Bi0,02...0,2 6)B0,005;\$n0,02;Pb0,1.

Сплавы алюминиевые деформируемые (прочие)

Другие	V.Sn.Bi	į.	В	В	Y		B ⁺)	10	(Ti+V)B	B.L.i	8		Ga
Zn	0,005	0,03	0,05	0,05	0,4	0.05	0,05	0,05	0,05	0,05	0.05	0.2	0.1
Zr						Ü		-	!		,	0,1	
ن	1	i	ı)	0.2	1	1		0.01	1	ı	- 1	
Tı		0,3			0,1		-	1		1			5
Mg		0,02	0.1	0.04	0,1	1	0,005		0.02	0.01	0,08		-
Cili	0.005	0,03	50,0	0,04	0,1	0,15	0,15	0.05	0.035	0.1	0,04	11.2	1
ī			1			0.9		1					
Mn	0,005	0,02	:	ı	0,1				0,01		ı	0.05	
Si	0.1	0.15	0,1	0.1	0.4	0,17	0.1	0,2	0,25	1,0	0,1		0,03
Fe	0.1	0,15	0.1	0,25	0.35	0.45	0,3	0,4	0.5	0.55	9,0	(Fe-Si)	0.4
Марка	AA8020	AA8004	AA8077	AA8177	AA8010	AA8001	AA8030	AA8005	AA8276	AA8017	AA8076	AA8040	AA8176
Страна	CILIA	США	США	CIIIA	CIIIA	США	США	США	США	CIIIA	CIIIA	США	VIII
Nen n	1	2	3	+	S	9	7	×	6	10	=	12	13

Продолжение табт П 2.7

Другие						I			I		I		I		I		1
Zn	0,1		0,1		0,1		0.1	0,1		0,1		0,1		8.0	00	0.1	9
Zr				-		1									ı		
C			0,05		0,05		0,2						ı				
Li	4		80,0		80.0		0.2		ı	0,1		0,1			I		ı
Mg			0.05		0,05		0.7					0.1		0,1		0,1	
Cn	0,05	0,15	0,1		0,1		0,4	0,05		0,2		0,2		0.1		0,3	
Z	ı									1							
Mn	ı		0,1		0,2		9,0			0,5	1,0	0,2	9,0	0.3	1.0	0,3	0 1
Si	0,15		0,3	1.1	0,5	1	0,1	0,05	0,3	9,0		0,3		0,4		0,4	
Fc	0,4	1,0	0,4	1,0	9.0	1,0	1,0	0,7	1,3	6,0	9,1	1,2	9,1	1.2	2,0	1,2	2.0
Марка	AA8130		AA8111		AA8011		AA8112	AA8079		AA8008		AA8014		AA8007		AA8006	
Страна	США		CIIIA		CIIIA		CIIIA	CIIIA									
Nen/n	14		15		91		17	8		61		20		21		22	

¹V0,05; Sn0,1...0,25; Bi0,1....0,5 ²B0,05 ³B0,04

⁺B0,001-0,04 ⁸⁾(Ti+V)0,03; B0,02max ⁶⁾B0,04; Li0,003 ⁷⁾(Fc+Si)1 ⁸⁾Ga.

Силавы алюминиевые деформируемые с литием

Другие	Sc:Na ¹¹			Official Colors of the Colors	Ce, Be, Na ²		Na				Na; Be4)				l		ı		1	
Cr			0,10		0,05				0,05		0.05		0,05		0,1		0.1		0.05	
Zn	ì		0,25		ı				1,0		0.1		0,10		0,25		0.25		0.1	
Si	0,1		0,2		1,0		0,15		1,0		0,02	0.1	0,1		0,2		0,3		0,1	
Fe	0,15		0.30		0,15		0.20		0,12		0,03		0,15		0,3		0.5		0,15	
I	0.1		0.1		0.01	90.0	0,1		0,15		0.02	0.1	0.15		0.1		0,1		0,15	
Mn			0,1		1,0				0,05		0.05		0,05		0,1		0,1		0,05	
Zr	90,0	0,1	0,04	0,16	800,0	0,14	80,0	0,15	0.08	0,15	0.1	0.2	0.08	0,15	0.04	0,16	0.08	0,16	80,0	0,15
Mg	4,X	5,2	1.1	6.1	1,0		4,5	0,0	0,25		9,0		6.0	1.4	9,0	1.3	0,5	5,1	6,0	1,4
Cu	0.04		8,1	2.5	2,6	3,3	0,05		2,4	3	1.2	6.1	0.5	8.0	1,0	1,6	9,1	2,2	4.0	0.7
r.	6,1	27	1.7	2,3	8,1	2,3	6,1	2.3	6,1	2.6	2.1	2,6	2,1	2,7	2.2	2.7	4.5	2,8	2,3	2.9
Марка	1421		AA2091		1450		1420		AA2090		1440		AA8092		AA8090		1608AA		AA8192	
Страна	ΡΦ		CIIIA		ЬФ		фд		CHIA		ΡΦ		CIIIA		CIIIA		CIIIA		CIIIA	
Nen II	-		C1		3		4		30		9		7		~		6		01	

¹Seo, 16...0.2: Na0,0015 ²Ceo,005...0,05. Beo,008...0,1; Na0,02 ³Na0,0006 ⁴Na0,003: Beo,005...0,2

Приложение 3

Таблица П 3.1

Промышленные литейные магниевые сплавы РФ

		Высо	копрочные	сплавы		
Марка	Al	Mn	Zn	Zr	Cd	прочие
МЛ4	5,07,0	0,150,5	2,0,,,3,0			
МЛ5	7,59,0	0,150,5	0,20,8	_	_	
МЛ6	9,010,2	0,10,5	0,61,2		_	
МЛ8			5.56,6	0,71,1	0,20,8	
МЛ12		_	4,05,0	0,61,1	_	-
МЛ15			4,05,0	0,71,1	_	La (0,61,2)
МЛ18		10-0	7,08,0	0,71,0		Ag (1,21,6)
		Жар	ропрочные	сплавы		
Марка	Nd	Y	Zr	Zn	In	примеси
МЛ9	1,92,6		0,41,0		0.20.8	0,35
МЛ10	2,22,8		0,41,0	0,10,	7	0.2
МЛ19	1,62,3	1,42,2	0,41,0	0,10,	5 –	0,25
ВМЛ7						

Таблица П 3.2

Промышленные деформируемые магниевые сплавы РФ

	Выс	окопрочные	сплавы си	стемы Мд	-Al-Zn		
Марка	Al	Mn	Zn		прим	теси	
MA2	3,04,0	0,150,5	0,20,8	0,005 %	6 Ni, 0.05	% Fe, 0,	l % Si
M2-1	3,85,0	0,30,7	0,81,5	0,004 %	6 Ni, 0,04	% Fe, 0,	1 % Si
МА2-1пч	3,85,0	0,20,6	0,81.5	0,001 %	Ni, 0,005	% Fe, 0.0	01 % Si
MA3	5,57,0	0,150,5	0,51,0	0,005 %	6 Ni, 0,05	% Fe, 0,	l % Si
MA5	7,89,2	0,150,5	0,20,8	0,005 %	6 Ni, 0,05	% Fe, 0.	l % Si
	Выс	окопрочные	сплавы си	стемы Мд	-Zn-Zr		
Марка	Zn	Cd	Nd	La	Ce		Zr
MA14	5,06,0					0,.	30,90
MA15	2,53,5	1,22,0		0,71,1		0,4	150,9
MA19	5,57,0	0,21,0	1,42,0		_	0.	50,9
MA20	1,01,5				0,12(0,0	050,12
		Жар	о <mark>прочные</mark> с	плавы			
Марка	Nd	Mn	Zr	Ni		примес	1
MAII	2,53,5	1,53,5		0,10,22	0,1 9	% Al; 0,03	% Fe;
						0,2 % Z	n
MA12	2,53,5		0,30,8		0,05	% Al; 0,0	5 % Fe;
					0,1	% Zn; 0,0	005 Ni
		кие деформ	ируемые сі				
Марка	Lı	Al	Zn	Mn	Sn	Cd	Ce
HMB1	4,56,0	5,06,0	0,61,2	0,20,8	0,61,2	_	
(α)		1					
MA21	7,010,0	4,06,0	0,82,0	0,10,5	-	3,05,0	-
(α+β)							
MA18	10,011,5	0,51,0	2,02,5	0,10,4			0,15
(β)							0,35

Составы промышленных магниевых сплавов по стандартам разных стран (% масс.)

Сплав	Al	Mn*	Th	Zn	Zr	Другие
		Sand and per	manent mo	old castings		
AM100A	10,0	0,1				
AZ63A	6,0	0,15	_	3,0		_
AZ81A	7,6	0,13		0.7	_	
AZ91C	8,7	0,13		0,7	_	
AZ92A	9,0	0,10	-	2,0		
EQ21A	_			_	0.7	1,5 Ag, 2,1 Di
EZ33A		_	_	2.7	0,6	3,3 Re
HK31A		_	3,3		0,7	_
HZ32A	_		3,3	2,1	0.7	
K1A-F	-		_		0,7	
QE22A		_	_	_	0,7	2,5 Ag, 2,1 Di
QH21A			1,0	_	0,7	2,5 Ag, 1,0 Di
WE43A			-	70	0,7	4,0 Y, 3,4 Re
WE54A		-		_	0,7	5,2 Y, 3,0 Re
ZC63A	_	0,250,75	_	6,0	_	2,7 Cu
ZE41A		_	_	4,2	0,7	1,2 Re
ZE63A				5,8	0,7	2,6 Re
ZH62A	-	_	1,8	5,7	0,7	
ZK51A	_			4,6	0,7	_
ZK61A	-	_	_	6.0	0,7	
ZK61A				6,0	0.7	_
			Die castings	3		
AM60	6,0	0.13	_	_	_	_
AS21X1	1,7	0,4	_	_	_	1,1 Si
AS41A	4,3	0,35	_	_	_	1,0 Si
AZ91	9,0	0,13	_	0.7		_
		Extrude	d bars and	shapes		
AZ10A-F	1,2	0,2		0,4		_
AZ21	1,8	0,02		1,2		_
AZ31	3,0		-	1,0	_	
AZ61A-F	6,5	_		1,0		
AZ80A	8,5			0,5		
HM31A-F		1,2	3.0	_		_
MIA-F		1,2	_			-
ZC71-F		0,5-1,0		6,5		1,2 Cu
ZK21A-F	-	_		2,3	0,45*	_

Продолжение табл. П 3.3

ZK40A	_		-	4,0	0,45*	_
ZK60A				5,5	0.45*	-
		St	neet and plate	;-		
AZ31B	3,0			1.0		_
HK31A			3,0	-	0.6	
HM21A	- 1	0,6	2,0		- 0.0	
PΕ	3,3	-		0.7		
– неболее.						

Химический состав промышленных деформируемых титановых сплавов РФ

)	одержание де	Содержание легирующих элементов, % масс.	пентов, % масс.	
JN 9 II II	Сплав	WB	A1	Zr	Λ	Mο	Cr	другие
					a-cn.tashi			
I	B11-00					1		
CI	BT1-0)	1					
m	BT5-1	1	4,0 6,0		1			(2,03,0) % Sn
4	IIT7M	- (1	1,82,5	2,03,0		-		
				Hee	Псевдо-а-сплавы			
151	OT4-0	0.15	0,41,4	7				(0,51,3) % Mn
9	OT4-1	0.23	1,5 2,5	1	O)	11.		(0,72,0) % Mn
7	OT4	0,23	3,5 5,0	L	i	Ţ		(0,82,0) % Mn
×	ПТЗВ	0,13	3,55,5		1,22,5	J.		
6	OT4-1B	0.17	2.5.3.5		2,0,3,0	8	1	
10	OT4B.	0.17	4,0 5,5		2,0,3,0		ſ	
11	AT3	0.16	2,5 3,5	1			0,40,9	0,4 % Fc; 0,4 % Si
12	AT6	0,16	5,07,0	1)	1		0,40,9	0,4 % Fe: 0,4 % Si
13	BTI8Y	60.0	6.2 7.3	3,54,5	4	0,41,0		2.5 % Sn; I % Nb;0,2 Si
7	BT20	0,18	5,5 7,0	1.52.5	0.8, 2.5	0.5 2.0	00	
				(0	a+B)-cn.iashi			
15	BT6	0.27	5,5 6,8		3,5 ,4.5			
91	ВТ6к	0.27	5.56,8	1	3,5.5,3			7
17	ВТ6кт	0.27	5,56,5	Ą	3.54.5			
×	BT14	0.33	3.5 6,3		6.1 . 6.0	2,53,8		
61	BT16	0.75	1.83.8		4.0.5.0	4,55,5	1	

Продолжение табл. П 4.1

No G II	Спизв	17.			Содержание д	Солержание легирующих элементов, % масс.	тентов, % масс.	
	CIEDAD	V 3	A1	Zr	Λ	Mo	Ü	enutui
20	BT3-1	09.0	5.57.0	1		20 30	0.8.23	030 C 050 E
21	BT8	0.30	5.8. 7.0	1		25 38	2,7	0.3 0.45.0.5
22	BT8M	0.36	03 63			0,0		0.2.0.4) % 31
1	DIOIN	0.50	3.23.0		1	5,54,5		0.2 % Si: I % Sn
57	BI9	0,30	5.87.0	1,02,0		2.83.8		(0.2. 0.35) % Si
24	BT25y	0,39	6.07.0	3.04.5	1	3,54.5		1 % Sn: 1 % W: 0 2 % Si
25	BT23	0,75	4,06,3	D	4,05,0	1,52.5	0,81,4	(0.4. 0.1) % Fe
				Сплавы п	Сплавы переходного класса	racca		
26	BT22	1,1	4.05.9	J	4.05.5	4.0.55	05 20	(05 151% Ea
27	BT30	1.0	1	5.5		1		2002
				H	0 1			4.2 /0 381
				HCe	ПСевоо-р-силавы			
28	BT19	1,45	2,53,5	0,51,5	0,51,5 3,04,0	5.06.0	5.06.0	
29	BT35	1,5	m	-	15		3	3 % Cr
30	BT32	2.0	"		×	0		1000
						0	C,1	1,3 % Fe
					6 -cn.1a851			
31	4201	3	1	ı	33			
32	42014	3	1	0,10,7	2935			0.15 % Si
								10 0/ 01:0

Составы промышленных титановых сплавов по стандартам разных стран

	[Mo] _{KB}		0,0	0.0	0.0	0,0	0.0	0,0	0,0	1,3	3,1	1,7	1,7	2.5	8.1	2.5	8,1	4,1	2.5	8.1	1,7	1.8	8,1	2,1
3	Страна		В, Г, Ф.Я	Ь	К	K	K, P	B. F. K, O. P. A	Ж	Α, Γ	Ь	Ь	К	P. 9	А.В.Р.К.Ф.Я	×	Ь	Ь	d	Ь	A	×	Ь	В
,	Марка сплава		IMI 230	M7-TII	TA 4	TAS	BT5	IMI317	TA8	WI.3.7105	4207	0T4-0	TCI	OT4-1	OT4-1B	TC2	AT3	HT-3B	OT4	OT4-3B	Ti-621 0,8	TC7	AT6	IMI367
	Состав сплава, % масс.		Ti-2.5 % Cu	Ti-2 % Al-2.5 % Zr	Ti-3 % AJ	Ti-4 % Al-0.005 % B	Ti-5 % AI	Ti-5 % AI-2.5 % Sn	Ti-5 % AI-2.5 % Sn-3 % Cu-1.5 % Zr	Ti 0.8 % Ni-0.3 % Mo	Tr-2.5 % Zr-2.5 % Ni	Ti 1 % Al-1 % Mn	Ti 2 % Al-1 % Mn	Ti-2 % AI-15 % Mn	T1-3 % A1-2.5 % V	Ti 3 % Al-1.5 % Mn	Ti-3 % Al-0,3 % Si-0,6 % Cr 0,4 % Fe	Ti-4 % AI -2 % V	11-4 % AI-1.5 % Mn	Ti-5 % AI-2.5 % V	Ti 6 % Al 2 % Nb 1 % Ta 0.8 % Mo	Ti-6 % AI-0.6 % Cr-0.4 % Fe 0.4 % Si -0.01 % B	Ti-6 % Al-0.3 % Si-0.6 % Cr 0.4 % Fe	Ti 6 % Al-7 % Nb
Класс	титано- вых	сплавов									0	ncesoo-	a -cn.1a6ы									a- u	псевдо-	д- сп.1авы
	N 11/11		_	2	· ·	4	~	9			0	10	=	10	1	17	15	16	17	~	10	20	21	22

Продолжение табл. П 4.2

Coctab Chiaba, % Mac. Ti-6% Al-5% Zr-0,5% Mo-0,25% Si Ti-6,5% Al-1% Mo-1,0% Si Ti-5% Al-3% Sn-2% Zr-2, Mo-0,25% Si Ti-5% Al-3,5% Sn-3% Zr-1% Mo-0,25% Si Ti-5% Al-3,5% Sn-3% Zr-1% Mo-0,25% Si Ti-5% Al-6% Sn-2% Zr-1% Mo-0,25% Si Ti-6% Al-2% Sn-4% Zr-1% Mo-0,25% Si Ti-6% Al-2% Sn-4% Zr-2% Mo Ti-6% Al-2% Sn-4% Zr-1% Mo-0,45% Si Ti-6% Al-2,5% Sn-4% Zr-1% Mo-0,45% Si Ti-6% Al-2,5% Sn-4% Zr-1% Mo-0,5% Mo-0,35% Si Ti-6% Al-2,5% Sn-4% Zr-1% Mo-0,5% Mo-0,15% Si Ti-6% Al-2,5% Sn-4% Zr-1% Mo-0,5% Mo-0,15% Si Ti-6% Al-1% Mo-1% V Ti-6% Al-4% V	(Mo), ka	0.5	1.0	1,7	2,0	9.0	1,0	2.0	2,0	0,4	0,7	0,1	р. Я 1,7	2,4		2,5	2.9	2,9	A.A 2.6	3.2	3.0	3,3	3,3	3,4	
Coctab chaba, % mace. Ti-6 % Al-5 % Zr-0,5 % Mo -0,25 % Si Ti-11 % Sn-5 % Zr-2,3 % Al-1 % Mo -0,2 % Si Ti-6 % Al-1 % Mo-1 % V-2 % Zr-0,1 5 % Si Ti-5 % Al-3,5 % Sn-2 % Zr-1 % Mo -0,2 5 % Si Ti-5 % Al-3,5 % Sn-3 % Zr-1 % Mo -0,2 5 % Si Ti-5 % Al-2 % Sn-2 % Zr-1 % Mo -0,2 5 % Si Ti-6 % Al-2 % Sn-4 % Zr-2 % Mo -0,2 5 % Si Ti-6 % Al-2 % Sn-4 % Zr-2 % Mo -0,4 5 % Si Ti-6 % Al-2 % Sn-4 % Zr-1 % Mo -0,5 % Mo -0,15 % Si Ti-6 % Al-2 % Sn-3 % Zr-1 % Nb-0,7 % Mo -0,15 % Si Ti-6 % Al-2 % Sn-4 % Zr-1 % Nb-0,7 % Mo -0,15 % Si Ti-6 % Al-2 % Sn-4 % Zr-1 % Nb-0,7 % Mo -0,15 % Si Ti-6,5 % Al-1 % Mo -1 % V Ti-6,5 % Al-1 % Mo -1 % V Ti-6 % Al-4 % V Ti-6 % Al-1 % So -1 % Zr-2 % Mo -0,18 % Si Ti-6 % Al-1 % So -1 % Zr-3,3 % Mo -0,18 % Si Ti-6.5 % Al-1 % So -1 % Zr-3,3 % Mo -0,18 % Si Ti-6.5 % Al-1 % So -1 % Zr-3,3 % Mo -0,18 % Si Ti-6.5 % Al-1 % So -1 % Zr-3,3 % Mo -0,18 % Si Ti-6.5 % Al-1 % So -1 % Zr-3,3 % Mo -0,18 % Si	Страна	B, F. Φ	B, K	۵	A	В	A.K	A, F, 9	B, F, Φ	A	В	Ь	A, B, F, K,	A		Ь	<u>_</u>	K, P	B.F.K, O.P.	Ь	<u>a</u>	Ь	Ь	A	A
	Марка сплава	IMI685	1M1679	BT20	Ti-5522S	IMI 829	Ti-5261S	Ti-4242S	IMI6242	Ti-1100	IMI 834	BT18y	Ti-811	RMI Low	cost	BT25y	LT31	BT6C	Ti-64	BT6k	BL6	BT8	BT8-1	Ti-62S	
Класс Титановы х сплавов ж и псевдо- ж-сплавы сплавы сплавы сплавы сплавы		Ti-6 % Al-5 % Zr-0,5 % Mo-0,25 % Si	Ti-11 % Sn-5 % Zr-2,3 % A1-1 % Mo-0,2 % Si	Ti-6,5 % Al-1 % Mo-1 % V-2 % Zr-0,15 % Si	Ti-5 % AI-5 % Sn-2 % Zr-2 % Mo-0,25 % Si	Ti-5.5 % Al-3,5 % Sn-3 % Zr-1 % Nb-0,25 % Mo-0,3 % Si	Ti-5 % Al-6 % Sn-2 % Zr-1 % Mo-0,25 % Si	- 1		Ti-6 % A1-2,75 % Sn-4 % Zr-0,4 % Mo-0,45 % Si	Ti-5.8 % Al-4 % Sn-3,5 % Zr-0,7 % Nb-0,5 % Mo-0,35 % Si	Ti-6,5 % Al-2,5 % Sn-4 % Zr-1 % Nb-0,7 % Mo-0,15 % Si	Ti-8 % AI-1 % Mo-1 % V	Ti-6,4 % Al-1,2 % Fe		Ti-6,5 % Al-1,5 % Sn-4 % Zr-2 % Mo-1 % W-0,15 % Si	Ti-3 % AI 4 % V	Ti-5 % Al-4 % V	Ti-6 % Al-4 % V	Ti-6 % AI-4,5 % V	Ti-6,5 % Al-3 % Mo-1,5 % Zr-0,25 % Si	Ti-6,5 % Al-3,3 % Mo-0,3 % Si	Ti-6,3 % Al-1 % Sn-1 % Zr-3,3 % Mo-0,18 % Si	Ti-5 % Al-1,7 % Fe-0,1 % Si	T: 20 A1 1 50 7- 3 50 M. 030 G:
	Në n/n	23	24	25	26	27	28	59	30	31	32	33	34	35		36	37	38	39	40	41	42	43	44	45

Окончание табл. П 4.2

Ś	Класс		Мапка	*	
ā/t	титановы	Состав сплава, % масс.	Сплава	Страна	[Mo] _{3KB}
1 /1	х сплавов				
92		Ti-8 % V-6 % Cr-4 % Mo-4 % Zr-3 % Al	Beta C	A	19.7
93	Псевдо-	Ti-8 % Cr-5 % Mo-5 % V-3 % AI	TB 2	Х	21.9
94	Всплавы	Ti-6 % V-6.2 % Mo-5,7 % Fe-3 % Al	Ti-125	A	21.9
95		Ti-13 % V-11 % Cr-3 % AI	Ti-13-11-3	А.Ф.Я	27,6
·B-F	Зеликобрита	тания, Ф - Франция, К - Китай, Г - Германия, Я - Япония, Р - Россия, А - США.	 Россия. А – СП 	IIA.	

Продолжение табл. П 4.2

№ <u>°</u> п/п	Класс титановы х сплавов	Состав сплава, % масс.	Марка сплава	Страна"	[Mo] ₃₆₈
89		Ti-11,5 % V-2 % Al-2 % Sn-11 % Zr	Transage 129	A	8,2
69		Ti-12 % V2,5 % Al-2 % Sn-6 % Zr	Transage 134	A	8,6
70		Ti-13 % V-2,7 % Al-7 % Sn-2 % Zr	Transage 175	A	9.3
7.1		Ti -5 % Al -5 % Mo -1 % V-1 % Cr-1 % Fe-1,5 % Sn-2 % Zr	BT22M	d	9,4
72		Ti-4 % Mo-2 % Cr-1,2 % Fe-5 % Al-2 % Sn-4 % Zr	Beta CEZ	Ф	6.7
73		Ti-5 % Al 2 % Sn 2 % Zr-4 % Mo 4 % Cr	IMI 617	A, K	10,7
74		Ti 10 % V-2 % Fe-3 % Al	Ti-10-2-3	А, В, Ф, Я	11,1
75	Hcesoo-	Ti-16 % V-2,5 % Al		A	11,4
92	Всплавы	Ti-11,5 % Mo-6 % Zr-4,5 % Sn	Beta III	АРФ	11,5
77		Ti-5 % Al-4,75 % Mo-4,75 % V-1 % Cr-1 % Fe	BT22	Ь	8,11
78		Ti-3 % Al-5 % V-5 % Mo-1,2 % Cr-1,2 % Fe	ВТ22ч	Ь	13,0
79		Ti-20 % V-4 % AI-1 % Sn		К	14,3
80		Ti-15 % Mo		К	15.0
18		Ti-15 % Mo-5 % Zr	Ti-15-5	В	15,0
82		Ti-15 % Mo-5 % Zr-3 % Al	Ti-15-5-3	В	15.0
83		Ti-8 % V-5 % Fe-1 % Al		A	15,7
84		Ti-15 % V-3 % Cr-3 % Al-3 % Sn	Ti-15-3	A. B. Я	15.7
85		Ti-15 % Mo-3 % Al-2,7 % Nb-0,25 % Si	Beta 21S	A	15,8
98		Ti-15 % V-3 % Cr-3 % Al-3 % Sn-1 % Zn-1 % Mo	BT35	Ь	16.7
87	Псевдо-	Ti-5,5 % Mo-3,5 % V-5,5 % Cr-3 % Al-1 % Zr	BT19	Ь	17.2
88	Всплавы	Ti-10 % Mo-8 % V-1 % Fe-3.5 % Al	TB3	K	17,7
68		Ti-8 % Mo-8 % V-2 % Fe-3 % Al	Ti-8823	A	17.7
90		Ti-10 % V-7 % Mo-2 % Fe-4 % AI	Ti-4721	K	18.1
16		Ti-8 % V-8 % Mo-1,5 % Cr-1,5 % Fc-3 % Al	BT32	Ь	19.2

БЕЛОВ Николай Александрович АКСЕНОВ Андрей Анатольевич

МЕТАЛЛОВЕДЕНИЕ ЦВЕТНЫХ МЕТАЛЛОВ Алюминиевые, магниевые и титановые сплавы

Лабораторный практикум

Редактор Г.Б. Преображенская

Компьютерная верстка А.В. Калинкиной

Подписано в печать 01.07.05	Бумага офсетная	
Формат $60 \times 90^{-1}/_{16}$	Печать офсетная	Учизд. л. 9,31
Per. № 758	Тираж 300 экз.	Заказ 821

Московский государственный институт стали и сплавов, 119049, Москва, Ленинский пр-т, 4

Издательство «Учеба» МИСиС, 117419, Москва, ул. Орджоникидзе, 8/9 Тел.: 954-73-94, 954-19-22

Отпечатано в типографии издательства «Учеба» МИСиС, 117419, Москва, ул. Орджоникидзе, 8/9 ЛР №01151 от 11.07.01